

## N O T I C E

THIS DOCUMENT HAS BEEN REPRODUCED FROM  
MICROFICHE. ALTHOUGH IT IS RECOGNIZED THAT  
CERTAIN PORTIONS ARE ILLEGIBLE, IT IS BEING RELEASED  
IN THE INTEREST OF MAKING AVAILABLE AS MUCH  
INFORMATION AS POSSIBLE

"Made available under NASA sponsorship  
in the interest of early and wide dis-  
semination of Earth Resources Survey  
Program information and without liability  
for any use made thereof."

80-10259

CR-163366

(E80-10259) STUDY OF THE ATMOSPHERIC  
EFFECTS ON THE RADIATION DETECTED BY THE  
SENSOR ABOARD ORBITING PLATFORMS

E80-30842

(EATS/LANDSAT) M.S. Thesis - October 1978  
(Instituto de Pesquisas Espaciais, Sao Jose) 65/43

Unclass  
00259

RECEIVED BY  
NASA STI FACILITY  
DATE: 6-25-80  
DCAF NO. 002949  
PROCESSED BY  
 NASA STI FACILITY  
 ESA-SDS  AIAA

CONSELHO NACIONAL DE DESENVOLVIMENTO CIENTIFICO E TECNOLÓGICO



INSTITUTO DE PESQUISAS ESPACIAIS

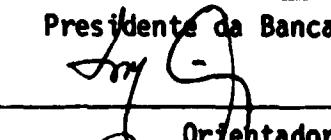
1. Classificação INPE-COM. 1/TDL  C.D.U.: 5515.621.38SR	2. Período	4. Distribuição
3. Palavras Chaves (selecionadas pelo autor)  EFEITOS ATMOSFÉRICOS RADIAÇÃO COPREÇÃO DE IMAGENS		interna <input type="checkbox"/>  externa <input checked="" type="checkbox"/>
5. Relatório nº  INPE-1689-TDL/021	6. Data  Março, 1980	7. Revisado por  Luiz C. B. Molion
8. Título e Sub-Título  ESTUDO DOS EFEITOS ATMOSFÉRICOS SOBRE AS RADIAÇÕES PERCEBIDAS PELOS SENSORES A BORDO DE PLATAFORMAS ORBITAIS (ERTS/LANDSAT)		9. Autorizado por  Nelson <i>acauda</i> de Jesus Parada Diretor
10. Setor DME	Código	11. Nº de cópias 19
12. Autoria <i>Tsutomu Morimoto</i>		14. Nº de páginas 109
13. Assinatura Responsável <i>tsutomu morimoto</i>		15. Preço
16. Sumário/Notas  A radiação proveniente de alvos terrestres interage com a atmosfera antes de ser detetada pelos sensores a bordo de satélites. O principal tipo de interação na região espectral do visível é o espalhamento, molecular e de aerosóis, que além de atenuar a radiação, acrescenta ainda a radiação difusa que mascara as informações dos alvos em estudo. O presente método é uma aplicação da equação de transferência radiativa, onde os parâmetros transmitância atmosférica, transmitância molecular e transmitância de aerosóis são calculadas pelo programa de computador denominado LOWTRAN-3, versão que utiliza perfil vertical atmosférico local obtido por radiossondagem, e a radiação difusa a nível dos sensores, calculada pela solução analítica da equação de transferência radiativa. Nos resultados preliminares do experimento realizado na região canavieira de Ribeirão Preto, observa-se um aspecto visual sensivelmente melhor, em relação à imagem, e um aumento quantitativo no reconhecimento de alvos, pois se conseguiu um acréscimo aproximado de 10% na área classificada como cana de açúcar. Sugerem-se, também, algumas modificações que teoricamente devem melhorar o método de correção de imagens utilizado neste trabalho.		
17. Observações	Tese de Mestrado em Meteorologia, aprovada em 20 de Outubro de 1978.	

Aprovada pela Banca Examinadora  
em cumprimento dos requisitos exigidos  
para a obtenção do Título de Mestre em  
Meteorologia

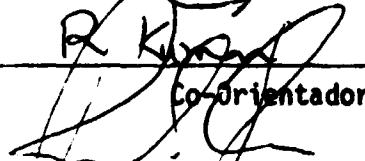
Dr. Antonio Divino Moura

  
Presidente da Banca

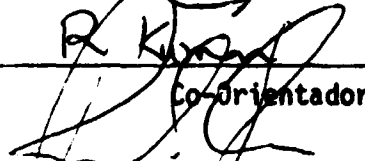
Dr. Luiz Carlos Baldicero Molion

  
Orientador

Dr. Ravindra Kumar

  
Co-Orientador

Dr. Renato Herz

  
Membro da Banca  
-IOUSP-

Dr. Y. Viswanadham

  
Membro da Banca

Tsutomu Morimoto

  
Candidato

Original photography may be reproduced  
EROS Data Center

Sioux Falls, SD 57198

São José dos Campos, 20 de outubro de 1978

## ÍNDICE

<b>ABSTRACT</b> .....	<b>iv</b>
<b>LISTA DE SÍMBOLOS</b> .....	<b>v</b>
<b>LISTA DE FIGURAS</b> .....	<b>x</b>
<b>LISTA DE TABELAS</b> .....	<b>xi</b>
<b>CAPÍTULO I - INTRODUÇÃO</b> .....	<b>1</b>
<b>CAPÍTULO II - FUNDAMENTAÇÃO TEÓRICA DO MODELO</b> .....	<b>9</b>
2.1 - Equação de Transferência Radiativa .....	9
2.2 - Transmitância Atmosférica .....	22
<b>CAPÍTULO III - ELIMINAÇÃO DO EFEITO ATMOSFÉRICO</b> .....	<b>35</b>
3.1 - Algoritmo de Correção .....	35
3.2 - Método de Correção de Dados .....	38
<b>CAPÍTULO IV - RESULTADOS EXPERIMENTAIS</b> .....	<b>51</b>
<b>CAPÍTULO V - CONCLUSÕES</b> .....	<b>61</b>
<b>AGRADECIMENTOS</b> .....	<b>63</b>
<b>BIBLIOGRAFIA</b> .....	<b>65</b>
<b>APÊNDICE A - FUNÇÃO FASE DE ESPALHAMENTO</b>	
<b>APÊNDICE B - PROGRAMA LOWTRAN</b>	
<b>APÊNDICE C - PROGRAMA ATA</b>	

### ABSTRACT

The solar radiation reflected by targets on the earth's surface interacts with the atmosphere before being detected by the satellite sensors. In the visible wavelength region, scattering by molecules and aerosols predominates on the interaction of the radiation with the atmosphere. In addition to attenuation, this interaction also contributes with diffuse radiation, thus changing the quality and quantity of radiation arriving at the satellite sensor. The purpose of this work is to correct the multispectral scanner (MSS) data of LANDSAT satellite for atmospheric interference, using LOWTRAN-3 program and the analytical solution of the radiative transfer equation. LOWTRAN-3 is based on a semi-empirical model and calculates the transmittance for a given atmospheric path for six model atmospheres or utilizes a local vertical atmospheric profile given by radiosound and two aerosol models. This method was used to correct the LANDSAT MSS data of Brasilia. It improved the contrast between different natural targets. In addition, the corrected images of two different dates were more similar than the original ones. This method was also applied to correct the LANDSAT MSS data of Ribeirão Preto. The corrected image gave a classification accuracy of sugar cane about 10% higher as compared to the original images. Some suggestions for improving this method for correcting LANDSAT MSS data are given.

## LISTA DE SÍMBOLOS

a - constante real positiva

$a_\lambda$  - coeficiente de Mie

b - constante real positiva

$b_\lambda$  - coeficiente de Mie

$B(\tau)$  - função de Plank em profundidade ótica  $\tau$

c - constante inteira positiva

$C_1$  - constante de integração

$C_2$  - constante de integração

$C_v$  - coeficiente de absorção em função do comprimento de onda

d - constante real positiva

dA - elemento de área ( $\text{cm}^2$ )

dl - elemento da trajetória percorrida pela radiação (km)

dz - elemento da trajetória vertical (km)

d $\Omega$  - elemento de ângulo sólido (Sr)

D - densidade das partículas (partículas  $\text{cm}^{-3}$ )

e - número neperiano

$E_0$  - irradiância direta no topo da atmosfera ( $\text{mw cm}^{-2}$ )

$E_\lambda$  - irradiância espectral ( $\text{mw cm}^{-2} \mu\text{m}^{-1}$ )

$E_t'$  - irradiância espectral difusa ascendente para  $\rho=0$  ( $\text{mw cm}^{-2} \mu\text{m}^{-1}$ )

$E_t''$  - irradiância espectral difusa descendente para  $\rho=0$  ( $\text{mw cm}^{-2} \mu\text{m}^{-1}$ )

$E_t'''$  - irradiância espectral difusa ascendente para  $\rho \neq 0$  ( $\text{mw cm}^{-2} \mu\text{m}^{-1}$ )

$E_t^{''''}$  - irradiância espectral difusa descendente para  $\rho \neq 0$  ( $\text{mw cm}^{-2} \mu\text{m}^{-1}$ )

$E_t(0)$  - irradiância espectral difusa descendente no topo da atmosfera  
( $\text{mw cm}^{-2} \mu\text{m}^{-1}$ )

$E_t(\tau)$  - irradiância espectral difusa descendente em  $\tau$   
 $(\text{mw cm}^{-2} \mu\text{m}^{-1})$

$E_t(\tau_0)$  - irradiância espectral difusa descendente na superfície  
 $(\text{mw cm}^{-2} \mu\text{m}^{-1})$

$E_t(\tau_0)$  - irradiância espectral difusa ascendente da superfície  
 $(\text{mw cm}^{-2} \mu\text{m}^{-1})$

$E_t(\tau)$  - irradiância espectral difusa ascendente em  $\tau$   
 $(\text{mw cm}^{-2} \mu\text{m}^{-1})$

$E_{T+}(\tau)$  - irradiância espectral difusa total descendente em  $\tau$   
 $(\text{mw cm}^{-2} \mu\text{m}^{-1})$

$E_s(\tau)$  - irradiância espectral solar em  $\tau$   $(\text{mw cm}^{-2} \mu\text{m}^{-1})$

$F_1$  - função radiância

$F_2$  - função radiância

$F_t$  - metade da soma das irradiâncias difusas

$F_{\perp}$  - metade da subtração das irradiâncias difusas

$G$  - função radiância

$h$  - altitude (km)

$H$  - função irradiância

$I$  - função irradiância

$I_\lambda$  - intensidade radiante espectral monocromática  $(\text{mw Sr}^{-1} \mu\text{m}^{-1})$

$I_{\lambda_0}$  - intensidade radiante espectral monocromática inicial  
 $(\text{mw Sr}^{-1} \mu\text{m}^{-1})$

$\kappa$  - coeficiente de espalhamento  $(\text{km}^{-1})$

$k_a$  - coeficiente de espalhamento do aerosol  $(\text{km}^{-1})$

$k_m$  - coeficiente de espalhamento molecular  $(\text{km}^{-1})$

$\ell$  - índice de somatória

$L_\lambda$  - radiância espectral  $(\text{mw cm}^{-2} \text{Sr}^{-1} \mu\text{m}^{-1})$

$L_s$  - radiância espectral direta na superfície ( $\text{mw cm}^{-2} \text{Sr}^{-1} \mu\text{m}^{-1}$ )  
 $L_T$  - radiância espectral total nos sensores ( $\text{mw cm}^{-2} \text{Sr}^{-1} \mu\text{m}^{-1}$ )  
 $L_{T_1}$  - radiância espectral máxima que atinge o satélite  
 $(\text{mw cm}^{-2} \text{Sr}^{-1} \mu\text{m}^{-1})$   
 $L_{T_2}$  - radiância espectral mínima que atinge o satélite  
 $(\text{mw cm}^{-2} \text{Sr}^{-1} \mu\text{m}^{-1})$   
 $L_{T_i}$  - radiância espectral total correspondente ao pixel  $i$   
 $(\text{mw cm}^{-2} \text{Sr}^{-1} \mu\text{m}^{-1})$   
 $L_{DS}$  - radiância espectral difusa na superfície ( $\text{mw cm}^{-2} \text{Sr}^{-1} \mu\text{m}^{-1}$ )  
 $L_{TR}$  - radiância espectral transmitida ( $\text{mw cm}^{-2} \text{Sr}^{-1} \mu\text{m}^{-1}$ )  
 $L(\tau, \mu, \phi)$  - radiância espectral total em ( $\text{mw cm}^{-2} \text{Sr}^{-1} \mu\text{m}^{-1}$ )  
 $L(\theta, -\mu, \phi)$  - radiância espectral difusa solar no topo da atmosfera  
 $(\text{mw cm}^{-2} \text{Sr}^{-1} \mu\text{m}^{-1})$   
 $L_I(\tau_o, \mu, \phi)$  - radiância espectral intrínseca da superfície  
 $(\text{mw cm}^{-2} \text{Sr}^{-1} \mu\text{m}^{-1})$   
 $L_{DT}(\theta, \mu, \phi)$  - radiância espectral difusa no topo da atmosfera  
 $(\text{mw cm}^{-2} \text{Sr}^{-1} \mu\text{m}^{-1})$   
 $m$  - índice de refração  
 $n$  - expoente  
 $n(r)$  - função distribuição de aerosol  
 $p$  - função fase de espalhamento  
 $P$  - pressão atmosférica (mb)  
 $P_l$  - polinômio de Legendre  
 $P_0$  - pressão atmosférica padrão ao nível do mar (mb)  
 $Q_s(m, x)$  - fator de eficiência do espalhamento  
 $r$  - raio do aerosol ( $\mu\text{m}$ )

$ S_1 ^2$	- amplitude de espalhamento
$ S_2 ^2$	- amplitude de espalhamento
$T$	- temperatura do ar ( $^{\circ}\text{C}$ )
$T_0$	- temperatura padrão ( $^{\circ}\text{K}$ )
$x$	- parâmetro do tamanho
$a$	- coeficiente de absorção ( $\text{km}^{-1}$ )
$a_a$	- coeficiente de absorção do aerosol ( $\text{km}^{-1}$ )
$a_m$	- coeficiente de absorção molecular ( $\text{km}^{-1}$ )
$\gamma$	- coeficiente volumétrico de atenuação ( $\text{km}^{-1}$ )
$\bar{\gamma}$	- coeficiente volumétrico de atenuação média ( $\text{km}^{-1}$ )
$\delta$	- função delta
$\theta_0$	- função zenital do sol (grau)
$\theta$	- ângulo nadir de visão (grau)
$\theta'$	- ângulo inicial de espalhamento (grau)
$\lambda$	- comprimento de onda ( $\mu\text{m}$ )
$\mu$	- $\cos \theta$
$\mu_0$	- $\cos \theta_0$
$\mu'$	- $\cos \theta'$
$v$	- frequência ( $\text{sec}^{-1}$ )
$\rho$	- albedo de superfície
$\rho_a$	- refletância difusa efetiva do alvo
$\rho'$	- refletância bidirecional
$\bar{\rho}$	- albedo médio da superfície
$n$	- fração da energia espalhada na direção posterior ao centro de interação
$\tau$	- profundidade ótica

$\tau_a$	- profundidade ótica de aerosol
$\tau_0$	- profundidade ótica total
$\tau_r$	- profundidade ótica de Rayleigh
$T$	- transmitância monocromática
$\bar{T}$	- transmitância média
$T_{\Delta\nu}(v)$	- transmitância média sobre um intervalo espectral
$\bar{T}_{\Delta\nu}(H_2O)$	- transmitância de vapor de água
$\bar{T}_{\Delta\nu}(O_3)$	- transmitância de ozônio
$\bar{T}_{\Delta\nu}(\text{Rayleigh})$	- transmitância de Rayleigh
$T_{\Delta\nu}(\text{aerosol})$	- transmitância de aerosol
$\phi$	- ângulo azimutal de visão (grau)
$\phi_o$	- ângulo azimutal do sol (grau)
$\phi'$	- ângulo azimutal inicial de espalhamento (grau)
$x$	- ângulo de espalhamento
$w$	- concentração de absorvente $\text{gm cm}^{-2} \text{ km}^{-1}$
$w_o$	- albedo de espalhamento (constante)
$w(\tau)$	- albedo de espalhamento em $\tau$
$w^*$	- quantidade equivalente de absorvente ( $\text{gm cm}^{-2}$ )
$\psi_\ell$	- função Riccati-Bessel
$\psi'_\ell$	- derivada primeira da função Riccati-Bessel
$\xi_\ell$	- função Riccati-Bessel
$\xi'_\ell$	- derivada primeira da função Riccati-Bessel

## LISTA DE FIGURAS

I.1	- O sistema LANDSAT (Barbosa, 1975).....	2
I.2	- Radiâncias recebidas pelos sensores orbitais (LaRocca e.... Turner, 1975).....	3
I.3	- Geometria do Sensoriamento da superfície terrestre.....	7
II.1	- Representação da função distribuição das partículas de .... aerosóis (Deirmendjian, 1969).....	30
II.2	- Transmitância atmosférica para um percurso vertical do nível do mar para o espaço a diversos modelos atmosféricos (Selby e McClatchey, 1975).....	33
III.1	- Fluxograma do método de correção de dados.....	39
III.2	- Representação das curvas de transmitâncias espectrais calcu ladas em função da visibilidade.....	43
III.3	- Representação das curvas de transmitâncias espectrais em fun ção do ângulo de escaneamento.....	44
III.4	- Curva de transmitância em função da profundidade ótica to tal, obtida com os resultados do LOWTRAN-3.....	45
III.5	- Dependência espectral da profundidade ótica de Rayleigh e da profundidade ótica de aerosol, obtidas com os resultados do LOWTRAN-3.....	46
III.6	- Representação da variação dos níveis de cinza em diferentes azimutes.....	48
IV.1	- Imagens original e corrigida do canal MSS 4 do LANDSAT, órbi ta/ponto (192/23), Brasília (21/06/74).....	52
IV.2	- Imagens original e corrigida do canal MSS do LANDSAT, órbi ta/ponto (192/23), Brasília (21/06/74).....	52
IV.3	- Imagens original e corrigida, composição colorida dos canais MSS 4,5 e 7 do LANDSAT, órbita/ponto (192/23), Brasília (21/06/74).....	53

## LISTA DE TABELAS

II.1	- Coeficientes (n) determinados empiricamente no "Airforce..... Geophysics Lab".....	25
II.2	- Composição normal da atmosfera.....	26
II.3	- Modelo de distribuição vertical do aerosol para atmosferas "clara" e "úmida" (McClatchey et al, 1972).....	31
III.1	- Canais MSS do LANDSAT.....	35
III.2	- Estado Atmosférico de Brasília em 21/06/1974 (Radiossondagem). 40	40
III.3	- Representação do estado atmosférico de Ribeirão Preto tomado a radiossondagem de Brasília em 01/07/1977.....	41
III.4	- Coeficientes angulares dos níveis de cinza versus as radian- cias totais.....	47
III.5	- Parâmetros utilizados na correção da imagem órbita/ponto (178/ 27) de Ribeirão Preto (01/07/1977).....	49
III.6	- Refletâncias individuais dos alvos reconhecidos no processamen- to automático preliminar da imagem.....	50
IV.1	- Classificação das diferentes fases de cultura da cana (projeto estatística agrícola do departamento de Sensoriamento Remoto- INPE).....	56
IV.2	- Áreas comparativas da avaliação de cana de açúcar entre as fo- tografias aéreas, a imagem original e a imagem corrigida do LANDSAT.....	58

## CAPÍTULO I

### INTRODUÇÃO

Há aproximadamente cinco anos que o Instituto de Pesquisas Espaciais participa do programa LANDSAT, e dois anos que analisa imagens digitalizadas, através do IMAGE-100, sistema de processamento de dados, desenvolvido pela Companhia "General Electric", para extrair informações temáticas das imagens multiespectrais.

Os satélites da série LANDSAT captam imagens multiespectrais da superfície terrestre e as transmitem para o centro de rastreamento e recepção (Figura I.1), onde os sinais são convertidos em fotografias e em fitas magnéticas compatíveis com computador, que depois são analisadas pelos usuários, principalmente em pesquisas que envolvem o levantamento de recursos naturais.

Entretanto, esses dados coletados pelos sensores do MSS não correspondem às verdadeiras características das superfícies, porque a atmosfera interage com a radiação refletida na superfície terrestre, alterando a sua distribuição espectral e espacial, absorvendo-a, refletindo-a e espalhando-a. A névoa úmida reduz o contraste entre os alvos de uma cena, dificultando a interpretação da imagem; o espalhamento pelas partículas atmosféricas conduz a uma complexa redistribuição da radiação e provoca multiespalhamento, acrescentando radiação difusa ao campo de visão do sensor (Figura I.2), atenuando o sinal proveniente do solo.

Melhores informações da superfície terrestre, e dos parâmetros atmosféricos que atenuam a radiação, são de interesse de várias áreas científicas, tais como: cartografia, geologia, oceanografia, agricultura, hidrologia, engenharia florestal, estudos urbanos e rurais e, particularmente, meteorologia.

Além disso, as imagens servem de subsídio para planejamentos sócio-econômicos, levando a uma administração mais racional dos

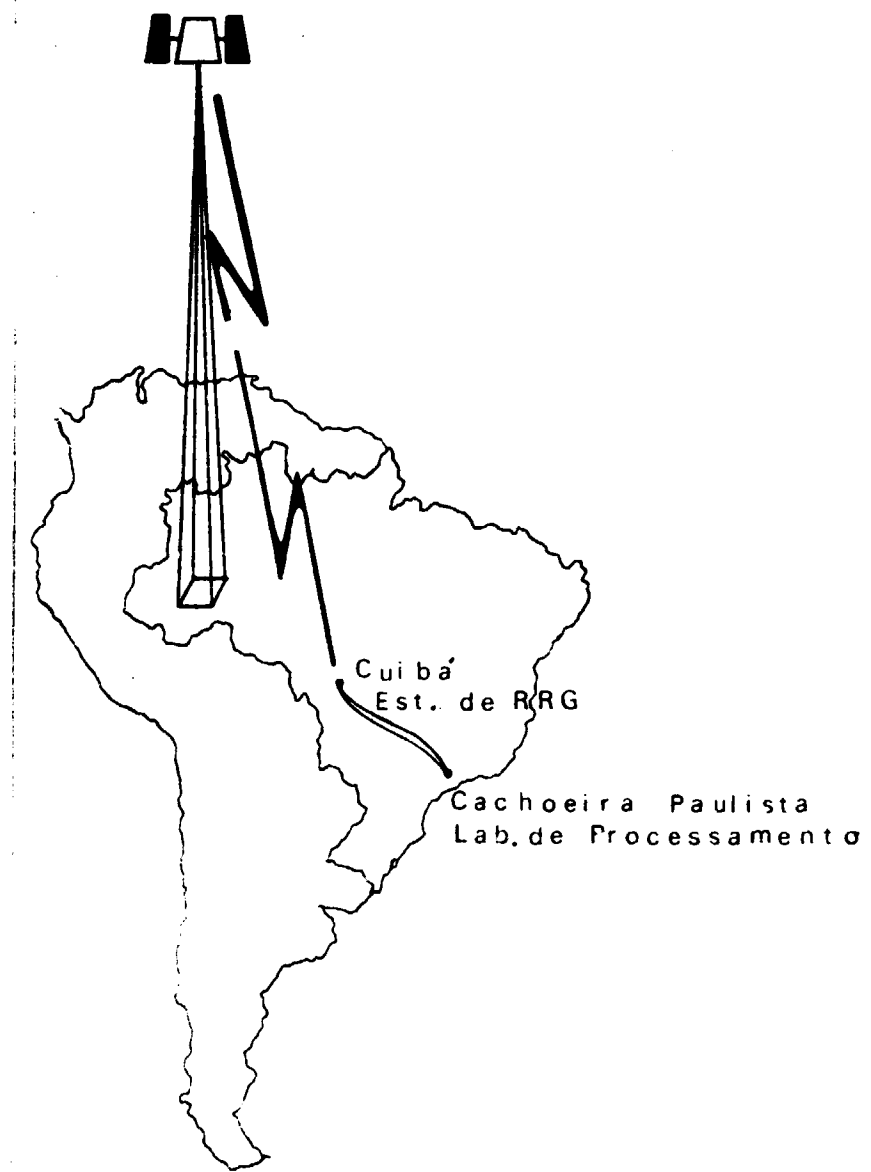


Fig. I.1 - O Sistema LANDSAT (Barbosa, 1975)

$L_S$  = radiação solar direta  
 $L_D$  = radiação difusa  
 $L_{DS}$  = radiação difusa refletida na superfície  
 $L_G$  = radiação da superfície  
 $L_I$  = radiação intrínseca

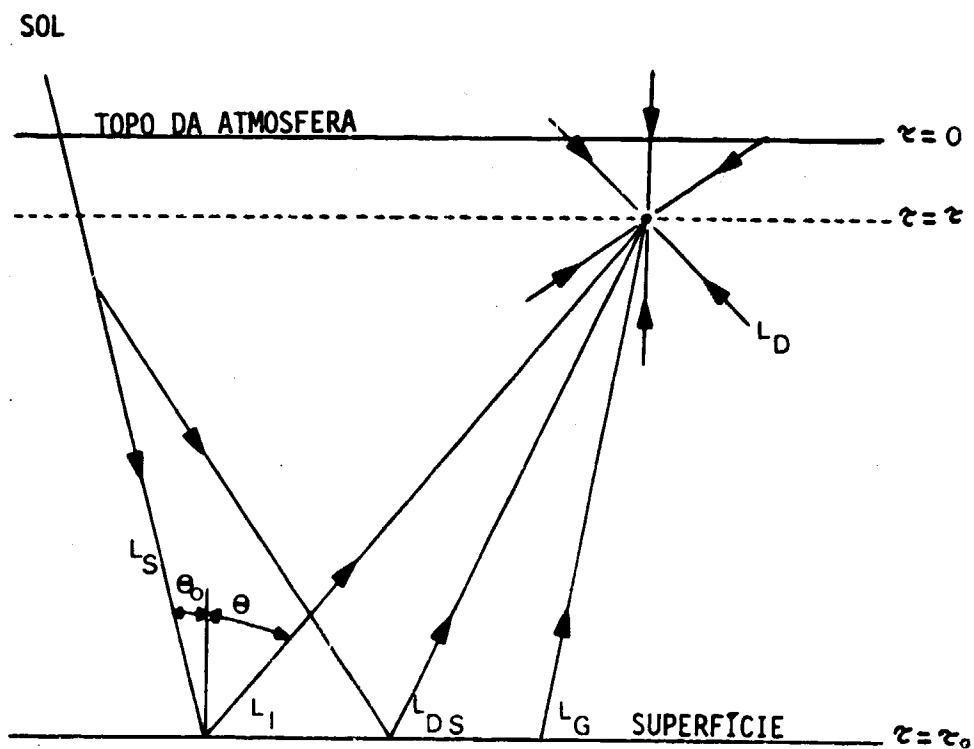


Fig. I.2 - RADIÂNCIAS RECEBIDAS PELOS SENORES ORBITAIS  
(LaRocca e Turner, 1975)

recursos naturais, o que é um dos maiores problemas da nossa época.

Entre as aplicações práticas (Barbosa, 1975) podem-se mencionar:

- classificação das cenas, quanto às suas características e configurações geológicas, tais como tipos, falhas, estruturas, dobrados, etc.;
- redução de perdas na agricultura e nas reservas florestais, através da rápida identificação das causas;
- planejamento da distribuição da produção agrícola anual, através da estimativa das colheitas por áreas;
- melhor planejamento e desenvolvimento urbano;
- monitoria de fenômenos dinâmicos, como sedimentação, mudanças litorâneas, erosão, crescimentos de colheitas, níveis das reservas de água etc.;
- levantamentos de coberturas de nuvens.

As correções dos efeitos atmosféricos nas imagens exigem técnicas que se fundamentam no modelo de transferência radiativa, para calcular-se as irradiancias ascendentes e descendentes, a radiação difusa, a transmitância atmosférica e outros parâmetros.

LaRocca e Turner (1975) publicaram um trabalho de revisão bibliográfica contendo várias técnicas para cálculos da transmitância atmosférica e radiação atmosférica, reunindo-as, comparando-as e acrescentando-lhes algumas informações auxiliares.

Os trabalhos de Chandrasekhar (1950) e Ambartsumian (1943) marcaram a origem da moderna teoria de transferência radiativa, o primeiro deduziu um conjunto de equações não lineares, de solução exata, para determinação do campo de radiação para uma atmosfera plano-paralela, iluminada pela radiação solar. Posteriormente, surgiram outros métodos matemáticos que também conduzem à soluções exatas. Dentre elas destacam-se:

- a) método de iteração que consiste em converter a equação de transferência numa equação integral, expressa por série de Neumann;
- b) método de harmônico esférico que utiliza as propriedades de ortogonalidade na equação de transferência para transformá-la em problema de auto-valor;
- c) método de ordenadas discretas, que consiste em montar um conjunto de equações tornando discretas as variáveis, ângulos e camadas atmosféricas;
- d) método de momento, onde se atribui um certo momento à radiação, em função do ângulo zenital;
- e) método de duplicagem, que toma, em camada sucessiva, dois valores de profundidade ótica das camadas precedentes para evitar consumo excessivo de tempo;
- f) método de Monte Carlo, que se baseia em procedimento estatístico, atribuindo probabilidades à partícula com os processos físicos envolvidos.

Esses métodos foram utilizados para modificar o tratamento originalmente desenvolvido. Todos esses métodos apresentam desvantagem quanto ao tempo computacional, adaptabilidade e praticabilidade.

Por outro lado, como em muitas aplicações não são necessários resultados altamente precisos, surgiram vários métodos aproximados que produzem resultados razoavelmente satisfatórios e de rápido desenvolvimento computacional. Entre esses métodos vale a pena mencionar:

- a) O método de Schuster-Schwarzschild, no qual o campo de radiação é suposto isotrópico, separando-o em campo ascendente e descendente, utilizando valores médios para esses campos.
- b) O método de Eddington, procedimento em que se toma a média do campo de radiação sobre o espaço todo, sendo o campo suposto quase-isotrópico.
- c) O método de Ramanova, que considera a função fase de espalhamento altamente anisotrópica, pelo fato de levar em conta ângulos

muito pequenos.

d) O método de Turner, que considera a função fase de espalhamento como uma soma de função delta, considerando que o espalhamento, devido aos aerosóis, é predominante na direção de incidência da radiação.

O objetivo principal deste trabalho é averiguar como o efeito atmosférico de espalhamento influí sobre as imagens, para, dessa forma, obter imagens corrigidas desse efeito.

Utilizou-se no processo um modelo de transferência radiativa, considerando uma atmosfera espalhadora plano-paralela, homogênea, isotrópica, onde a radiação penetra (Figura I.3) formando um determinado ângulo  $\theta$  com a normal, em regiões espectrais do visível e do infravermelho próximo. Para tal, escolheu-se o método desenvolvido por Turner e Spencer (1972) e, para os cálculos da transmitância atmosférica, profundidade ótica atmosférica, profundidade ótica de Rayleigh e profundidade ótica do aerosol, utilizou-se o método desenvolvido por Selby e McClatchey (1975).

Em 1961, Altshuler, utilizando métodos empíricos, sugeriu que o cálculo da transmitância fosse baseado principalmente nas medidas de transmitância obtidas em laboratórios e complementado com a teoria de bandas de absorção ou linhas de absorção molecular (Goody, 1964). Selby e McClatchey (1975) decidiram codificar este esquema empírico de previsão, elaborando um programa de computador denominado Low Transmission-3 (LOWTRAN-3), que calcula a transmitância atmosférica entre dois níveis, cobrindo o intervalo espectral de  $0,25 \mu\text{m}$  a  $28,5 \mu\text{m}$  ( $350$  a  $400000 \text{ cm}^{-1}$ ) num passo de  $5 \text{ cm}^{-1}$ , com resolução espectral de  $20 \text{ cm}^{-1}$ . O cálculo é feito sobre uma atmosfera representada por 33 camadas de um dos 6 modelos atmosféricos: Tropical ( $15^{\circ}\text{N}$ ), Latitude Média-Verão ( $45^{\circ}\text{N}$ ), Latitude Média-Inverno ( $45^{\circ}\text{N}$ ), Sub-Ártico-Verão ( $60^{\circ}\text{N}$ ), Sub-Ártico-Inverno ( $45^{\circ}\text{N}$ ), ou um outro que utiliza os dados de radiossondagem.

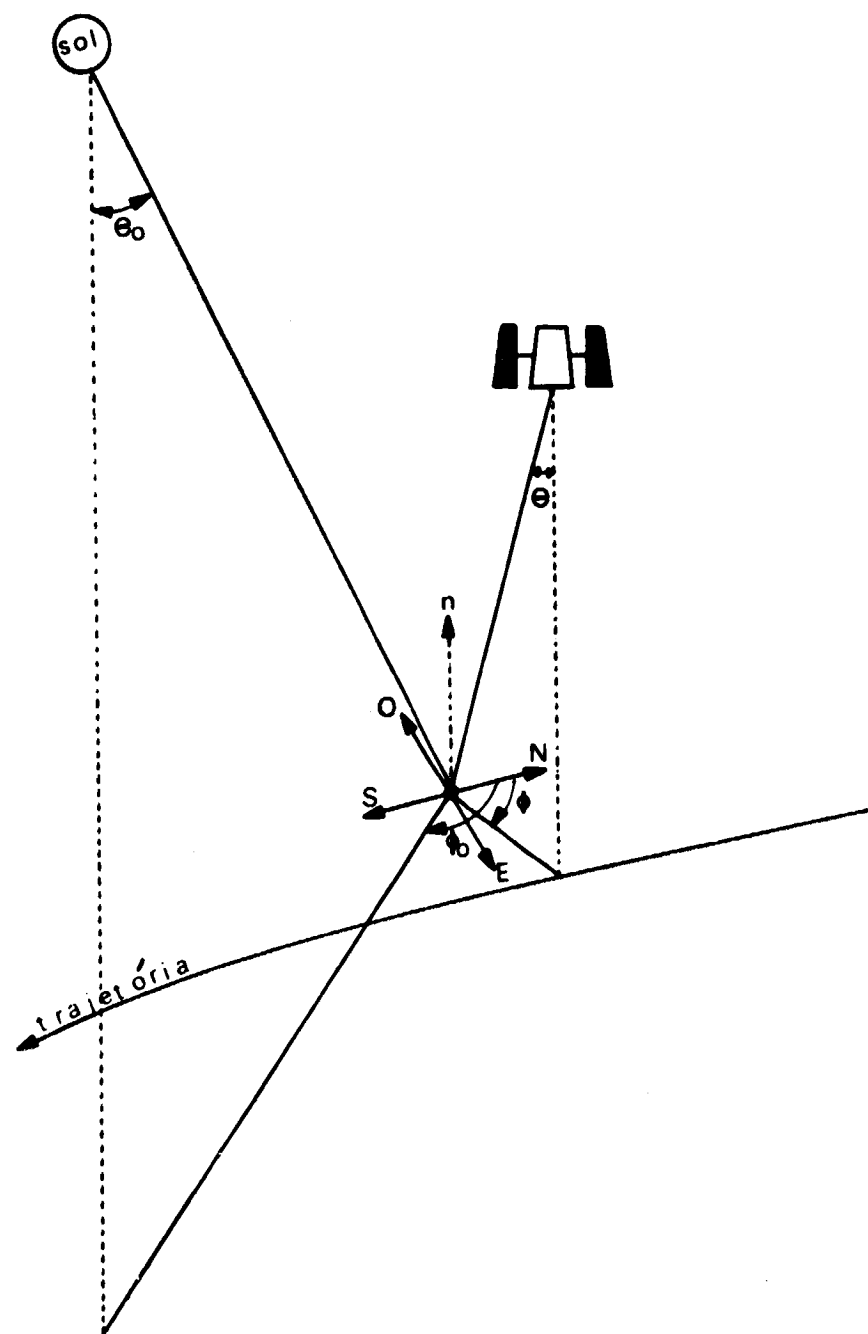


Fig. I.3 - Geometria do Sensoriamento da Superfície Terrestre.

## CAPÍTULO II

### FUNDAMENTAÇÃO TEÓRICA DO MODELO

#### 2.1 - EQUAÇÃO DE TRANSFERÊNCIA RADIATIVA

A complexidade matemática, envolvida num modelo de transferência radiativa, é a resolução da equação integro-diferencial respectiva. Manipulou-se esta equação para determinar o campo de radiação no interior de uma atmosfera plano-paralela, homogênea e com elementos espalhadores, segundo o procedimento desenvolvido por Turner (1972).

A equação fundamental da radiação solar, penetrando na atmosfera terrestre com ângulo zenital  $\theta_0$  ( $\mu_0 = \cos \theta_0$ ) e ângulo azimutal  $\phi_0$ , é expressa por:

$$\mu \frac{dL}{d\tau} = L(\tau, \mu, \phi) - \frac{\omega_0}{4\pi} \int_0^{2\pi} \int_{-1}^1 p(\mu, \phi, \mu', \phi') L(\tau, \mu', \phi') d\mu' d\phi' - \frac{\omega_0}{4\pi} E_s(\tau) p(\mu, \phi, -\mu_0, \phi_0) - (1 - \omega_0) B(\tau) \quad (II.1)$$

onde:

$\tau$  = profundidade ótica

$\omega_0$  = albedo de espalhamento simples

$B$  = função de Planck

$L$  = radiância espectral total, para um determinado  $\tau$

$p$  = função fase de espalhamento

$E_s$  = radiância solar em  $\tau$

As maiores dificuldades durante a resolução da equação consistem em determinar as formas das duas funções, função do albedo de espalhamento simples e função fase de espalhamento. As aproximações admitidas na resolução da equação (Turner, 1972) são:

- a) Atmosfera plano-paralela, limitada superiormente pelo vácuo e inferiormente pela superfície;
- b) Atmosfera homogênea, isto é, as proporções dos constituintes são constantes com altitude, implicando que

$$\omega(\tau) = \omega_0 \quad (\text{II.2})$$

$$p(\tau, \mu, \phi, \mu', \phi') = p(\mu, \phi, \mu', \phi') \quad (\text{II.3})$$

- c) Atmosfera isotrópica: significa que o efeito de espalhamento é independente da direção inicial da radiação;
- d) Não existe radiação difusa penetrando pelo topo da atmosfera, proveniente do espaço exterior;
- e) Superfície é lambertiana, ou seja, perfeitamente difusora;
- f) Não ocorre o efeito de absorção na região de espalhamento;
- g) A função fase de espalhamento pode ser aproximada como:

$$p(\mu, \phi, \mu', \phi') = 4\pi\eta\delta(\mu-\mu') \delta(\phi-\phi') + 4\pi(1-\eta) \delta(\mu+\mu') \delta(\pi+\phi-\phi') \quad (\text{II.4})$$

onde:

$\mu = \cos \phi$  = cosseno do ângulo de espalhamento

$\mu' = \cos \phi'$  = cosseno do ângulo inicial de espalhamento

$\delta$  = função delta

$\eta$  = fração da energia espalhada para frente, depois do centro de interação, onde pode-se aproximar a equação

$$\eta = \frac{0,5 \tau_R + 0,95 \tau_A}{\tau_R + \tau_A} \quad (II.5)$$

onde:

$\tau_R$  = profundidade ótica total de Rayleigh

$\tau_A$  = profundidade ótica total de Aerosol

Para a região do espectro visível, a função de radiação de Planck é desprezível; assim, reescrevendo a equação (II.1), tem-se:

$$\mu \frac{dL}{d\tau} = L(\tau, \mu, \phi) - \frac{\omega_0}{4\pi} \int_0^{2\pi} \int_{-1}^1 p(\mu, \phi, \mu', \phi') L(\tau, \mu', \phi') d\mu' d\phi' - \frac{\omega_0}{4\pi} E_s(\tau) p(\mu, \phi, -\mu_0, \phi_0) \quad (II.6)$$

A equação integro-diferencial acima pode ser resolvida para determinar a radiação difusa em algum ponto da atmosfera, com as seguintes condições de contorno

$$L(0, -\mu, \phi) = 0 \quad (II.7)$$

$$L_I(\tau_0, \mu, \phi) = \int_0^{2\pi} \int_{-1}^1 \mu' p'(\mu, \phi, -\mu', \phi') \left[ L_{DS}(\tau_0, -\mu', \phi') + L_s(\tau_0, -\mu', \phi') \right] d\mu' d\phi' \quad (II.8)$$

onde:

$L(0, -\mu, \phi)$  = radiação difusa solar no topo da atmosfera

$L_I(\tau_0, \mu, \phi)$  = radiação intrínseca da superfície

$L_{DS}(\tau_0, -\mu', \phi)$  = radiação difusa na superfície

$L_s(\tau_0, -\mu', \phi')$  = radiação solar direta na superfície

$\rho'(\mu, \phi, -\mu', \phi')$  = refletância bidirecional da superfície

A condição de contorno dada pela equação (II.7) significa que não existe radiação difusa penetrando pelo topo da atmosfera, e a equação (II.8) mostra que se devem integrar as radiações difusa e direta, com a refletância, sobre todo o hemisfério, centrado no alvo.

Multiplicando a equação (II.6) por  $d\mu$  e  $d\phi$  e integrando a de 0 até 1 e de 0 até  $2\pi$  e similarmente de -1 até 0 e 0 a  $2\pi$ , obtém-se duas equações, respectivamente,

$$\begin{aligned}
 \frac{d}{d\tau} \int_0^{2\pi} \int_0^1 \mu L(\tau, \mu, \phi) d\mu d\phi &= \int_0^{2\pi} \int_0^1 L(\tau, \mu, \phi) d\mu d\phi \\
 - \frac{\omega_0}{4\pi} \int_0^{2\pi} \int_0^1 \int_0^{2\pi} \int_{-1}^1 \rho(\mu, \phi, \mu', \phi') L(\tau, \mu', \phi') d\mu' d\phi' d\mu d\phi \\
 - \frac{\omega_0}{4\pi} E_s(\tau) \int_0^{2\pi} \int_0^1 \rho(\mu, \phi, -\mu_0, \phi_0) d\mu d\phi & \quad (II.9)
 \end{aligned}$$

$$\begin{aligned}
 \frac{d}{d\tau} \int_0^{2\pi} \int_{-1}^0 \mu L(\tau, \mu, \phi) d\mu d\phi &= \int_0^{2\pi} \int_{-1}^0 L(\tau, \mu, \phi) d\mu d\phi \\
 &= \frac{\omega_0}{4\pi} \int_0^{2\pi} \int_{-1}^0 \int_0^{2\pi} \int_{-1}^1 p(\mu, \phi, \mu', \phi') L(\tau, \mu', \phi') d\mu' d\phi' d\mu d\phi \\
 &= \frac{\omega_0}{4\pi} E_s(\tau) \int_0^{2\pi} \int_{-1}^0 p(\mu, \phi, -\mu_0, \phi_0) d\mu d\phi \quad (II.10)
 \end{aligned}$$

Definindo

$$L_{\uparrow}(\tau) = \int_0^{2\pi} \int_0^1 L(\tau, \mu, \phi) d\mu d\phi \quad (II.11)$$

$$L_{\downarrow}(\tau) = \int_0^{2\pi} \int_{-1}^0 L(\tau, \mu, \phi) d\mu d\phi \quad (II.12)$$

onde as setas  $\uparrow$  e  $\downarrow$  indicam respectivamente as radiações ascendente e descendente; as irradiâncias ascendente e descendente são, portanto, dadas por:

$$E_{\uparrow}(\tau) = \int_0^{2\pi} \int_0^1 \mu L(\tau, \mu, \phi) d\mu d\phi \quad (II.13)$$

$$E_t(\tau) = - \int_0^{2\pi} \int_{-1}^0 \mu L(\tau, \mu, \phi) d\mu d\phi \quad (II.14)$$

nas quais todas as quantidades são positivas.

Substituindo (II.11), (II.12), (II.13) e (II.14) nas equações (II.9) e (II.10), tem-se

$$\frac{d}{d\tau} E_t(\tau) = L_t(\tau)$$

$$- \frac{\omega_0}{4\pi} \int_0^{2\pi} \int_0^1 \int_0^{2\pi} \int_{-1}^1 p(\mu, \phi, \mu', \phi') L(\tau, \mu', \phi') d\mu' d\phi' d\mu d\phi$$

$$- \frac{\omega_0}{4\pi} E_s(\tau) \int_0^{2\pi} \int_0^1 p(\mu, \phi, -\mu_0, \phi_0) d\mu d\phi \quad (II.15)$$

$$- \frac{d}{d\tau} E_t(\tau) = L_t(\tau)$$

$$- \frac{\omega_0}{4\pi} \int_0^{2\pi} \int_{-1}^0 \int_0^{2\pi} \int_{-1}^1 p(\mu, \phi, \mu', \phi') L(\tau, \mu', \phi') d\mu' d\phi' d\mu d\phi$$

$$- \frac{\omega_0}{4\pi} E_s(\tau) \int_0^{2\pi} \int_{-1}^0 p(\mu, \phi, -\mu_0, \phi_0) d\mu d\phi \quad (II.16)$$

Considerando a função fase de espalhamento, dada pela equação (II.4), e representando  $\eta$  analiticamente pela equação

$$\eta = \frac{1}{4\pi} \int_0^{2\pi} \int_0^1 p(\mu, \phi, \mu', \phi') d\mu d\phi \quad (II.17)$$

$$(1-\eta) = \frac{1}{4\pi} \int_0^{2\pi} \int_0^1 p(\mu, \phi, \mu', \phi') d\mu d\phi \quad (II.18)$$

tem-se:

$$\int_0^{2\pi} \int_{-1}^1 p(\mu, \phi, \mu', \phi') L(\tau, \mu', \phi') d\mu' d\phi' = 4\pi n L(\tau, \mu, \phi)$$

$$+ 4\pi(1-\eta) L(\tau, -\mu, \pi+\phi) \quad (II.19)$$

Substituindo em (II.15) e (II.16) e desenvolvendo-as obtém-se:

$$\frac{dE_t(\tau)}{d\tau} = (1-\omega_0\eta)L_t(\tau) - \omega_0(1-\eta)L_t(\tau) - \omega_0(1-\eta)E_s(\tau) \quad (II.20)$$

$$- \frac{dE_t(\tau)}{d\tau} = (1-\omega_0\eta)L_t(\tau) - \omega_0(1-\eta)L_t(\tau) - \omega_0\eta E_s(\tau) \quad (\text{II.21})$$

Admitindo-se a aproximação de Schuster-Schwarzschild, normalizando o campo de irradiação difusa, ou seja

$$L_t(\tau) \approx \frac{E_t(\tau)}{\mu_0} \quad (\text{II.22})$$

As equações diferenciais tornam-se

$$- \frac{dE_t(\tau)}{d\tau} = \frac{(1-\omega_0\eta)}{\mu_0} E_t(\tau) - \frac{\omega_0(1-\eta)}{\mu_0} E_t(\tau) - \omega_0(1-\eta) E_s(\tau) \quad (\text{II.23})$$

$$- \frac{dE_t(\tau)}{d\tau} = \frac{(1-\omega_0\eta)}{\mu_0} E_t(\tau) - \frac{\omega_0(1-\eta)}{\mu_0} E_t(\tau) - \omega_0\eta E_s(\tau) \quad (\text{II.24})$$

que ainda podem ser escritas como

$$\frac{d}{d\tau} [E_t(\tau) + E_s(\tau)] = \frac{1}{\mu_0} [1 + \omega_0(1-2\eta)] [E_t(\tau) - E_s(\tau)] -$$

$$\omega_0(1-2\eta) E_s(\tau) \quad (\text{II.25})$$

$$\frac{d}{d\tau} [E_t(\tau) - E_t(\tau)] = \frac{1}{\mu_0} (1-\omega_0) [E_t(\tau) + E_t(\tau)]$$

$$- \omega_0 E_s(\tau) \quad (II.26)$$

Considerando

$$F_t = \frac{E_t + E_t}{2} \quad (II.27)$$

$$F_t = \frac{E_t - E_t}{2} \quad (II.28)$$

tem-se

$$\frac{dF_t}{d\tau} = \frac{1}{\mu_0} [1 + \omega_0(1-2n)] F_t - \omega_0(1-2n) E_s(\tau) \quad (II.29)$$

$$\frac{dF_t}{d\tau} = \frac{1}{\mu_0} (1-\omega_0) F_t - \omega_0 E_s(\tau) \quad (II.30)$$

Como, no caso, está-se considerando o espalhamento puro, ou seja,  $\omega_0 \equiv 1$ , as equações acima são simplificadas para

$$\frac{dF_t}{dt} = \frac{2}{\mu_0} (1-\eta) F_t - (1-2\eta) E_s(\tau)$$

$$= \frac{2}{\mu_0} (1-\eta) F_t - (1-2\eta) E_0 e^{-\tau/\mu_0} \quad (II.31)$$

$$\frac{dF_t}{dt} = -E_s(\tau) = -E_0 e^{-\tau/\mu_0} \quad (II.32)$$

Resolvendo as equações diferenciais, obtém-se

$$F_t = \mu_0 E_0 e^{-\tau/\mu_0} + C_1 \quad (II.33)$$

$$F_t = -\mu_0 E_0 e^{-\tau/\mu_0} + \frac{2}{\mu_0} (1-\eta) \tau C_1 + C_2 \quad (II.34)$$

Das equações (II.27) e (II.28), tem-se

$$E_t(\tau) = [-\mu_0 + 2(1-\eta)\tau] \frac{C_1}{2\mu_0} + \frac{C_2}{2} - \mu_0 E_0 e^{-\tau/\mu_0} \quad (II.35)$$

$$E_t(\tau) = [\mu_0 + 2(1-\eta)\tau] \frac{C_1}{2\mu_0} + \frac{C_2}{2} \quad (II.36)$$

Considerando a superfície lambertiana, as condições de contorno reduzem-se a

$$E_t(\tau) = 0 \quad (\text{II.37})$$

$$E_t(\tau_0) = \rho [E_t(\tau_0) + \mu_0 E_0 e^{-\tau_0/\mu_0}] \quad (\text{II.38})$$

onde as constantes  $C_1$  e  $C_2$  são totalmente determinadas para cada uma das equações, (II.35) e (II.36). Essas equações são aquelas que representam, respectivamente, os campos de irradiações descendentes e ascendentes; considera-se que cada um desses é resultante de outros dois campos distintos, um campo calculado com  $\rho=0$  e outro com  $\rho \neq 0$ . Assim, obtém-se:

$$E_t(\tau) = \frac{\mu_0 E_0}{\mu_0 + (1-\eta)\tau_0} \left[ \mu_0 + (1-\eta)(\tau_0 - \tau) \right]$$

$$- [\mu_0 + (1-\eta)\tau_0] e^{-\tau/\mu_0} + \frac{2\rho\mu_0(1-\eta)\tau}{1+2(1-\eta)(1-\rho)\tau_0} \quad (\text{II.39})$$

$$E_t(\tau) = \frac{\mu_0 E_0}{\mu_0 + (1-\eta)\tau_0} \left[ (1-\eta)(\tau_0 - \tau) \right. \\ \left. + \rho\mu_0 \frac{1+2(1-\eta)\tau}{1+2(1-\eta)(1-\rho)\tau_0} \right] \quad (\text{II.40})$$

Combinando as irradiâncias descendentes e ascendentes para  $\rho = 0$  e  $\rho \neq 0$ , tem-se a radiância em uma profundidade ótica  $\tau$ , aproximada pela seguinte expressão:

$$L(\tau, \mu, \phi) = \frac{1}{\mu_0} \left[ E^{\uparrow}(\tau) \delta(\mu - \mu_0) \delta(\pi + \phi_0 - \phi) \right. \\ \left. + E'^{\uparrow}(\tau) \delta(\mu + \mu_0) \delta(\phi - \phi_0) \right] + \frac{E^{\uparrow\uparrow}(\tau) + E'^{\uparrow\uparrow}(\tau)}{2\pi} \quad (II.41)$$

onde as irradiâncias com um apóstrofe representam o campo de radiação para  $\rho = 0$  e o apóstrofe duplo representa o campo com  $\rho \neq 0$ .

Introduzindo (II.4) e (II.41) em (II.6), e com as condições do contorno (II.7) e (II.8), resolve-se a equação, determinando as radiações ascendente e descendente, respectivamente

$$L_{DT}(\tau, \mu, \phi) = \frac{E_0}{4\pi[\mu_0 + (1-\eta)\tau_0]} \left\{ \left[ (1-\eta)\tau_0 [p(\mu, \phi, \mu_0, \pi + \phi_0) \right. \right. \\ \left. \left. + p(\mu, \phi, -\mu_0, \phi_0)] + \mu_0 p(\mu, \phi, -\mu_0, \phi_0) + \frac{2\mu_0^2 \rho}{1+2(1-\eta)(1-\rho)\tau_0} \right] \right. \\ \left. \left[ 1 - e^{-(\tau_0 - \tau)/\mu} \right] + \left[ (1-\eta) [p(\mu, \phi, \mu_0, \pi + \phi_0) + p(\mu, \phi, -\mu_0, \phi_0)] \right. \right. \\ \left. \left. - \frac{8(1-\eta)\mu_0^2 \rho}{1+2(1-\eta)(1-\rho)\tau_0} \right] \left. \left[ (\tau_0 + \tau) e^{-(\tau_0 - \tau)/\mu} - e^{-(\tau + \mu)} \right] \right\} \quad (II.42)$$

$$\begin{aligned}
 L_{DT}(\tau, -\mu, \phi) = & \frac{E_0}{4\pi |\mu_0 + (1-\eta)\tau_0|} \left\{ \left[ (1-\eta)\tau_0 [p(-\mu, \phi, \mu_0, \pi + \phi_0) \right. \right. \\
 & \left. \left. + p(-\mu, \phi, -\mu_0, \phi_0)] - \mu_0 p(-\mu, \phi, -\mu_0, \phi_0) + \frac{2\mu_0^2 \rho}{1+2(1-\eta)(1-\rho)\tau_0} \right] \right. \\
 (1-e^{-\tau/\mu}) = & \left[ (1-\eta)[p(-\mu, \phi, \mu_0, \pi + \phi_0) + p(-\mu, \phi, -\mu_0, \phi_0)] \right. \\
 & \left. - \frac{8(1-\eta)\mu_0^2 \rho}{1+2(1-\eta)(1-\rho)\tau_0} \right] \left. ( \mu e^{-\tau/\mu} + \tau - \mu \right) \} \quad (II.43)
 \end{aligned}$$

Para o "topo da atmosfera",  $\tau = 0$ , logo

$$\begin{aligned}
 L_{DT}(0, \mu, \phi) = & \frac{E_0}{4\pi |\mu_0 + (1-\eta)\tau_0|} \left\{ \left[ (1-\eta)\tau_0 [p(\mu, \phi, \pi + \phi_0) \right. \right. \\
 & \left. \left. + p(\mu, \phi, -\mu_0, \phi_0)] + \mu_0 p(\mu, \phi, \mu_0, \phi_0) + \frac{2\mu_0^2 \rho}{1+2(1-\rho)(1-\eta)\tau_0} \right] \right. \\
 & \left. (1-e^{-\tau_0/\mu}) \right. \\
 + & \left[ [p(\mu, \phi, \mu_0, \pi + \phi_0) + p(\mu, \phi, -\mu_0, \phi_0)] \right. \\
 & \left. - \frac{8(1-\eta)\mu_0^2 \rho}{1+2(1-\eta)(1-\rho)\tau_0} \right] \left. (\tau_0 e^{-\tau_0/\mu} - \mu) \right\} \quad (II.44)
 \end{aligned}$$

que expressa a radiação difusa que atinge os sensores do satélite, considerado localizado no "topo da atmosfera".

## 2.2 - TRANSMITÂNCIA ATMOSFÉRICA

A transmitância da radiação na atmosfera é complexa, devendo à dependência dos coeficientes de espalhamento e de absorção das diferentes propriedades físicas da atmosfera. Por outro lado, a alteração sofrida por uma radiação monocromática-paralela é dada pela lei de Beer (Siegel e Howell-1971), ou seja, a atenuação  $dI_\lambda$  na intensidade  $I_\lambda$ , num meio homogêneo, é expressa pela seguinte equação:

$$dI = I_\lambda dl \quad (\text{II.45})$$

onde:

$I_\lambda$  = intensidade da radiação

$\gamma$  = coeficiente volumétrico de atenuação

$dl$  = comprimento da trajetória

Integrando-se a equação acima, tem-se:

$$I_\lambda = I_{\lambda_0} \exp \left[ - \int_0^l \gamma dl \right] \quad (\text{II.46})$$

ou

$$\frac{I_\lambda}{I_{\lambda_0}} = \exp \left[ - \int_0^l \gamma dl \right] \quad (\text{II.47})$$

Consequentemente, obtém-se a definição clássica da transmitância monocromática

- 23 -

$$T = \exp \left[ - \int_0^L \gamma dl \right] \quad (II.48)$$

Entretanto, a equação acima resulta numa impossibilidade prática de medições de transmitância total para uma determinada frequência de resolução infinita, a não ser num laboratório onde a fonte já é monocromática. Porém, a medida da transmitância média  $\bar{T}_{\Delta\nu}(v)$  num intervalo espectral  $\Delta\nu$  é possível, ou seja

$$\bar{T}_{\Delta\nu}(v) = \frac{1}{\Delta\nu} \int_{v - \frac{\Delta\nu}{2}}^{v + \frac{\Delta\nu}{2}} T(v)dv \quad (II.49)$$

onde:

$v$  = frequência central

$\Delta\nu$  = intervalo de frequência

No intervalo espectral considerado neste trabalho, visível e infravermelho próximo, os coeficientes de espalhamento molecular e coeficiente de espalhamento do aerosol são fracamente dependentes da frequência, e a transmitância média, neste caso, pode ser obtida pela interpolação dos valores monocromáticos (McClatchey et al, 1972), obedecendo à lei exponencial.

$$\bar{T}_{\Delta\nu}(v) = \exp \left[ - \int_0^L \bar{\gamma} dl \right] \quad (II.50)$$

Para determinar a transmitância média total numa certa freqüência devem-se multiplicar os valores das transmitâncias individuais de cada componente atmosférico, ou seja

$$\bar{T}_{\Delta\nu}(\nu)(\text{total}) = \bar{T}_{\Delta\nu}(\nu)(\text{H}_2\text{O}) \bar{T}_{\Delta\nu}(\nu)(\text{O}_3)$$

$$\bar{T}_{\Delta\nu}(\nu)(\text{Rayleigh}) \bar{T}_{\Delta\nu}(\nu)(\text{aerosol}) \quad (\text{II.51})$$

A forma funcional da transmitância média do LOWTRAN-3 sobre o intervalo considerado é dada em termos dos parâmetros  $C_v$  e  $\omega^*$ , ou seja,

$$\bar{T} = f(C_v, \omega^*) \quad (\text{II.52})$$

onde

$C_v$  = coeficiente de absorção em função do comprimento de onda (freqüência)

$$\omega^* = \omega \left\{ \frac{P(z)}{P_0} \sqrt{\frac{T_0}{T(z)}} \right\}^n \quad (\text{II.53})$$

$\omega^*$  = quantidade equivalente do absorvente

$\omega$  = concentração do absorvente

$P(z)$  = pressão atmosférica em  $z$

$P_0$  = pressão atmosférica padrão ao nível do mar

$T(z)$  = temperatura em  $z$

$T_0$  = temperatura padrão

$n$  = coeficiente determinado empiricamente dos dados experimentais e dos valores calculados no "Airforce Geophysics Lab". (Tabela II.1).

TABELA II.1

COEFICIENTES (n) DETERMINADOS EMPIRICAMENTE NO "AIRFORCE GEOPHYSICS LAB".

Ozônio.....	n = 0,4
Vapor de água.....	n = 0,9
Gases Uniformemente Misturados.....	n = 1,75

A atmosfera terrestre é composta de gases majoritários e minoritários (Tabela II.2), quase-permanentes e variáveis, que têm participações importantes na transferência radiativa. A radiação é espalhada e absorvida pelos gases e partículas, pelos seguintes mecanismos:

- a) absorção da radiação ultravioleta em consequência das transições eletrônicas de moléculas, oxigênio atômico, nitrogênio e ozônio;
- b) absorção da radiação infravermelha devido a vibração e rotação de  $H_2O$ ,  $CO_2$  e moléculas de  $O_3$ ;
- c) espalhamento da radiação visível pelos aerosóis e moléculas.

O vapor de água é o constituinte que apresenta concentração mais variável da atmosfera; uma das maneiras de expressá-la é:

$$\omega^* = \int_z^{\infty} \omega(z) \left[ \frac{P(z)}{P_0} \right]^{0,9} dz \quad (II.54)$$

Similarmente, ozônio é um outro constituinte bastante variável, dependendo da época do ano e localização geográfica e é calculado por:

TABELA II.2

COMPOSIÇÃO NORMAL DA ATMOSFERA

CONSTITUINTE	% POR VOLUME
Nitrogênio	78,09
Oxigênio	20,95
Argonio	0,93
Óxido Nitroso	$0,5 \times 10^{-4}$
Neon	$1,8 \times 10^{-3}$
Hélio	$5,2 \times 10^{-4}$
Kriptonio	$1,1 \times 10^{-4}$
Xenonio	$8,7 \times 10^{-6}$
Hidrogênio	$0,5 \times 10^{-4}$
Metano	$2,0 \times 10^{-3}$
Ozonio	0 a $7 \times 10^{-6}$ *
Óxido Sulfuroso	0 a $0,1 \times 10^{-3}$ *
Dióxido de Nitrogenio	0 a $0,2 \times 10^{-4}$ *
Amonia	0 a traço *
Monóxido de Carbono	0 a traço *
Água	0 a 7,0 *
Dióxido de Carbono	0,01 a 0,1 *

(Segundo Farrow, 1975)

\* Constituintes Variáveis da Atmosfera

$$\omega^* = \int_z^{\infty} \omega(z) \left[ \frac{P(z)}{P_0} \right]^{0,4} dz \quad (II.55)$$

Pode-se afirmar que a maior parte da energia eletromagnética que chega até a superfície terrestre é proveniente do sol, e essa energia é responsável pelos fenômenos físicos que ocorrem na atmosfera. De acordo com Drummond (1970) mais de 99 por cento da energia solar está contida no intervalo espectral de 0,2  $\mu\text{m}$  a 4,0  $\mu\text{m}$ .

O termo  $\gamma$  da equação (II.48) é denominado coeficiente de atenuação. A sua dimensão é o inverso do comprimento, e expressa-se como a soma do coeficiente de espalhamento ( $k$ ) e do coeficiente de absorção ( $\alpha$ ), pelo fato dos dois processos serem independentes, portanto

$$\gamma = \alpha + k \quad (II.56)$$

E ainda os processos de atenuação de Rayleigh e dos aerosóis sendo, também, independentes, escreve-se:

$$\alpha = \alpha_m + \alpha_a \quad (II.57)$$

$$k = k_m + k_a \quad (II.58)$$

onde os índices m e a indicam respectivamente os processos de Rayleigh e do aerosol.

O espalhamento por partículas com tamanhos muito menores do que o comprimento de onda é denominado espalhamento Rayleigh (molecular), e foi introduzido por Lord Rayleigh que tentava explicar o azul do céu. Atualmente, sabe-se que este processo é causado pela flutuação da densidade na atmosfera.

O coeficiente de espalhamento molecular ( $k_m$ ) depende da densidade numérica das moléculas, e a sua dependência com o comprimento de onda é aproximadamente de  $\lambda^{-4}$ . No Lowtran-3 o cálculo baseia-se nos resultados obtidos por Penndorf (1961) e é dado pela seguinte equação

$$k_m = 9,87 \times 10^{-20} \nu^4 \quad (\text{II.59})$$

enquanto que o coeficiente de absorção molecular ( $\alpha_m$ ) é uma função dos gases absorventes da atmosfera, da temperatura e pressão; a sua dependência com o comprimento de onda é altamente variável. No presente trabalho, contudo, essa dependência é desprezada, devido ao intervalo espectral considerado.

Outro espalhamento que se considera é aquele devido às partículas com tamanhos maiores do que o comprimento de onda incidente. Estas partículas são denominadas aerosóis. Geralmente define-se como sendo sólidos ou líquidos em suspensão num meio gasoso, e esta definição inclui névoa, nevoeiro, neblina, fumaça, partículas de pó, nuvens, pólen e outros.

Quanto aos tamanhos destas podem-se classificar, segundo Junge (1963), em três categorias.

- a) Núcleos de Aitken -  $10^{-7}$  a  $10^{-5}$  cm
- b) Partículas grandes -  $10^{-5}$  a  $10^{-4}$  cm
- c) Partículas gigantes - maiores do que  $10^{-4}$  cm

Os coeficientes de espalhamento do aerosol ( $k_a$ ) e de absorção do aerosol ( $\alpha_a$ ) dependem exclusivamente da densidade total do aerosol, da distribuição de tamanhos dos aerosóis e dos índices de refração destes.

Lowtran-3 utiliza dois modelos de aerosóis, digitalizados no próprio programa, correspondendo à condição de céu limpo e úmido, respectivamente 23 km e 5km de alcance visual ao nível do mar, baseando-se nas seguintes suposições:

a) A distribuição do tamanho das partículas é semelhante ao modelo utilizado pelo Deirmendjian (1969), Figura II.1, ou seja

$$n(r) = ar^d \exp(-br)^c \quad (II.60)$$

onde

$n(r)$  = função distribuição (distribuição gama modificada)

$r$  = raio do aerosol

$a, b, d,$  = constantes reais positivas

$c$  = constante inteira positiva

b) A distribuição de tamanhos dos aerosóis permanece constante com altitude.

c) As variações das densidades das partículas (Tabela II.3) com altitude são aquelas ajustadas pelo Mc Clatchey et al (1972) conforme o modelo de atenuação desenvolvido por Elterman (1964).

Outro parâmetro importante no estudo da transferência radiativa é a quantidade adimensional que mede o processo de atenuação da atmosfera, denominada profundidade ótica, que se define exatamente como o fator exponencial da equação (II.50), ou seja

$$\bar{\tau} = \int_h^{\infty} \bar{\gamma} dz \quad (II.61)$$

Tipo de Aerosol

M = marítimo

L = continental

H = estratosférico

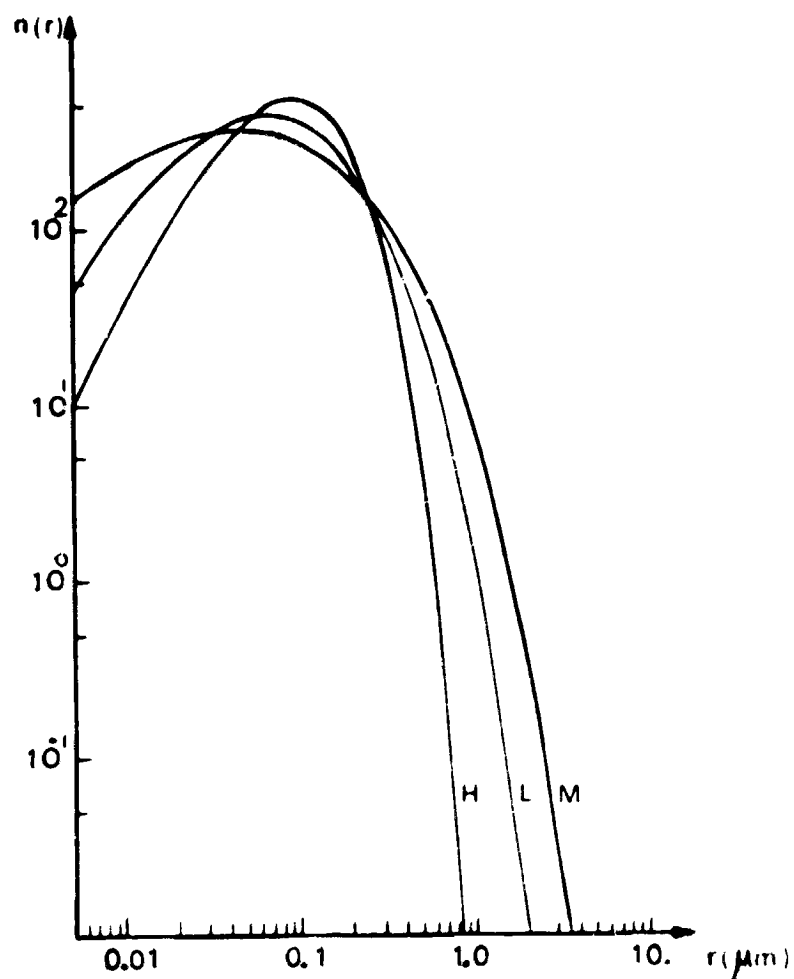


Fig. II.1 - Representação da Função Distribuição das Partículas de Aerossóis (Deirmendjian, 1969)

TABELA II.3

MODELO DE DISTRIBUIÇÃO VERTICAL DO AEROSOL PARA ATMOSFERAS

"CLARA" E "UMIDA" (MCCLATCHY et al., 1972)

Altitude (km)	Atm. Clara	Atm. Umida
0	2,828 E + 03	1,378 E + 04
1	1,244 E + 03	5,030 E + 03
2	5,371 E + 02	1,844 E + 03
3	2,256 E + 02	6,731 E + 02
4	1,192 E + 02	2,453 E + 02
5	8,987 E + 01	8,987 E + 01
6	6,337 E + 01	6,337 E + 01
7	5,890 E + 01	5,890 E + 01
8	6,069 E + 01	6,069 E + 01
9	5,818 E + 01	5,818 E + 01
10	5,675 E + 01	5,675 E + 01
11	5,317 E + 01	5,317 E + 01
12	5,585 E + 01	5,585 E + 01
13	5,156 E + 01	5,156 E + 01
14	5,048 E + 01	5,048 E + 01
15	4,744 E + 01	4,744 E + 01
16	4,511 E + 01	4,511 E + 01
17	4,458 E + 01	4,458 E + 01
18	4,314 E + 01	4,314 E + 01
19	3,364 E + 01	3,364 E + 01
20	2,667 E + 01	2,667 E + 01
21	1,933 E + 01	1,933 E + 01
22	1,455 E + 01	1,455 E + 01
23	1,113 E + 01	1,113 E + 01
24	8,826 E + 00	8,826 E + 00
25	7,429 E + 00	7,429 E + 00
30	2,238 E + 00	2,238 E + 00
35	5,890 E - 01	5,890 E - 01
40	1,550 E - 01	1,550 E - 01
45	4,082 E - 02	4,082 E - 02
50	1,078 E - 02	1,078 E - 02
70	5,550 E - 05	5,550 E - 05
100	1,969 E - 08	1,969 E - 08

logo para uma atmosfera inteira, tem-se:

$$\bar{\tau}_0 = \int_0^{\infty} \bar{\gamma} dz \quad (II.62)$$

Um valor grande de profundidade ótica significa uma grande atenuação da radiação pela atmosfera.

Comparando as expressões (II.50) e (II.61), pode-se reescrever a transmitância atmosférica como

$$\begin{aligned} \bar{\tau}_{\Delta\nu}(v) &= \exp \left| - \int_0^L \bar{\gamma} dz \right| = \exp \left| - \int_0^{\infty} \bar{\gamma} dz \sec \theta \right| = \\ \exp \left| - \bar{\tau}_0 / \sec \theta \right| &= \exp \left| - \bar{\tau}_0 / \mu \right| \quad (II.63) \end{aligned}$$

Na figura II.2 notam-se as transmitâncias para diferentes modelos atmosféricos, calculados com o LOWTRAN-3 (Selby e McClatchey, 1975).

Em resumo, para se utilizar integralmente o modelo de Turner, é necessário conhecer a medida de turbidez, na determinação posterior da profundidade ótica do aerosol e da transmitância atmosférica.

Entretanto, a medida de turbidez, que ainda não foi obtida sobre o continente brasileiro, é um elemento necessário, porém ausente no modelo. Então, para computar os parâmetros necessários utilizou-se o programa LOWTRAN, que fornece os valores de transmitância total da atmosfera, transmitância molecular e a transmitância do aerosol, e, além disso, este programa apresenta a vantagem de fornecer os parâmetros mencionados em uma condição mais realista, isto é, utilizam-se os perfis verticais de pressão, temperatura e de umidade, obtidas à partir da radiossondagem local.

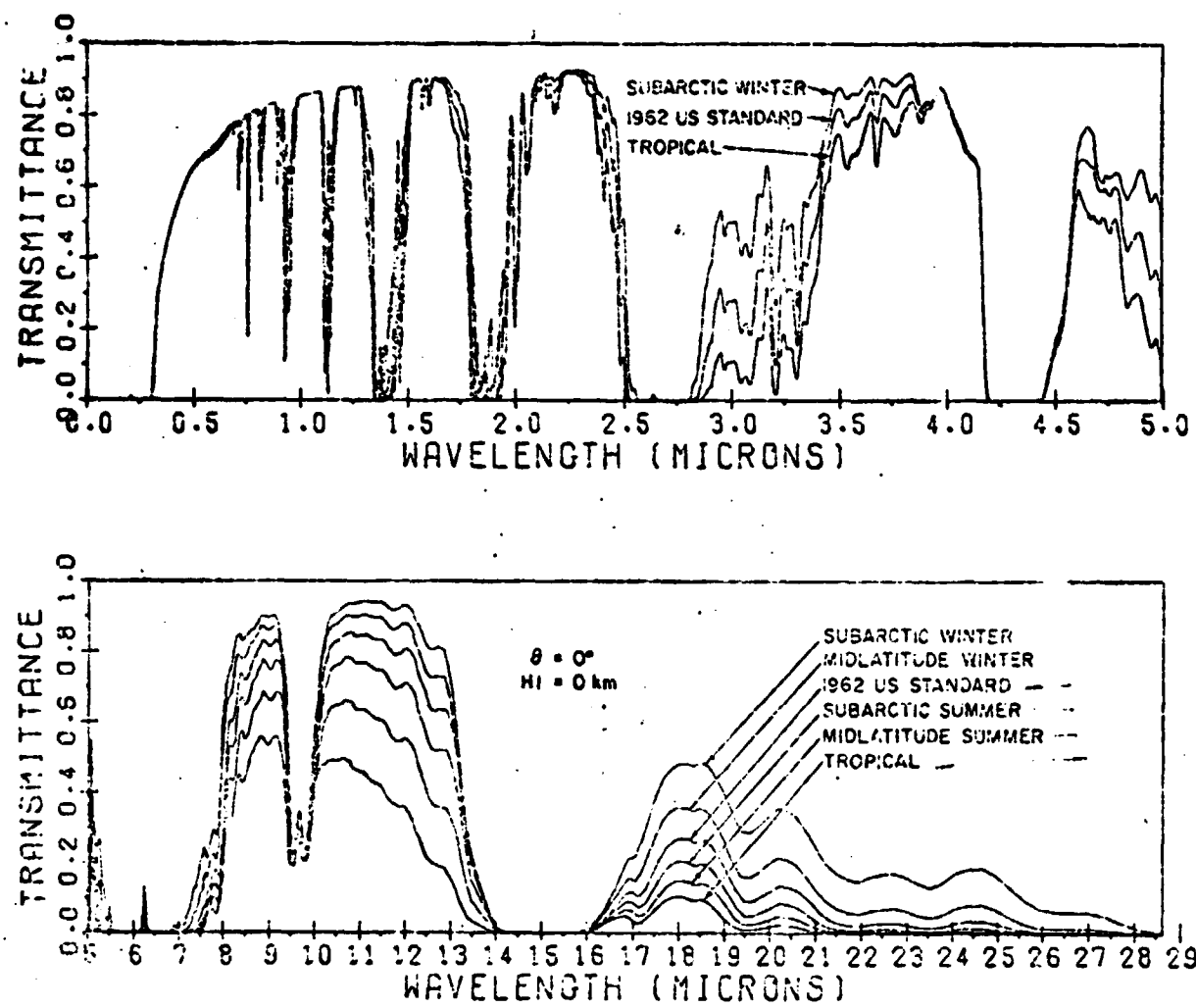


Fig. II.2 - Transmitância Atmosférica para um Percurso Vertical do Nível do Mar para o Espaço a Diversos Modelos Atmosféricos. (Selby e McClatchey, 1975).

## CAPÍTULO III

### ELIMINAÇÃO DO EFEITO ATMOSFÉRICO

O sistema MSS (Multispectral Scanner System) do LANDSAT capta os dados, focalizando alvos sobre a superfície terrestre em várias bandas espectrais que cobrem de  $0,5 \mu\text{m}$  a  $1,1 \mu\text{m}$  (Tabela III.1). Este sistema varre uma região de  $185 \text{ km} \times 185 \text{ km}$  transversalmente à trajetória do satélite, com os seis detectores de fibras óticas para cada banda.

TABELA III.1

#### CANAIS MSS DO LANDSAT

CANAL MSS	INTERVALO ( $\mu\text{m}$ )
4	0,5 a 0,6
5	0,6 a 0,7
6	0,7 a 0,8
7	0,8 a 1,1

As radiações totais incidentes em cada uma das fibras óticas são transformadas, digitalizadas e formatadas em uma série contínua de dados, denominados níveis de cinza, dos campos visuais instantâneos que correspondem a uma área de 79 metros x 56 metros, chamados "pixel" ou elemento de imagem. Tais dados estão em fitas magnéticas compatíveis com computador.

#### 3.1 - ALGORITMO DE CORREÇÃO

I

A radiância total que atinge os sensores numa profundidade ótica  $\tau$ , com ângulo nadir  $\theta$  e azimutal  $\phi$ , pode ser equacionada como:

$$L_T(\tau, \mu, \phi) = L_{TR}(\tau, \mu, \phi) + L_{DT}(\tau, \mu, \phi) \quad (\text{III.1})$$

onde

$L_T$  = radiância espectral total

$L_{TR}$  = radiância transmitida

$L_{DT}$  = radiância difusa

A radiância transmitida é aquela refletida sobre o alvo, multiplicada pela transmitância atmosférica total, isto é

$$L_{TR}(\tau, \mu, \phi) = L_I(\tau_0, \mu, \phi) \bar{T}(\tau, \tau_0, \mu) \quad (III.2)$$

Então, na equação (III.1) para o caso em consideração, deve-se tomar a profundidade ótica nula, assumindo-se como topo da atmosfera o local onde se encontra o satélite, ou seja:

$$L_T(\sigma, \mu, \phi) = L_I(\tau_0, \mu, \phi) \bar{T}(\tau_0, \mu) + L_{DT}(\sigma, \mu, \phi) \quad (III.3)$$

Assim sendo, para eliminar os efeitos atmosféricos das imagens, a radiância intrínseca de cada pixel será determinada usando-se o seguinte algoritmo,

$$L_I(\tau_0, \mu, \phi) = \left[ L_T(\sigma, \mu, \phi) - L_{DT}(\sigma, \mu, \phi) \right] \left[ \bar{T}(\tau_0, \mu) \right]^{-1} \quad (III.4)$$

E ainda sabe-se que a radiância intrínseca depende da irradiância direta e difusa. Admitindo-se que a superfície é lambertiana, pode-se aproximar (Turner et. al., 1972) como

$$L_I = \frac{\rho_a}{\pi} E_{T+}(\tau_0) \quad (III.5)$$

onde

$\rho_a$  = reflectância difusa efetiva do alvo

$E_{T+}(\tau_0)$  = irradiância difusa total descendente

A Equação (II.44) pode ser descompactada em várias funções para facilitar o seu cálculo, portanto

$$\frac{L_{DT}(\mu, \phi, \phi_o, \tau_o)}{E_0} = F_1(\mu, \phi, \mu_o, \phi_o, \tau_o) + F_2(\mu, \phi, \mu_o, \phi_o, \tau) G(\tau_o, \bar{\rho}) \quad (III.6)$$

onde as funções  $F_1, F_2$  e  $G$  são respectivamente

$$F_1(\mu, \phi, \mu_o, \phi_o, \tau_o) = \frac{1}{4\pi [\mu_o + (1-\eta)\tau_o]} \left\{ (1-\eta)(\tau_o - \mu) \left[ p(\mu, \phi, \mu_o, \pi + \phi_o) + p(\mu, \phi, -\mu_o, \phi_o) \right] + \mu_o p(\mu, \phi, -\mu_o, \phi_o) + (1-\eta) \mu \left[ p(\mu, \phi, \mu_o, \pi + \phi_o) + p(\mu, \phi, -\mu_o, \phi_o) \right] \cdot e^{-\tau_o/\mu} - \mu_o p(\mu, \phi, -\mu_o, \phi_o) \cdot e^{-\tau_o/\mu} \right\} \quad (III.7)$$

$$F_2(\mu, \phi, \mu_o, \phi_o, \tau_o) = \frac{\mu_o^2}{2\pi [\mu_o + (1-\eta)\tau_o]} \left\{ 1 + 4\mu(1-\eta) - [1 + 4(1-\eta)(\tau_o + \mu)] e^{-\tau_o/\mu} \right\} \quad (III.8)$$

$$G(\bar{\rho}, \tau_o) = \frac{\bar{\rho}}{1 + 2(1-\eta)(1-\bar{\rho})\tau_o} \quad (III.9)$$

e, também para a irradiância difusa total descendente

$$\frac{E_{T+}}{E_0} = H(\mu_o, \tau_o) [1 + I(\tau_o) G(\rho, \tau_o)]$$

onde

$$H(\mu_0, \tau_0) = \frac{\mu_0^2}{\mu_0 + (1-n)\tau_0} \quad (III.11)$$

$$I(\tau_0) = 2(1-n)\tau_0 \quad (III.12)$$

As funções fases de espalhamento da expressão são calculadas utilizando o método aplicado por Deirmendjian (1969) (Apêndice A).

### 3.2 - MÉTODO DE CORREÇÃO DE DADOS

Experimentou-se a correção nas imagens de Brasília (21/06/74) e de Ribeirão Preto (01/07/77) procedendo os passos descritos abaixo e ilustrados na Figura III.1.

Primeiro: Nas fitas magnéticas processadas em Cachoeira Paulista, cujas dimensões são de 3218 pixels na horizontal e 2352 pixels na vertical, delimitou-se a imagem num formato de 512 por 512 pixels, devido à limitação de vídeo do IMAGE-100. O objetivo principal deste procedimento é facilitar a leitura dos pixels constituintes das imagens pelo programa de correção atmosférica, considerando que o novo formato são quatro matrizes de 512 por 512 e gerando desta maneira uma nova fita com as correções radiométrica e geométrica incluídas para todas as bandas do ERTS (LANDSAT).

Segundo: Um elemento essencial no cálculo do efeito da atenuação atmosférica, obviamente, é a representação da característica física da própria atmosfera. A transmitância total da atmosfera, no comprimento de onda de interesse é importante e é considerado um parâmetro básico no presente modelo. Com LOWTRAN-3 calculou-se a transmitância total da atmosfera, onde verifica-se que ela é uma função de vários parâmetros (pressão, temperatura, umidade relativa, visibilidade horizontal) que descrevem a condição do estado atmosférico do percurso da radiação refletida na superfície, assim como do comprimento de onda. Os estados atmosféricos para os quais as transmitâncias foram calculadas são apresentadas nas Tabelas III.2 e III.3.

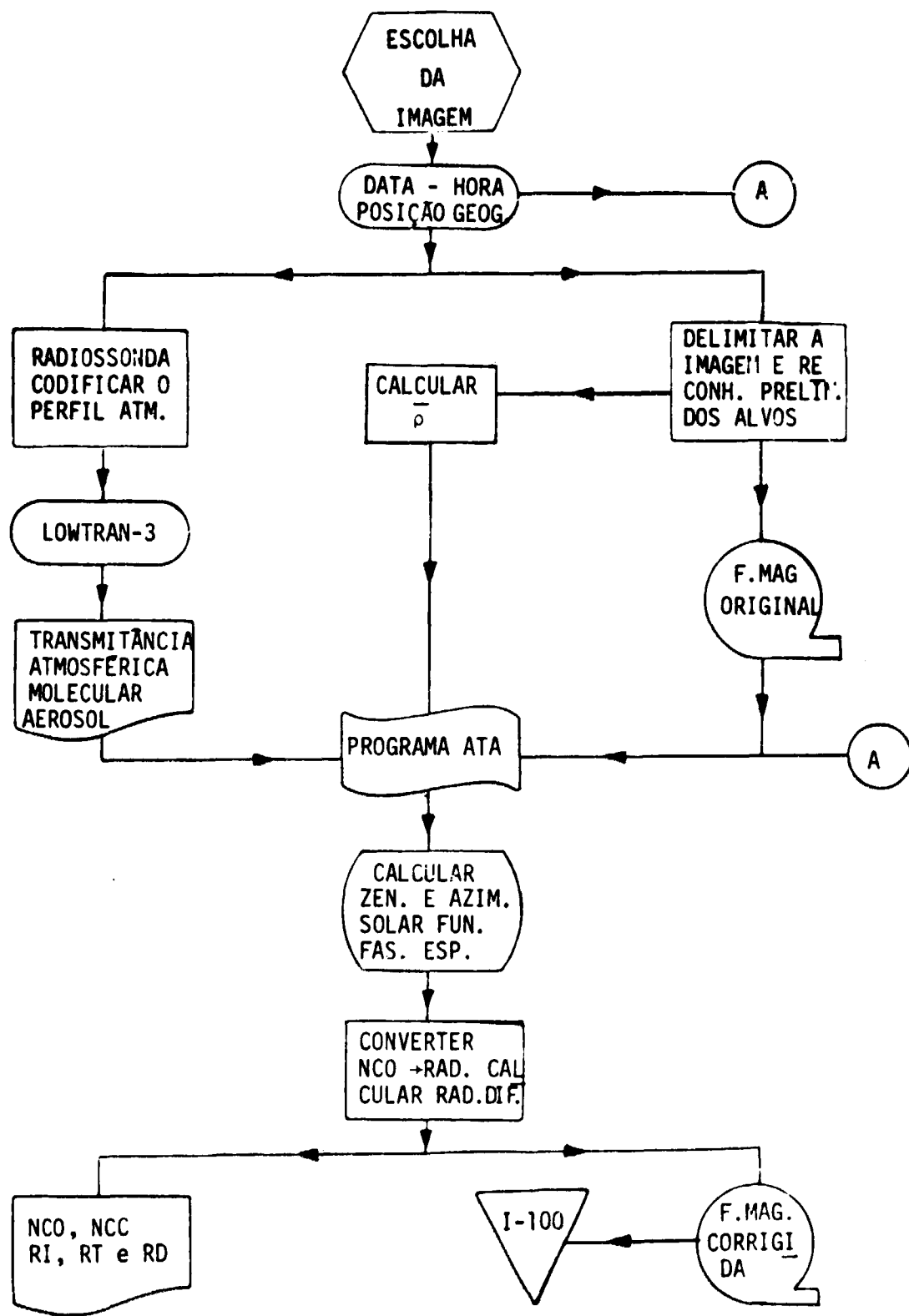


Fig. III.1 - Fluxograma do método de correção de dados.

TABELA III.2

ESTADO ATMOSFÉRICO DE BRASÍLIA EM 21-6-1974 (RADIOSSONDAGEM)

Z (KM)	P (MH)	T (C)	DEW PT	%RH	H2O(GM.M-3)	O3(GM.M-3)	NO.	DEN.
1.061	899.000	14.500	0.0	77.0	.957E+01	.559E-04	1182.802	
1.100	893.000	14.800	0.0	78.0	.988E+01	.558E-04	1144.675	
1.350	869.000	16.100	0.0	85.0	.116E+02	.553E-04	927.821	
1.800	824.000	13.700	0.0	82.0	.971E+01	.544E-04	635.729	
2.850	727.000	13.100	0.0	15.0	.171E+01	.514E-04	257.067	
5.150	548.000	-2.500	0.0	15.0	.611E+00	.447E-04	85.330	
5.800	517.000	-7.500	0.0	15.0	.426E+00	.434E-04	67.998	
6.400	467.000	-12.700	0.0	16.0	.307E+00	.422E-04	61.579	
7.000	411.000	-13.000	0.0	17.0	.215E+00	.410E-04	58.936	
7.150	423.000	-19.500	0.0	17.0	.190E+00	.407E-04	59.197	
7.350	413.000	-13.500	0.0	13.0	.158E+00	.403E-04	59.554	
7.650	375.000	-19.400	0.0	13.0	.144E+00	.397E-04	60.094	
7.920	331.000	-19.100	0.0	13.0	.150E+00	.392E-04	60.584	
8.300	292.000	-22.000	0.0	14.0	.127E+00	.390E-04	59.966	
8.950	231.000	-26.700	0.0	15.0	.913E-01	.390E-04	58.343	
9.600	201.000	-31.500	0.0	15.0	.594E-01	.390E-04	57.356	
10.350	172.000	-37.200	0.0	15.0	.347E-01	.397E-04	55.507	
10.950	147.000	-42.100	0.0	15.0	.213E-01	.409E-04	53.374	
11.700	122.000	-47.200	0.0	1.0	.673E-03	.424E-04	55.069	
12.200	106.000	-53.900	0.0	1.0	.397E-03	.434E-04	55.002	
12.450	109.000	-54.800	0.0	1.0	.358E-03	.439E-04	53.912	
12.550	115.000	-55.100	0.0	1.0	.346E-03	.441E-04	53.482	
13.100	178.000	-59.200	0.0	1.0	.212E-03	.450E-04	51.482	
13.800	150.000	-64.500	0.0	1.0	.109E-03	.450E-04	50.732	
14.700	137.000	-71.500	0.0	1.0	.426E-04	.464E-04	48.365	
16.000	119.000	-72.500	0.0	1.0	.370E-04	.470E-04	45.140	
16.800	115.000	-72.800	0.0	1.0	.355E-04	.639E-04	44.707	
17.950	79.000	-74.200	0.0	1.0	.290E-04	.888E-04	43.240	
18.900	67.000	-64.800	0.0	1.0	.105E-03	.134E-03	36.990	
20.500	52.000	-62.300	0.0	1.0	.145E-03	.214E-03	22.726	
22.650	37.000	-53.500	0.0	1.0	.330E-03	.305E-03	12.234	
25.450	24.000	-53.100	0.0	1.0	.609E-03	.330E-03	6.673	
27.750	17.000	-45.500	0.0	1.0	.900E-03	.281E-03	3.842	
29.564	13.000	-43.500	0.0	1.0	.167E-02	.247E-03	2.484	

Obs: Devido ao método utilizado para calcular a densidade de vapor de água no LOWTRAN-3, na ausência de informação da umidade relativa na radiossondagem, considerou-se esta igual a um.

TABLEA III.2

ESTADO AMPLIESTRATO DE BRASILIA EM 21-6-1974 (RADIOSONDAGEM)

Z (KM)	P (MH)	T (C)	DEW PT	SHM	H2O(GM.M-3)	O3(GM.M-3)	NU.	DEN.
1.061	899.000	14.500	0.0	77.0	.957E+01	.559E-04	1182	802
1.100	843.000	14.800	0.0	78.0	.988E+01	.558E-04	1144	675
1.350	869.000	15.100	0.0	85.0	.116E+02	.553E-04	927	821
1.800	824.000	13.700	0.0	82.0	.971E+01	.544E-04	635	729
2.850	727.000	13.100	0.0	15.0	.171E+01	.514E-04	257	067
5.150	548.000	-2.500	0.0	15.0	.611E+00	.447E-04	65	330
5.800	517.000	-7.500	0.0	15.0	.426E+00	.434E-04	67	948
6.400	477.000	-12.700	0.0	16.0	.307E+00	.422E-04	61	579
7.000	441.000	-14.000	0.0	17.0	.215E+00	.410E-04	58	936
7.150	423.000	-19.500	0.0	17.0	.190E+00	.407E-04	59	197
7.350	413.000	-13.500	0.0	13.0	.158E+00	.403E-04	59	554
7.650	395.000	-19.600	0.0	13.0	.144E+00	.397E-04	60	094
7.920	371.000	-14.100	0.0	13.0	.150E+00	.392E-04	60	584
8.300	342.000	-22.000	0.0	14.0	.127E+00	.340E-04	59	966
8.950	321.000	-26.700	0.0	15.0	.913E-01	.390E-04	59	343
9.600	291.000	-31.500	0.0	15.0	.594E-01	.390E-04	57	356
10.350	272.000	-37.200	0.0	15.0	.347E-01	.397E-04	55	507
10.950	247.000	-42.100	0.0	15.0	.213E-01	.409E-04	53	374
11.700	222.000	-49.200	0.0	1.0	.673E-03	.424E-04	55	069
12.200	216.000	-53.900	0.0	1.0	.397E-03	.434E-04	55	002
12.450	199.000	-54.300	0.0	1.0	.398E-03	.439E-04	53	912
12.55	175.000	-50.100	0.0	1.0	.346E-03	.441E-04	53	482
13.10	175.000	-54.200	0.0	1.0	.212E-03	.450E-04	51	482
13.800	149.000	-64.500	0.0	1.0	.109E-03	.450E-04	50	732
14.700	137.000	-71.500	0.0	1.0	.426E-04	.464E-04	48	365
16.000	120.000	-72.500	0.0	1.0	.370E-04	.470E-04	45	140
16.800	115.000	-72.800	0.0	1.0	.355E-04	.639E-04	44	707
17.950	77.000	-74.200	0.0	1.0	.290E-04	.488E-04	43	240
18.90	77.000	-64.200	0.0	1.0	.105E-03	.134E-03	36	990
20.500	72.000	-62.300	0.0	1.0	.145E-03	.214E-03	22	726
22.650	57.000	-55.500	0.0	1.0	.330E-03	.305E-03	12	234
25.450	34.000	-51.100	0.0	1.0	.609E-03	.330E-03	6	673
27.75	27.000	-45.500	0.0	1.0	.900E-03	.281E-03	3	842
29.56	13.000	-41.500	0.0	1.0	.167E-02	.247E-03	2	464

Obs: Devido ao método utilizado para calcular a densidade de vapor de água no LOWTRAN-3, na ausência de informação da umidade relativa na radiosondagem, considerou-se esta igual a um.

TABELA III.3

REPRESENTAÇÃO DO ESTADO ATMOSFÉRICO DE RIBEIRÃO PRETO TOMANDO

A RADISSLONDAGEM DE BRASÍLIA EM 1-7-1977

Z (KM)	P (HPa)	T (C)	DEW PT ZRH	H2O(GH.M-3)	O3(GH.M-3)	ND. DEN.
0.600	950.000	18.000	0.0 70.0	.107E+02	.560E-04	1729.084
1.051	900.000	15.000	0.0 74.0	.101E+02	.559E-04	1182.802
1.340	870.000	14.000	0.0 80.0	.965E+01	.553E-04	935.649
1.544	850.000	12.200	0.0 83.0	.895E+01	.549E-04	788.278
1.750	830.000	12.000	0.0 80.0	.852E+01	.545E-04	663.003
1.850	820.000	12.200	0.0 73.0	.757E+01	.543E-04	609.577
2.050	800.000	10.800	0.0 73.0	.721E+01	.538E-04	514.588
2.610	748.000	5.600	0.0 72.0	.543E+01	.521E-04	316.570
2.800	730.000	5.500	0.0 45.0	.337E+01	.516E-04	268.463
2.900	722.000	5.600	0.0 30.0	.226E+01	.513E-04	246.155
3.000	715.000	10.000	0.0 20.0	.188E+01	.510E-04	225.700
3.050	710.000	12.200	0.0 10.0	.108E+01	.508E-04	218.619
3.150	710.000	11.500	0.0 10.0	.103E+01	.504E-04	205.115
4.383	404.000	4.400	0.0 10.0	.653E+00	.462E-04	107.148
4.530	590.000	4.800	0.0 10.0	.670E+00	.458E-04	101.257
5.550	522.000	0.100	0.0 10.0	.488E+00	.439E-04	74.203
7.617	410.000	-17.900	0.0 10.0	.127E+00	.398E-04	60.034
10.630	262.000	-40.000	0.0 10.0	.176E-01	.402E-04	54.501
11.800	225.000	-47.900	0.0 1.0	.775E-03	.426E-04	55.341
12.110	210.000	-47.300	0.0 1.0	.827E-03	.432E-04	55.400
15.100	110.000	-75.100	0.0 1.0	.220E-04	.470E-14	47.232
16.400	112.000	-75.100	0.0 1.0	.255E-04	.548E-04	44.923
16.600	100.000	-75.300	0.0 1.0	.213E-04	.592E-04	44.815
17.350	58.000	-77.000	0.0 1.0	.192E-04	.757E-04	44.094
18.336	74.000	-65.800	0.0 1.0	.800E-04	.106E-03	40.444
19.533	61.000	-65.100	0.0 1.0	.835E-04	.155E-03	30.864
20.28	54.000	-61.500	0.0 1.0	.160E-03	.203E-03	24.392
21.220	46.000	-60.700	0.0 1.0	.176E-03	.251E-03	17.869
24.442	28.000	-51.600	0.0 1.0	.577E-03	.340E-03	8.187
26.930	19.000	-52.700	0.0 1.0	.456E-03	.296E-03	4.622
27.700	17.000	-46.300	0.0 1.0	.920E-03	.282E-03	3.889
28.537	15.000	-45.400	0.0 1.0	.101E-02	.266E-03	3.181
30.076	12.000	-34.300	0.0 1.0	.305E-02	.237E-03	2.198
32.044	9.000	-34.300	0.0 1.0	.305E-02	.162E-03	1.297

Obs: Devido ao método utilizado para calcular a densidade de vapor de água no LOWTRAN-3, na ausência de informação da umidade relativa na radiossondagem, considerou-se esta igual a um.

A dependência espectral da transmitância para com a visibilidade está plotada na Figura III.2. Para as diferentes bandas verifica-se a tendência de aumento da transmitância do comprimento de onda menor para maior, isto porque a atenuação atmosférica é mais proeminente na região do comprimento de onda menor do que na região de infravermelho; e ao mesmo fato é, ainda, observado para a visibilidade menor. E a dependência espectral da transmitância em função do ângulo de escaneamento está traçada na Figura III.3, onde se verifica que, para a variação do ângulo  $0^{\circ}$  até  $10^{\circ}$ , os valores computados de transmitâncias são quase inalteráveis. Portanto, no presente modelo, considerou-se o ângulo de escaneamento igual a zero.

A Figura III.4 mostra a transmitância em função da profundidade ótica, onde a última expressa a quantidade de espalhamento que ocorre na atmosfera. A dependência espectral da profundidade ótica de Rayleigh e da profundidade ótica do aerosol estão traçadas na Figura III.5. Comparando-as, verifica-se que o espalhamento devido aos aerosóis é mais significativo no intervalo espectral considerado.

Terceiro: A conversão dos níveis de cinza dos pixels para as radiações totais recebidas pelo satélite, foi realizada pela sub-rotina implementada no programa de correção atmosférica (Programa ATA), determinando-se, para cada banda espectral do LANDSAT, a radiação máxima e mínima, usando a expressão (III.3), ou seja,

$$L_{T_1} = L_{I_1} \cdot T + L_{DT_1} \quad (III.13)$$

$$L_{T_2} = L_{I_2} \cdot T + L_{DT_2} \quad (III.14)$$

onde os sub-índices 1 e 2 são, respectivamente, calculados para  $\rho_a = 1$  e  $\rho_a = 0$ , respectivamente. Assim, para cada nível de cinza, tem-se a seguinte relação, dada por

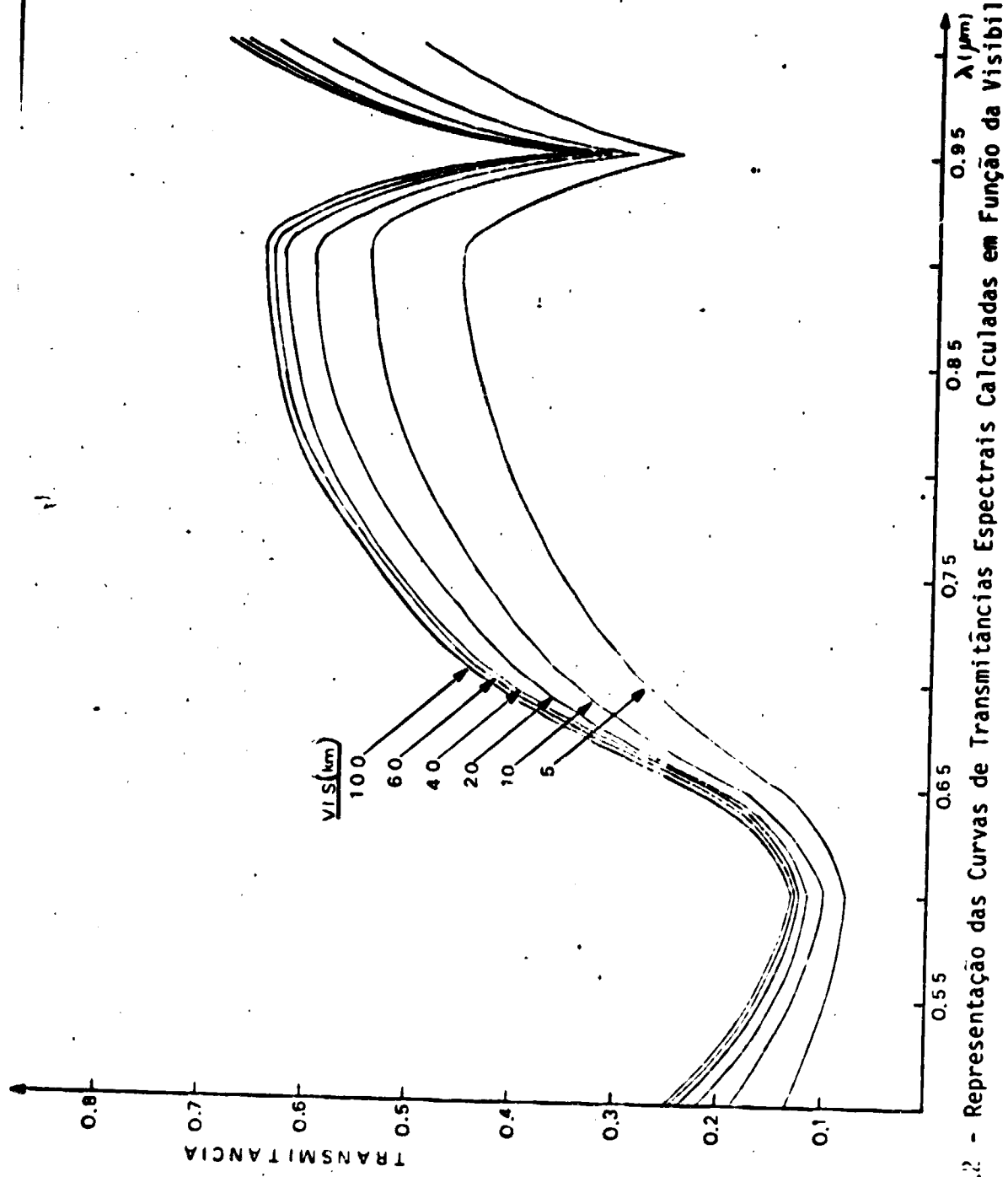


Fig. III.2 - Representação das Curvas de Transmittâncias Espectrais Calculadas em Função da Visibilidade

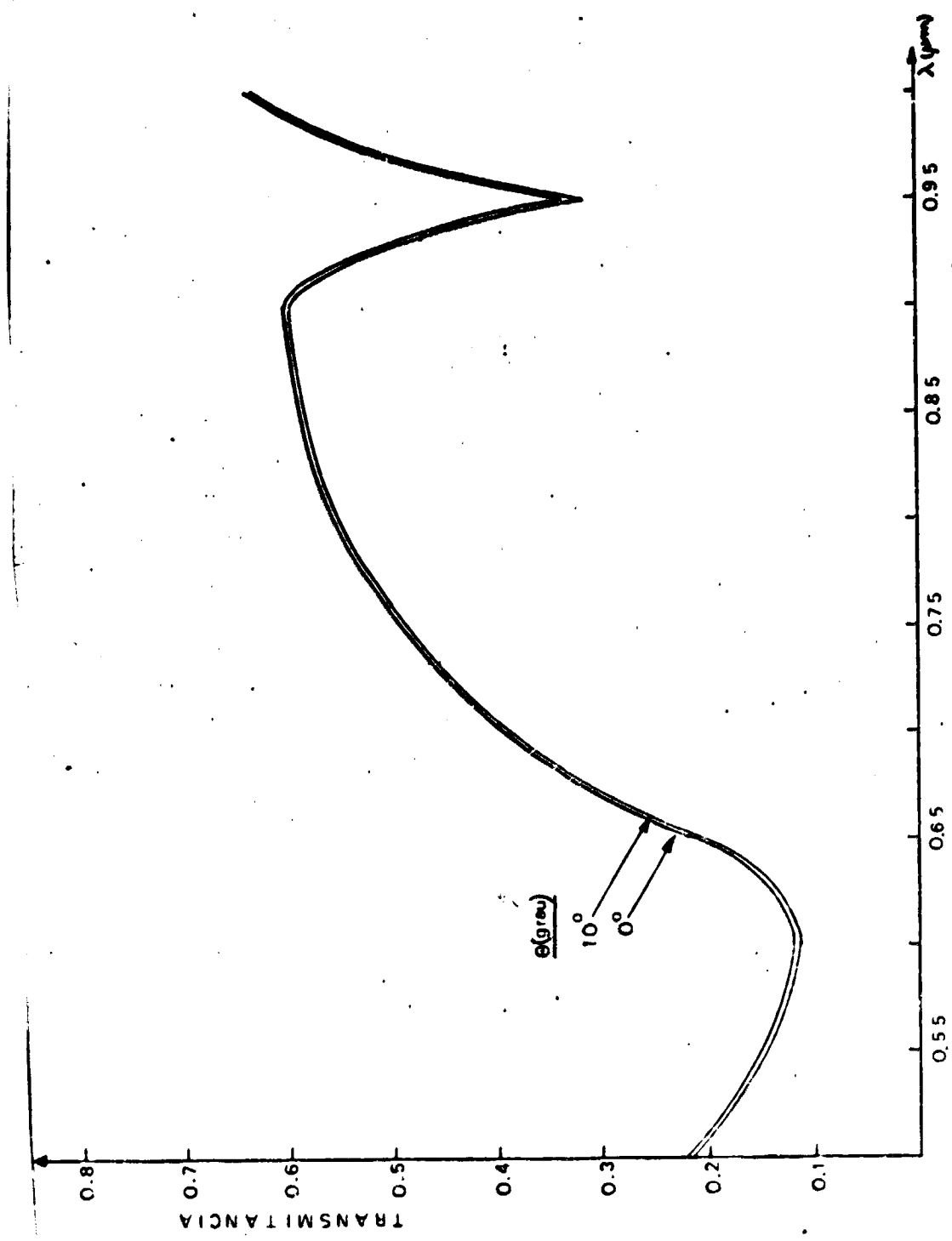


Fig. III.3 - Representação das Curvas de Transmitâncias Espectrais em Função do Ângulo de Escaneamento

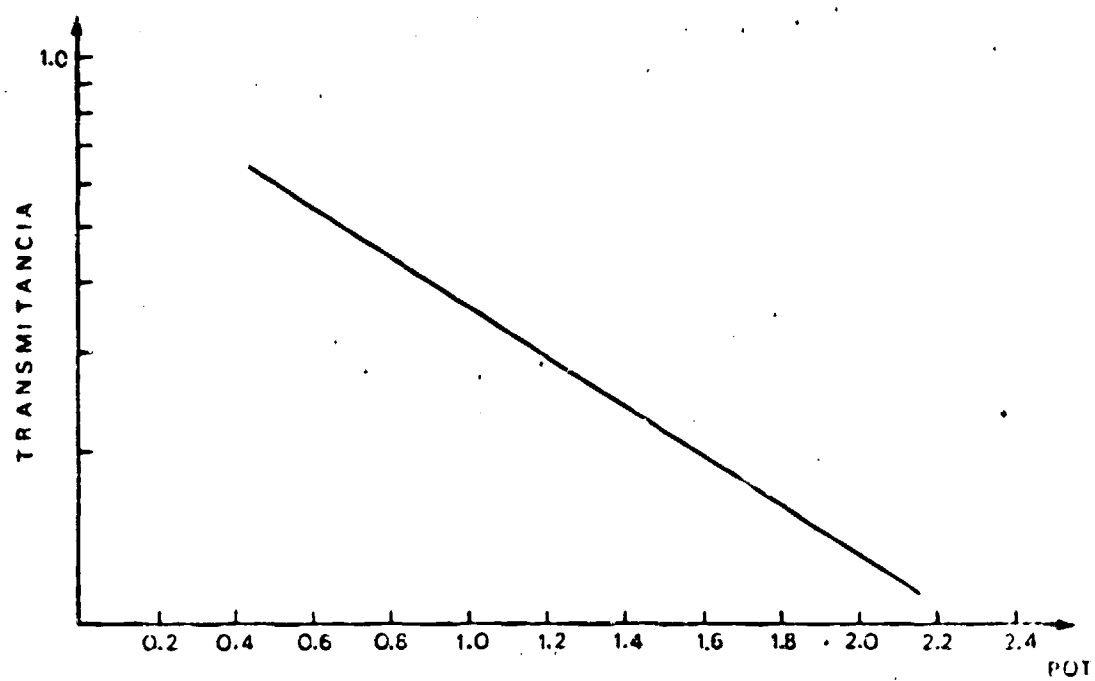


Fig. III.4 - Curva de Transmittância em Função da Profundidade Ótica Total, obtida com os resultados do LOWTRAN-3.

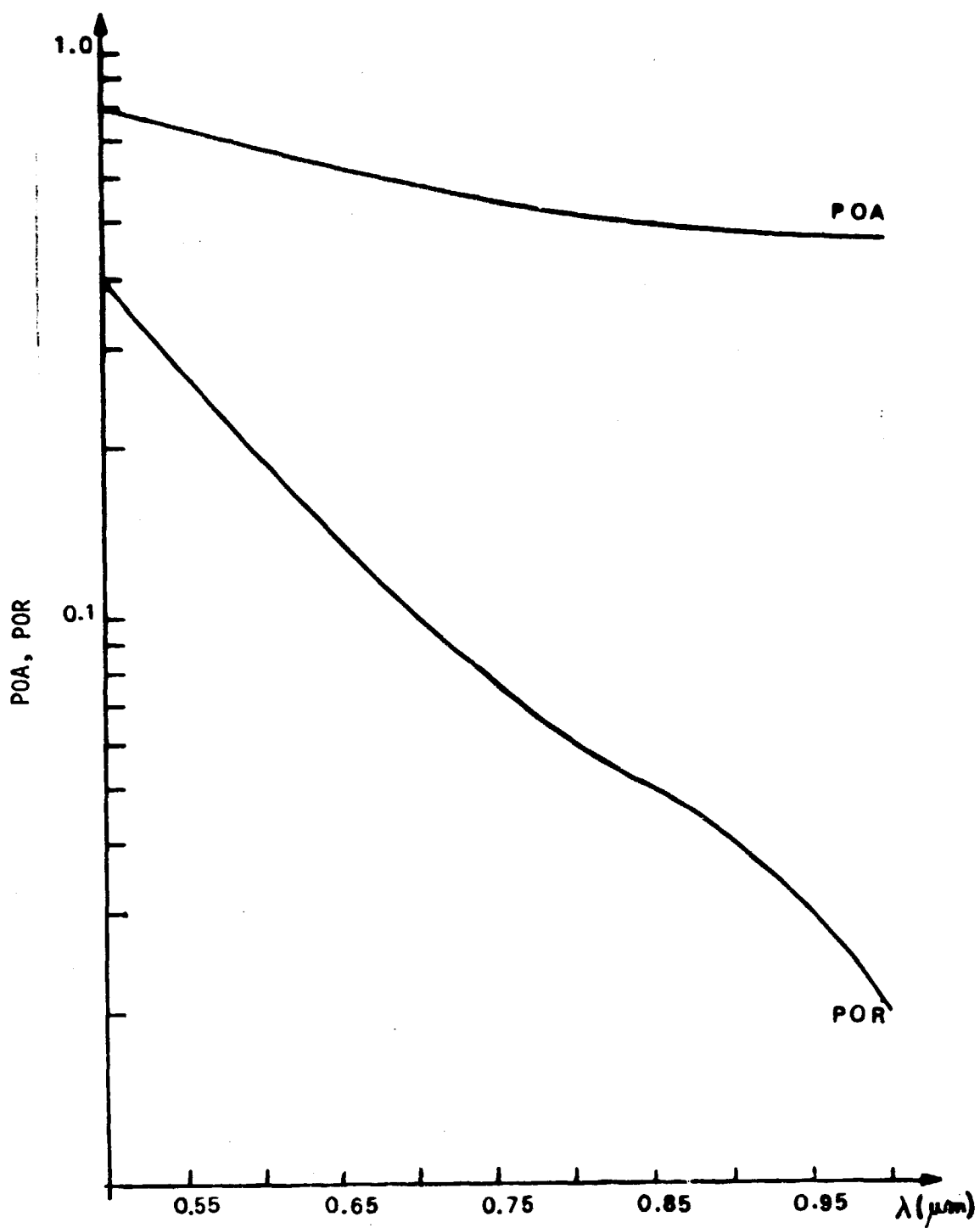


Fig. III.5 - Dependência Espectral da Profundidade Ótica de Rayleigh e da Profundidade Ótica de Aerosol, obtidas com os resultados do LOWTRAN-3.

$$L_{T_1} = \frac{(L_{T_1} - L_{T_2})}{255} \cdot NC_i \quad (III.15)$$

E a Tabela III.4 mostra os coeficientes angulares resultantes das relações entre os níveis de cinzas versus as radiações totais das quatro bandas do satélite, para a imagem de Ribeirão Preto.

TABELA III.4

COEFICIENTES ANGULARES DOS NÍVEIS DE CINZA  
VERSUS AS RADIÂNCIAS TOTAIS

CANAL MSS	COEFICIENTE ANGULAR
4	0,034344
5	0,042292
6	0,064376
7	0,067636

Quatro: Sobre a fita gerada, o programa ATA efetua a leitura dos níveis de cinza e calcula os novos valores correspondentes, eliminando as atenuações atmosféricas. Neste processo o programa efetua a leitura de 1.048.576 pixels, e o tempo que leva para calcular os valores dos níveis de cinzas corrigidos no B-6700 é aproximadamente de 15 minutos.

As variações dos níveis de cinza computadas em comparação com os níveis anteriores são plotadas em função do ângulo azimutal na Figura III.6.

Os valores dos parâmetros calculados na correção da imagem de Ribeirão Preto são mostrados na Tabela III.5. Observa-se que a radiação difusa é maior na região de menor comprimento de onda do que na maior, podendo atingir até 55% da radiação total, dependendo da condição atmosférica.

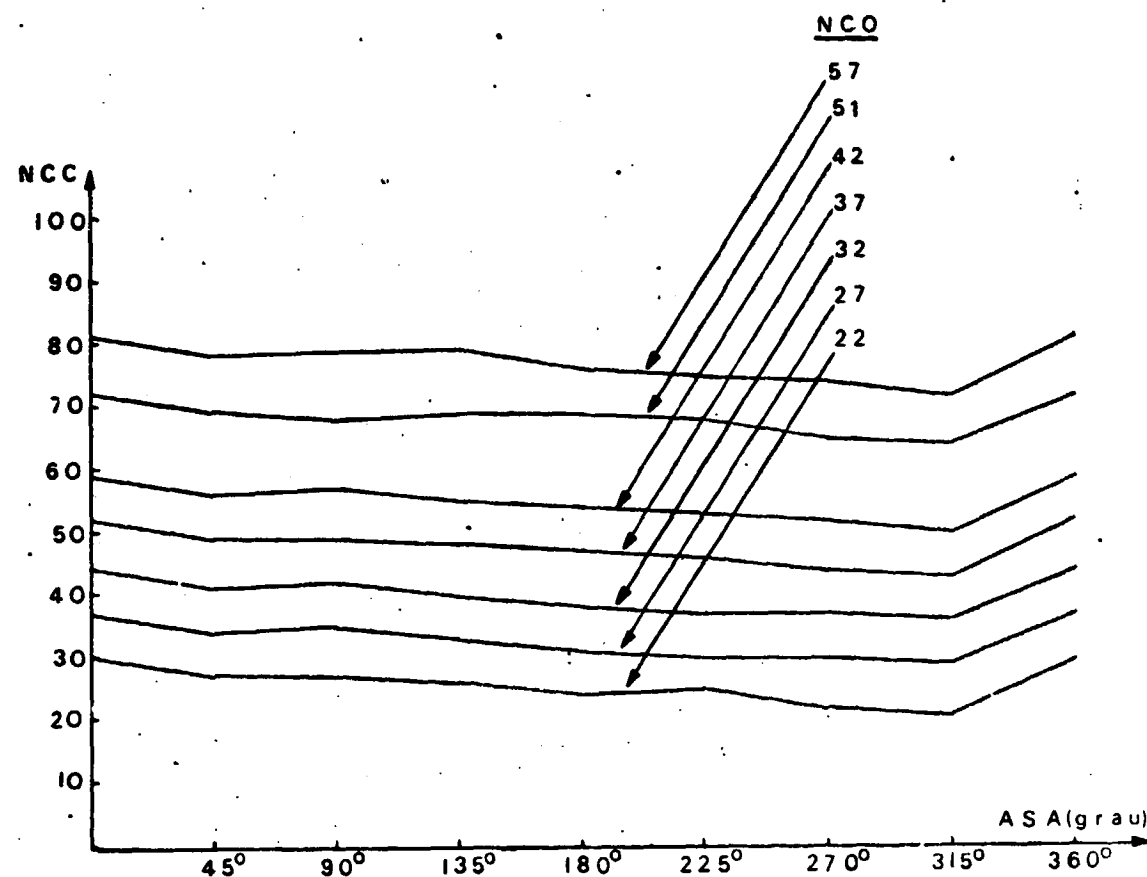


Fig. III.6 - Representação da Variação dos Níveis de Cinza em Diferentes Azimutes.

NCC = Nível de Cinza Corrigido

NCO = Nível de Cinza Original

ASA = Azimute do Satélite

TABELA III.5

PARÂMETROS UTILIZADOS NA CORREÇÃO DA IMAGEM ÓRBITA/ PONTO (178/27)

DE RIBEIRÃO PRETO (01/07/1977)

CANAL MSS	$\bar{\rho}$	$\bar{T}$	$\bar{T}_m$	$\bar{T}_a$	$L_{DT} (mW \text{ cm}^{-2} \text{ Sr}^{-1} \mu\text{m}^{-1})$
4	0,1145	0,2675	0,7990	0,6418	0,7007
5	0,1301	0,3465	0,8928	0,6791	0,5053
6	0,3373	0,5640	0,9385	0,7123	0,3456
7	0,3981	0,5997	0,9726	0,7596	0,3270

$\bar{\rho}$  = albedo médio

$\bar{T}$  = transmitância média

$\bar{T}_m$  = transmitância molecular

$\bar{T}_a$  = transmitância de aerosóis

$L_{DT}$  = radiância espectral difusa

Nesta tabela os resultados espetrais foram calculados a partir das refletâncias individuais dos alvos, sendo que estes alvos foram reconhecidos no processamento preliminar da imagem (Tabela III.6).

TABELA III.6

REFLETÂNCIAS INDIVIDUAIS DOS ALVOS RECONHECIDOS NO  
PROCESSAMENTO AUTOMÁTICO PRELIMINAR DA IMAGEM

CANAL MSS	ÁGUA <sup>1</sup>	CANA <sup>2</sup>	SOLO <sup>3</sup>	PASTO <sup>4</sup>	MATA <sup>5</sup>
4	0,11	0,15	0,12	0,08	0,09
5	0,15	0,10	0,27	0,10	0,09
6	0,14	0,48	0,34	0,23	0,31
7	0,16	0,46	0,37	0,37	0,41

1 - medida por Bentancurt (1978)

2 - calculada por Suits e Safir (1972)

3 - calculada por Condit (1970)

4 - tomado do Meteorological Monographs, pg. 4 (1965)

5 - tomado do Meteorological Monographs, pg. 4 (1965)

## CAPÍTULO IV

### RESULTADOS EXPERIMENTAIS

A fim de verificar a validade do método apresentado, os resultados conseguidos são apresentados nas duas formas apreciáveis, ou seja, qualitativa e quantitativa, para identificar se houve alterção no aspecto visual e no aspecto de classificação de alvo.

Como primeiro passo, tomou-se a radiossondagem de Brasília (21/06/74) e, codificando os dados de perfil vertical atmosférico, obtiveram-se com LOWTRAN-3 os parâmetros necessários (transmitância, profundidade ótica do aerosol, profundidade ótica de Rayleigh) e, junto com a data e hora da passagem do satélite, latitude e longitude do local, açãoou-se o programa ATA para corrigir a imagem original, já antes "formatada" convenientemente.

Após a correção, como resultado qualitativo, tiraram-se "slides" do vídeo do IMAGE-100 das bandas do LANDSAT, os quais, convertidos em fotografias convencionais, são mostrados nas Figuras IV.1, IV.2 e IV.3. Os mesmos correspondem às fotografias comparativas entre as imagens originais e as corrigidas dos canais MSS 4 e 7 do LANDSAT e a composição colorida dos canais MSS 4,5 e 7.

Nas fotografias que correspondem às imagens originais, os contrastes entre as configurações das superfícies adjacentes são reduzidas, dificultando a interpretação usual da imagem.

Confirmou-se que, no intervalo espectral utilizado, o efeito da atenuação atmosférica é muito maior no canal MSS de comprimentos de ondas menores ( $0,5 \mu\text{m}$  a  $0,6 \mu\text{m}$ ) do que para o canal MSS de comprimentos de onda maiores ( $0,8 \mu\text{m}$  a  $1,1 \mu\text{m}$ ).

As imagens corrigidas são sensivelmente melhores; as cores foram realçadas e são mais contrastantes, sendo possível uma melhor discriminação entre alvos diferentes, facilitando o trabalho do foto-intérprete.

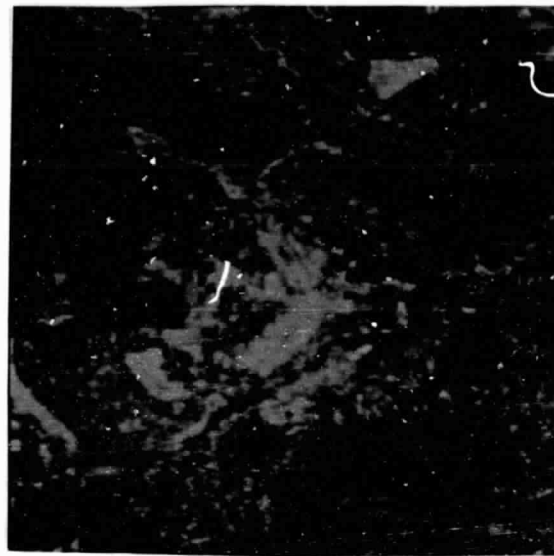
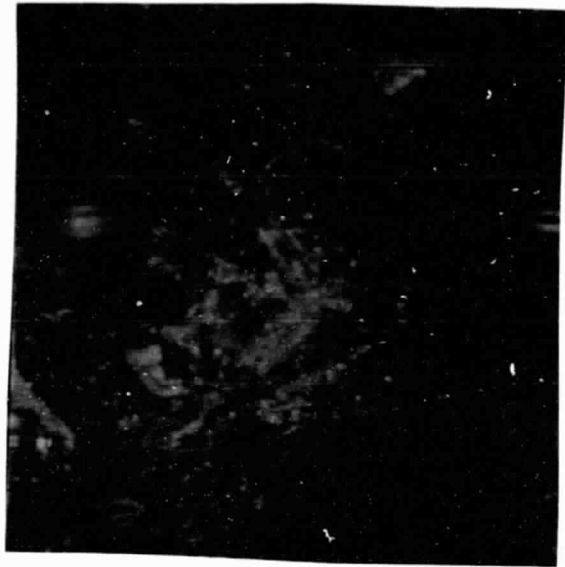


Fig. IV.1 - Imagens Original e Corrigida do Canal MSS 4 do LANDSAT,  
órbita/ponto (192/23), Brasília (21/06/74).

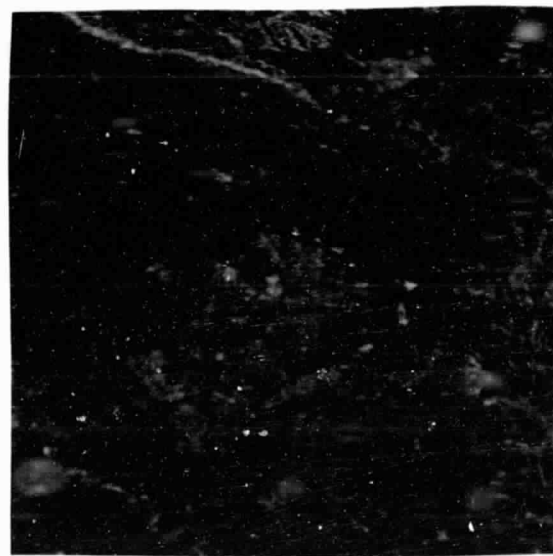
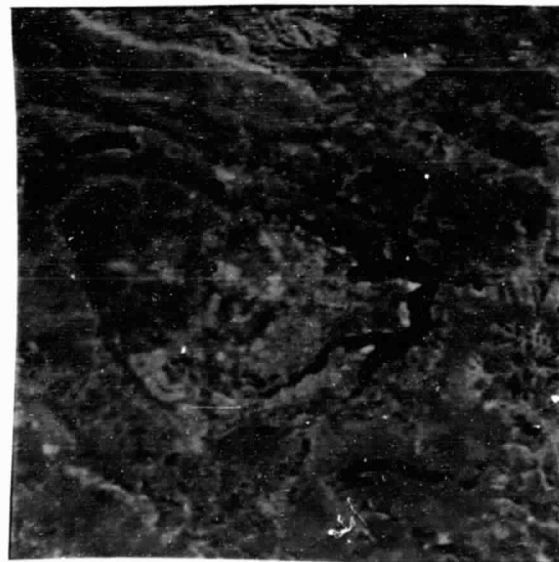


Fig. IV.2 - Imagens Original e Corrigida do Canal MSS 7 do LANDSAT,  
órbita/ponto (192/23), Brasília (21/06/74).

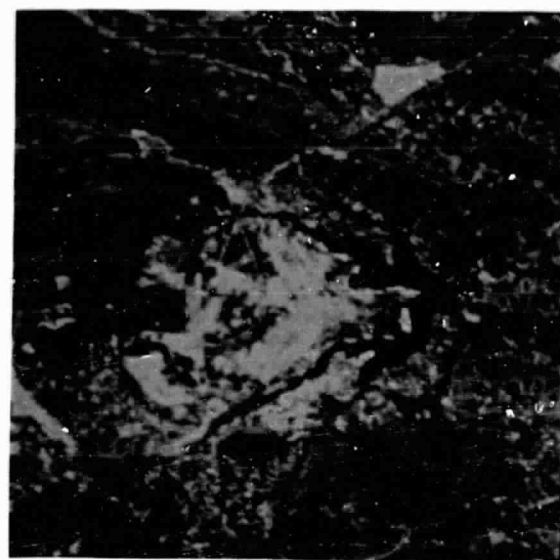
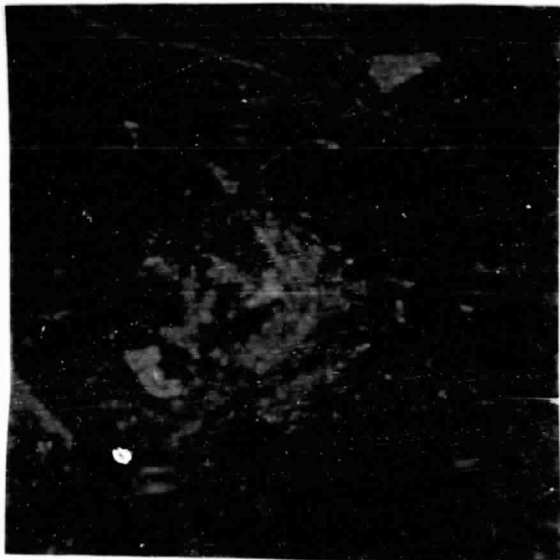


Fig. IV.3 - Imagens Original e Corrigida, Composição Colorida dos Canais  
MSS 4, 5 e 7 do LANDSAT, órbita/ponto (192/23), Brasília  
(21/06/74).

Note-se que certas áreas, como estradas e vegetações, apresentam maior contraste em texturas nas imagens corrigidas, aparecendo como configurações pouco definidas nas imagens originais.

Além disso, com a correção, a manipulação de imagens de várias datas torna-se viável, visto que os comportamentos espectrais dos alvos serão mais homogêneos de uma data para a outra mantendo a maior identidade entre suas características, em decorrência da redução dos efeitos atmosféricos. Consequentemente, a correção possibilita a transferência de comportamento espectral de uma imagem para outra com maior segurança do que as imagens originais, nas quais os efeitos atmosféricos estão presentes e acarretam comportamentos espectrais diferentes para datas distintas.

Na imagem de Brasília (LANDSAT, órbita/ponto (192/23), 21/06/74) não houve possibilidade de obter resultado quantitativo devido à ausência de apoio terrestre simultâneo ao sobrevôo.

No segundo objetivo, efetuando todos os passos necessários para a correção da imagem, tentou-se obter uma nova imagem da Baía de Guanabara, objetivando correção da imagem sobre o mar; entretanto, não se obteve resultado positivo porque, na imagem inicial, verificou-se que havia nuvens sobre a área, as quais saturavam a imagem corrigida, principalmente sobre a área continental e sobre as posições onde havia presença de nuvens, dificultando a interpretação.

Então, para obter resultado quantitativo, utilizou-se a região canavieira de Ribeirão Preto (01/07/1977), órbita/ponto (178/27). Na primeira tentativa, dos quatro canais MSS corrigidos do LANDSAT, foram eliminados os dois primeiros canais (4 e 5), em decorrência dos valores das radiações difusas computadas nestas faixas da região do espectro visível.

Neste caso, as radiações difusas foram superestimadas, tornando-se os maiores contribuintes na radiação total percebida pelos sensores MSS do satélite, e que consequentemente mascaram outras mais impõrtantes, isto é, as radiações refletidas pelos alvos imageados.

Isto talvez se deva ao fato de que se utilizou a radiosondagem de São Paulo para simular o perfil atmosférico da região de Ribeirão Preto, na ausência da radiossondagem local. Obtiveram-se com esse procedimento valores de transmitância muito baixos, subestimados, acarretando também baixos valores de radiações transmitidas.

Tais valores incoerentes devem-se provavelmente ao fato de que São Paulo é um grande centro industrial, tendo portanto maior concentração de aerosóis de poluentes e particulados, e ainda maior quantidade de umidade devido ao horário de lançamento de radiossondagem (8 horas e 25 minutos). Haja vista que, no diagrama adiabático, notou-se a presença de duas inversões térmicas, uma a nível de superfície, devido a resfriamento radiativo noturno e outra no nível de 700 milibares, devido ao sistema de alta pressão de grande escala dominante.

Então, para solucionar o problema, procurou-se uma radiosondagem continental mais próxima possível de Ribeirão Preto na mesma data de passagem. Só foi possível a de Brasília.

Repetiram-se todos os passos e obtiveram-se valores de radiações difusas menores do que os anteriores; mesmo assim, não se conseguiu realçar o canal MSS4. Isto porque a informação disponível sobre a cana de açúcar neste canal de imagem original é escassa. (Tabela IV.1). Para todas as fases de crescimento de cana de açúcar consideradas, no intervalo de níveis de cinza entre o superior e o inferior são encontrados apenas 2 ou 3 níveis de cinza. Portanto, imagina-se que ausência do canal MSS não afetará significativamente a classificação desse alvo da cena.

Finalmente, para comparar ambas as imagens, original e corrigidas de uma mesma data, quanto ao aspecto quantitativo, tomou-se como referência uma área delimitada, totalmente coberta por fotografias aéreas, para servir de área teste para medir a precisão de avaliação da área canavieira, obtida com a interpretação automática da imagem original do LANDSAT e da imagem corrigida pelo programa ATA.

**TABELA IV. I**

CLASSIFICAÇÃO DAS DIFERENTES FASES DE CULTURA DA CANA (PROJETO  
ESTATÍSTICA AGRÍCOLA DO DEPARTAMENTO DE SENSORIAMENTO REMOTO-INPE)

	Padrão 1	Padrão 3	Padrão 4	Padrão 5
Canal MSS	4	5	6	7
Nível de Cinza	4	6	7	7
Nível Inferior	7	22	19	8
Nível Superior	9	10	31	28
10	11	29	30	10
11	11	28	27	11
11	11	28	27	11
18	21	21	21	18

Na fotografia aérea obteve-se uma classificação de cana de açúcar elaborada pelos pesquisadores do Projeto "Estatísticas Agrícolas" (EAGRI), do Departamento de Sensoriamento Remoto (DSR), do Instituto de Pesquisas Espaciais (INPE). E, para o cômputo desta área, utilizou-se uma malha de pontos equidistantes de 1,0 mm, obtendo, assim, uma área correspondente de 106,03 km<sup>2</sup> de cana de açúcar numa área total delimitada de 197,21 km<sup>2</sup> da fotografia aérea.

Os resultados comparativos da avaliação de cana de açúcar entre as imagens e as fotografias aéreas são mostrados na Tabela IV.2.

Em relação às fotografias aéreas, que são consideradas como sendo verdade absoluta, obteve-se com a imagem original do LANDSAT a classificação de 68% da área correspondente à cana enquanto que utilizando-se a imagem corrigida obteve-se 77%, também em relação às fotografias aéreas. Devido à dificuldade operacional do IMAGE-100, não se conseguiu delimitar a mesma área total nas imagens do LANDSAT, mas obteve-se uma área total, quase similar, de 180,33 km<sup>2</sup>. Isto corresponde a um erro de 8,5% na determinação da área total das imagens do LANDSAT utilizando o atual sistema operacional do IMAGE-100. Obviamente, as percentagens de classificações de cana mencionadas seriam maiores para ambas as imagens se as áreas totais, isto é, a da fotografia aérea e a do LANDSAT, fossem iguais.

Analizando os "slides" das imagens obtidas por equipamento DICOMED (sistema fotográfico do IMAGE-100 que transfere os sinais correspondentes dos pixels diretamente da memória para o material fotográfico), verificou-se que existe uma distinção radical na classificação de cana de açúcar entre a imagem original e a corrigida. No primeiro, notou-se que são classificadas aquelas canas que são fortemente iluminadas. Logo, para a imagem original existe uma tendência de classificar alvos mais iluminados do que na corrigida, e nesta foram classificadas aquelas canas menos iluminadas.

TABELA IV.2

ÁREAS COMPARATIVAS DA AVALIAÇÃO DE CANA DE AÇOCAR ENTRE AS FOTOGRAFIAS AÉREAS, A IMAGEM ORIGINAL E A IMAGEM CORRIGIDA DO LANDSAT

MATERIAL DE CLASSIFICAÇÃO	ÁREA TOTAL DELIMITADA (km <sup>2</sup> )	ÁREA CANAVIEIRA RECONHECIDA (km <sup>2</sup> )	DIFERENÇA RELATIVA (%)
Fotografia aérea	197,21	106,03	
Imagen original	180,33	72,23	68,1
Imagen corrigida	180,33	81,98	77,3

Para avaliar as precisões de classificações de ambas as imagens, ampliou-se o "slide" que contém as duas imagens, simultaneamente, com um projetor KODAK até atingir o tamanho da foto aérea e fez-se a comparação.

Nesta comparação, observou-se que certas áreas que não correspondiam à cana foram classificadas como áreas canavieiras. Isto aconteceu devido ao fato que certos alvos têm refletância espectral semelhante à da cana, sendo portanto, uma deficiência do sistema em si. Esta ocorrência implica redução da área real correspondente à cana; porém, como este fato ocorre em ambas as imagens, original e corrigida, acredita-se que os resultados relativos, isto é, a comparação entre as imagens original e corrigida, não sejam alterados significativamente.

Portanto, para a imagem corrigida, no cômputo final de áreas, teve-se um acréscimo de cerca de 10% da área canavieira classificada.

Porém, uma conclusão quantitativa mais segura, expressa em termos numéricos, somente pode ser obtida com um experimento bem mais elaborado e controlado, a partir dos princípios estabelecidos para este método de correção atmosférica para imagens MSS dos satélites da série LANDSAT.

## CAPÍTULO V

### CONCLUSÕES

Demonstrou-se, aqui, que o presente método de aplicação da equação de transferência radiativa nas correções dos efeitos atmosféricos nas imagens, produz resultados relevantes.

Pelos resultados alcançados, observa-se um aspecto visual melhor e um aumento quantitativo no reconhecimento dos alvos; no caso típico estudado, a região canavieira de Ribeirão Preto, obteve-se um acréscimo aproximado de 10% na área corretamente classificada como cana de açúcar.

Os cálculos têm sido coerentes, embora nas faixas de comprimento de onda menor ( $0,5 - 0,6 \mu\text{m}$  e  $0,6 - 0,7 \mu\text{m}$ ), a concordância seja menor (Sharma, 1976). Isto em decorrência do espalhamento atmosférico ser maior nessas faixas, como também a resposta dos alvos, principalmente a vegetação, ser menor nessa faixa do visível do que nas faixas do infravermelho próximo. As análises mostram que as incertezas no conhecimento exato dos valores dos parâmetros ambientais, utilizados como entrada no presente método, podem resultar em erros sistemáticos nos cálculos. Portanto, devem-se tomar precauções nas especificações dos parâmetros sobre os quais o método está baseado.

Alguns aspectos podem ser implementados, tais como:

- a) Absorção pelos aerosóis, usualmente dispensável na região espectral visível, mas na região do infravermelho próximo pode ter alguma importância;
- b) aproximação da superfície como lambertiana, comum, porém existem muitos casos em que a suposição é falha;
- c) formulação bi ou tridimensional para o método, na correção da imagem devido à presença das nuvens que alteram a radiação proveniente dos alvos;

- d) descrições mais exatas das condições atmosféricas locais, com dados medidos simultaneamente com a obtenção das imagens;
- e) utilização de um programa classificador automático SISTEMA MAXVER (classificador Gaussiano por Máxima Similaridade) mais sofisticado do que SINGLE-CELL, no IMAGE-100.

A inclusão dos refinamentos acima mencionados poderá proporcionar um método de correção atmosférica para transferência radiativa mais sofisticado e um sistema operacional de correção atmosférica com condições adequadas, produzindo melhores resultados em função da realidade terrestre.

Porém, nunca deixará de existir o problema intrínseco do sistema: a semelhança espectral de alvos, que sempre limitará os resultados alcançados, por mais sofisticados que sejam os modelos de transferencia radiativa.

AGRADECIMENTOS

Aqui expresso meus agradecimentos ao Dr. Nelson de Jesus Parada, Diretor do INPE, pela oportunidade de realização deste trabalho;

Ao Dr. Luiz Gylvan Meira Filho, Coordenador do Departamento de Meteorologia do INPE, pelo apoio;

Ao Dr. Luiz Carlos Baldicero Molion, pela dedicação e orientação e ao Dr. Ravindra Kumar pelas sugestões e co-orientação.

Aos colegas do INPE responsáveis pela operação do computador BURROUGHS-6700 e do analisador multiespectral IMAGE-100 pelos processamentos e "formatações" das imagens e ao Sr. Juan J.V. Bentancurt pelo trabalho ligado à interpretação de imagem do LANDSAT, sem os quais este trabalho não se concretizaria.

A srta. Maria Natividade R. Pimont pelos trabalhos de datilografia.

E, em particular aos meus familiares pelo apoio incessante durante toda minha carreira estudantil.

BIBLIOGRAFIA

ALTSHULER, T.L. *Infrared transmission and background radiation by clear atmospheres*. Michigan, 1961. (G.E. Report 61 SD)

ANDING, D.C.; WALKER, J.; ROSE, H.M. A computer programme to calculate atmospheric effects on infrared wavelength radiation. In: *International symposium on remote sensing*, 7. Ann Arbor, Mich., 1971. Proceedings V. 2, p. 1777 - 1798.

\_\_\_\_\_; KAUTH, R.; TURNER, R. *Atmospheric effects on infrared multispectral sensing of sea-surface temperature from space*. NASA, 1971. (NASA CR-1858).

BARBOSA, M.N.; TAVARES, L.P.; PINHEIROS, E.S. *Manual do usuário de dados de satélite ERTS(LANDSAT)*. São José dos Campos, INPE, Julho, 1975. (INPE-688-NTE/009).

BATISTA, G.T.; MENDONÇA, F.J.; LEE, D.C.L.; TARDIN, A.T.; CHEN, S.C.; NOVAES, R.A. *Uso de dados orbitais para identificação de áreas de cana de açúcar*. São José dos Campos, INPE, Abril, 1978. (INPE-1228-NTE/116).

\_\_\_\_\_; \_\_\_\_\_; \_\_\_\_\_; \_\_\_\_\_; \_\_\_\_\_. *Uso de sensores remotos a bordo de satélite e aeronaves na identificação e avaliação de áreas de culturas para fins de previsão de safras*. São José dos Campos, INPE, Abril, 1978. (INPE-1229-NTI/103).

CAVALCANTI, L.A. *Correção radiométrica dos dados enviados pelo sistema MSS do satélite ERTS*. São José dos Campos, INPE, dezembro, 1975. (INPE-786-NTI/039).

CHANDRASEKHAR, S. *Radiative transfer* N.Y., Dover, 1960.

CONDIT, H.R. *The spectral reflectance of American soils*. *Photogrammetric Engineering*, 36: 955, 1970.

DEIRMENDJIAN, D. *Eletromagnetic scattering on spherical radiation*. N.Y., Elsevier, 1979.

DRUMMOND, R.R. *Digest of NASA Earth observation sensors*. NASA, 1972  
(x-733-72-464).

ELTERMAN, L. *Atmospheric attenuation model, 1964, in the ultraviolet, visible and infrared regions for altitudes to 50 Km.* Hascom AFB, Air Force Geophysics Laboratories, Mass., 1964. (Environmental Research Papers n° 46).

FARROW, J.B. *The influence of the atmosphere on remote sensing measurements, ultraviolet, visible and infrared regions.* Stevenage, U.K., ESA(ESRO), 1975 (CR-354).

GRATES, D.M. *Heat, radiant and sensible* Boston, Mass., 1965.  
*Meteorological Monographs* V. 6, n° 28, p. 4-21.

GOODY, R.M. *Atmospheric radiation.* Oxford, Clarendon Press, 1964.

HERRING, W.S.; BORDEN, T.R. *Ozone observations over North America.* Hascon AFB, Air Force Cambridge Research Laboratories, 1964, p. 75 (AFCRL-64-30).

JUNGE, C.E. *Air chemistry and radioactivity.* London, Academic, 1963.

KONDRATYEV, K.Y. *Radiation in the atmosphere.* London, Academic, 1969.

LaROCCA, A. *Methods of calculating atmospheric transmittance and radiance in the infrared.* *Proceedings of IEEE*, 63(1):75-128, 1975.

\_\_\_\_\_; TURNER, R. *Methods of calculating atmospheric transmittance and radiance.* Ann Arbor, Mich., IRIA, Jun 1975. (N00014-74-C-0285).

LIST, R.J. *Smithsonian meteorological tables.* Washington, Smithsonian Institute Press, 1968.

McCLATCHY, R.A.; FENN, R.W.; SELBY, F.E.A.; VOLZ, F.E.; GARING, J.S. *Optical properties of the atmosphere.* Hascon AFB, Air Force Cambridge Research Laboratories, 1972 (AFCRL-411).

Paltrige, G.W.; PLATT, C.M.R. Terminology, basic laws and standarts. In: *Radiative processes in meteorology and climatology*. Amsterdam, Elsevier, 1976. Cap. 2.

—; — Radiative transfer. In: *Radiative processes in meteorology*. Amsterdam, Elsevier, 1976. Cap. 4.

PENNDRORF, R. Research on aerosol scattering in the infrared. Hascom AFB, AFCRL, 1961. (Scientific Report, n°95).

ROBINSON, N. *Solar Radiation*. N.Y., Elsevier, 1966.

SELBY, J.E.A.; McCLATCHY, R.A. Atmosphere transmittance from 0,25 to 28,5  $\mu\text{m}$  : computer code LOWTRAN - 3. Hascom AFB, AFCRL, 1975. (Environmental research papers n° 513, TR-75-0255).

—; SHETTLE, E.P.; McCLATCHY, R.A. Atmospheric transmittance from 0,25 to 28,5  $\mu\text{m}$  : supplement LOWTRAN 3B(1976). Hascom AFB, Air Force Geophysics Laboratories, 1976 (AFGE-TR-76-02586).

SHARMA, R.D. Enhancement of earth resources technology satellite (ERTS) and aircraft imager using atmospheric corrections. In: *International symposium on remote sensing*, 10., ann arbor, Mich., 1976. Proceedings V.1, p. 137-151.

STRATTON, J.A. *Electromagnetic theory*. N.Y., McGraw.Hill, 1941.

SUITS, G.H.; SAFIR, G.R. Verification of a reflectance model for nature corn with applications to corn blight detection. *Remote Sensing of Environment*, 2 (3): 183, 1972.

TURNER, R.E.; MANILA, W.A.; NALEPRA, R.F. Importance of atmospheric scattering in remote sensing. In: *International symposium on remote sensing of environment*, 7., Ann Arbor, Mich., 1971 Proceedings V. 3, p. 1651-1677.

—; SPENCER, M.M. Atmospheric for correction of spacecraft data. In: *International symposium on remote sensing of environment*, 8, Ann Arbor, Micg, 1972 Proceedings V. 1, p. 895-934.

VON DE HULST, H.C. *Ligth scattering by small particles.* N.Y.,  
Willey, 1957.

WEZERNAK, C.T.; TURNER, R.E. *Spectral reflectance and radiance  
characteristics of water pollutants.* Ann Arbor, Mich., 1976.  
(NASA-CR-2665).

APÊNDICE A

DETERMINAÇÃO DA FUNÇÃO FASE DE ESPALHAMENTO

Considerando a teoria de espalhamento da radiação eletromagnética pelas esferas dieletricas homogeneas, isto é, espalhamento de Mie, obtém-se os parâmetros necessários.

A expressão analítica, que é função do comprimento de onda, parâmetro do tamanho e índice de refração das partículas, define-se por

$$p(\cos x) = \frac{1}{2\pi x^2 Q_s(m, x)} \cdot (|S_1|^2 + |S_2|^2) \quad A.1$$

onde

$Q_s(m, x)$  = fator de eficiência de espalhamento

$m$  = índice de refração

$x$  = parâmetro do tamanho

$r$  = raio da partícula

$\lambda$  = comprimento de onda

$S_1, S_2$  = amplitudes do espalhamento

Os termos acima definidos são dados pelas seguintes relações:

$$\pi r^2 Q_s(m, x) = r_s(m, x) = \frac{\lambda^2}{2\pi} \sum_{\ell=1}^{\infty} (2\ell+1)(|a_{\ell}|^2 + |b_{\ell}|^2) \quad A.2$$

$$m = m_1 - im_2 \quad A.3$$

$$S_1 = \sum_{\ell=1}^{\infty} \frac{2\ell + 1}{\ell(\ell + 1)} |a_{\ell} \Pi_{\ell} + b_{\ell} \tau_{\ell}| \quad A.4$$

$$S_2 = \sum_{\ell=1}^{\infty} \frac{2\ell + 1}{\ell(\ell + 1)} |a_{\ell} \tau_{\ell} + b_{\ell} \Pi_{\ell}| \quad A.5$$

$$x = \frac{2\pi r}{\lambda} \quad A.6$$

Nos trabalhos de Stratton (1941), Von de Hulst (1957) e Deirmenjian (1969) pode-se encontrar um tratamento mais rigoroso.

Na equação (A.2)  $a_{\ell}$  e  $b_{\ell}$  são coeficientes de Mie dados por

$$a_{\ell} = \frac{\psi_{\ell}'(mx) \psi_{\ell}(x) - m\psi_{\ell}(mx) \psi_{\ell}'(x)}{\psi_{\ell}'(mx) \zeta(x) - m\psi_{\ell}(x)} \quad A.7$$

$$b_{\ell} = \frac{m\psi_{\ell}'(mx) \psi_{\ell}(x) - \psi_{\ell}(mx) \psi_{\ell}'(x)}{m\psi_{\ell}'(mx) \zeta(x) - \psi_{\ell}(mx) \zeta'(x)} \quad A.8$$

onde  $\psi_{\ell}$  e  $\zeta_{\ell}$  são as funções Riccati-Bessel, e os apóstrofos indicam diferenciais em relação ao argumento da função. As funções  $\Pi_{\ell}$  e  $\tau_{\ell}$  são dadas por

$$\Pi_\ell(\cos x) = \frac{dP_\ell(\cos x)}{d(\cos x)} \quad A.9$$

$$\tau_\ell(\cos x) = \cos x \Pi_\ell(\cos x) - \sin x \frac{d|\Pi_\ell(\cos x)|}{d \cos x} \quad A.10$$

onde  $P_\ell(\cos x)$  é o polinômio de Legendre.

Determinaram-se os parâmetros acima e calculou-se a função fase de espalhamento para as partículas de aerosóis de raios compreendidos entre 0,1 e 5,0  $\mu\text{m}$  com índice de refração média de  $m_1 = 1,33$ .

A Figura A.1 mostra o resultado calculado, onde se verifica a distribuição angular da radiação espalhada pelos aerosóis, para diferentes comprimentos de ondas. Pode-se notar por comparação com a Figura A.2, que o espalhamento dos aerosóis é totalmente distinto do espalhamento Rayleigh.

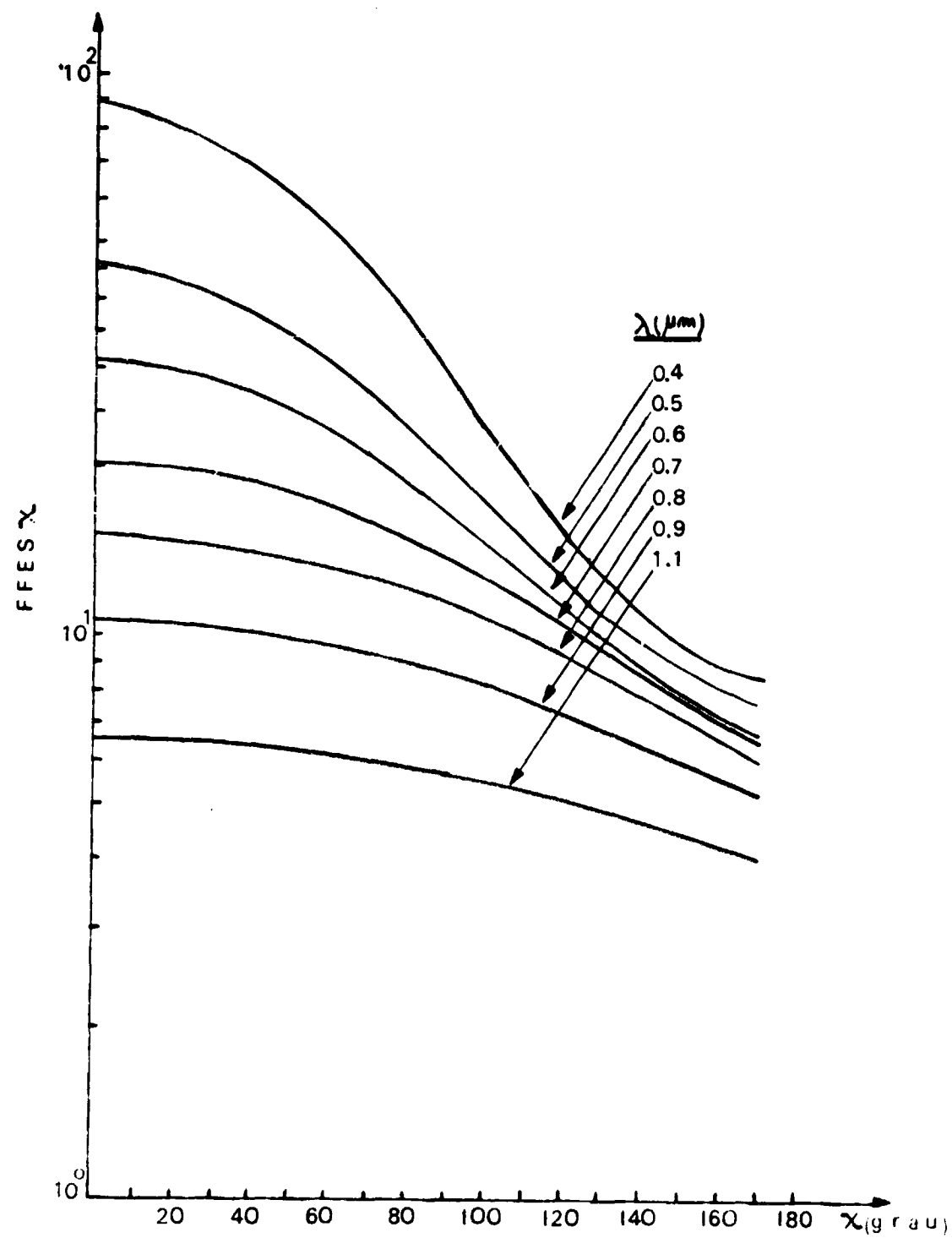


Fig. A.1 - Distribuição Angular da Radiação Espalhada pelos Aerossóis  
a vários Comprimentos de Ondas, obtida pela Sub-rotina  
do Programa ATA.

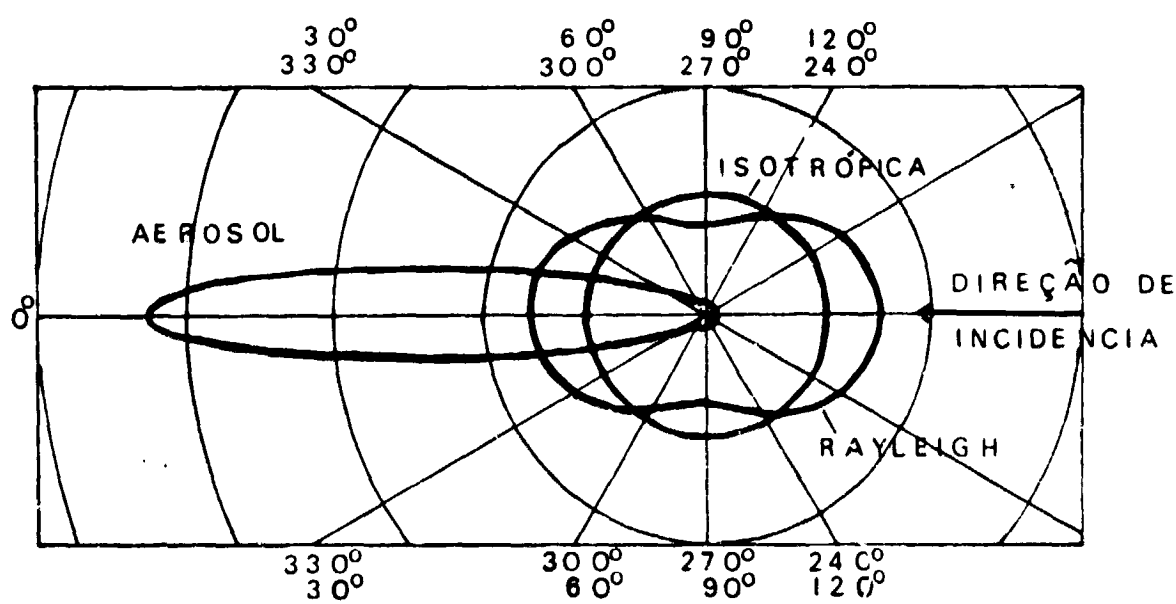


Fig. A.2 - Dependência Angular da Função Fase de Espalhamento  
(La Rocca, 1975).

APENDICE B

PROGRAMA LOWTRAN-3

```
COMMON Z(34),P(7,34),T(7,34),EH(10,34),H(7,34),NL,RE,CW,CD,PI
DIMENSTON W(7,34),H2(34),H22(6),AHAZ(34),AHZ2(34)
DIMENSTON TR(67),Fx(67),Fu(67),HZ(2),TX(10),VH(10),A(10),E(10)
DIMENSTON C1(2510),C2(1575),C3(540),CA(133),CS(15),CB(102)
DIMENSTON VX(45),C7(45),C7A(45)
F(1)=EXP(18.9735-14.9595*A-2.43882*A*A)*A
DATA HZ(1)/5423 KM/,HZ(2)/54 5 KM/
C*****PROGRAM LUHTRANS CALCULATES THE TRANSMITTANCE OF THE ATMOSPHERE
C FROM 250 CM-1 TO 40000 CM-1 (0.25 TO 25.57 MICRONS) AT 20 CM-1
C SPECTRAL RESOLUTION ON A LINEAR WAVENUMBER SCALE.
C REFRACTION AND EARTH CURVATURE EFFECTS ARE INCLUDED. ATMOSPHERE
C IS LAYERED IN 0.5 KM. INTERVALS BETWEEN 0 AND 25 KM., 5 KM. INTER-
C VALS TO 50 KM., A TWENTY KM. INTERVAL TO 70 KM., AND A THIRTY KM.
C INTERVAL TO 100 KM.
C*****PROGRAM ACTIVATED BY SUBROUTINE OF FOUR CARD SEQUENCE AS FOLLOWS
C
C CARD 1 MODEL,IAZ,ITYPE,LEN,JP,IM,H1,H2,H3,ML,RD  FORMAT(10I3,F10.3)
C CARD 2 H1,H2,ANGLE,RANGE,BETA,VIS           FORMAT(7F10.3)
C CARD 3 V1, V2, DV                         FORMAT(7F10.3)
C CARD 4 TXY                           FORMAT(13)
C
C MODEL=1,2,3,4,5 OR 6 SELECTS ONE OF THE FOLLOWING MODEL ATMOSPHERE
C TROPICAL, MIDLATITUDE SUMMER, MIDLATITUDE WINTER, SUBARCTIC SUMMER,
C SUBARCTIC WINTER, OR THE 1962 U.S. STANDARD RESPECTIVELY
C MODELED FOR HURITZ. PATH LENGTH METEOROL. DATA USED: INSTEAD OF CARD 2
C READ H1,P(CHM),T(DEG C),DEW PT,TEMP(DEG C),REL HUMIDITY,H20 DENSITY
C (GM,CM-3),O3 DENSITY(GM,CM-3),VIS(KM),RANGE(KM) WITH FORMAT 429.
C MODEL=7 WHEN NEW MODEL ATMOSPHERE(E.G. RADIOSONDE DATA) USED.
C DATA CARDS ARE READ IN BETWEEN CARDS 1 AND 2, AND SHOULD CONTAIN:
C ALTITUDE(KM),PRESSURE,TEMP,DEW PT,TEMP,REL. HUMIDITY,H20 DENSITY,
C O3 DENSITY,AEROSOL NO. DENSITY(CM-3) ACCORDING TO FORMAT 429.
C NOTE THAT EITHER DEW PT, TEMP, OR REL. HUMIDITY CAN BE USED.
C
C H1,H2,H3, ARE USED TO CHANGE TEMP,H20, AND O3 ALTITUDE PROFILES.
C
C IF IAZ=0 NO AEROSOL SCATTERING IS COMPUTED
C IAZ=1 IF AEROSOL ATTENUATION REQUIRED (THIS IS USED IN
C CONJUNCTION WITH VISUAL RANGE(SEE CARD 2))
C IF ITYPE = 1 OR 2 ALSO GIVE AEROSOL ATTENUATION FOR 23KM AND 5KM VIS.
C HAZL, HAZU RESPECTIVELY IF VIS = 0 ON CARD 2
C
C ITYPE=1,2, OR 3 INDICATES THE TYPE OF ATMOSPHERIC PATH
C ITYPE=3,VERTICAL OR SLANT PATH TO SPACE
C ITYPE=2,VERTICAL OR SLANT PATH BETWEEN TWO ALTITUDES
C ITYPE=1, CORRESPONDS TO A HORIZONTAL (CONSTANT PRESSURE) PATH
C
C H1=DETERMINED ALTITUDE (KM)
C H2=DETERMINED ALTITUDE (KM)
C ANGLE= SIGHT ANGLE AT H1 (DEGREES)
C RANGE=PATH LENGTH (KM)
C BETA=INCL. SIGHT ANGLE
C VIS = VISUAL RANGE AT SEA LEVEL (KM)
C (IF ITYPE=1 READ H1 AND R; IF ITYPE=3 READ H1 AND ANGLE.
```



```
H2=X2-RE
GO TO 7
CONTINUE
4 IF(ML,LE,0)ML=1
DO 540 K=1*ML
AHAZE(K)=0.0
IF(M,LE,0)READ 429+41,P(7+1),TMP,DP,RH,WH(7+K),W0(7+K),VIS,RANGE
IF(M,LE,0)PRINT 430,H1,P(7+1),TMP,DP,RH,WH(7+K),W0(7+K),VIS,RANGE
IF(M,GT,0)READ 429+Z(K),P(7+K),TMP,DP,RH,WH(7+K),W0(7+K),AHAZE(K)
J=IFI<(Z(K)+1.0E-6)+1.
IF(M,LE,0)Z(K)=H1
IF(Z(<),GE,25.0) J=(Z(K)-25.0)/5.0+26.
IF(Z(<),GE,50.0) J=(Z(K)-50.0)/20.0+31.
IF(Z(<),GE,70.0) J=(Z(K)-70.0)/20.0+32.
IF(J,GT,33) J=33
FAC=Z(K)-FLNAT(J-1)
IF(J,LT,26) GO TO 500
FAC=(Z(K)-5.0*FLNAT(J-26)-25.0)/5.
IF(J,GE,31) FAC=(Z(K)-50.0)/20.
IF(J,GE,32) FAC=(Z(K)-70.0)/20.!
IF(FAC,GT,1.0) FAC=1.0
500 L=J+1
T(7+K)=T(MH+273.15
IF(M1,LT,0)T(7+K)=T(M1+J)*(T(M1+L)/T(M1+J))**FAC
TT=273.15/T(7+K)
IF(RH,LE,0.0) TT=273.15/(273.15+DP)
IF(WH(7+K)-LF,0.0) WH(7+K)=F(TT)
IF(M2,GT,0)WH(7+K)=IFI(M2,J)*(WH(M2+L)/WH(M2+J))**FAC
IF(RH,GT,0.0) WH(7+K)=0.01*RH*WH(7+K)
IF(M3,GT,0)WH(7+K)=IFI(M3,J)*(WH(M3+L)/WH(M3+J))**FAC
IF(Z(<),GE,5.0)GO TO 520
IF(AHZ2E(K),EQ,0.0)AHZ2(K)=HZ2(J)*(HZ2(L)/HZ2(J))**FAC
520 IF(AHZ2E(K),EQ,0.0)AHZ2(K)=HZ1(J)*(HZ1(L)/HZ1(J))**FAC
IF(MODEL,EQ,0)GO TO 8
IF(K,EQ,1)PRINT 441
PRINT 429+Z(K),P(7+K),TMP,DP,RH,WH(7+K),W0(7+K),AHAZE(K)
540 CONTINUE
IM=0
NL=ML
M1=J
M2=0
M3=0
C NOTE THAT Z(T) MAY NOT CORRESPOND TO THE VALUES GIVEN FOR STANDARD
C MODEL ATMOSPHERES
GO TO 300
560 IF (RANGE,GT,0.0) GO TO 500
IF (H1,GT,0.0,A,B,H2,LT,H1) IFIND=1
GO TO 8
580 ITYPE=2
PETA=100.0*(0.5*(RANGE+RANGE/(X1*X2)-X2/X1-X1*X2))/CA
5 IF (PETA,EQ,0.0) GO TO 6
IFI=1
BET=0.1*PETA
X2=FE+H2
ANGLE=ATAN(X2*SIN(RET)/(X2*COS(RET)-X1))/CA
RANGE=X2*X1*SIN(RET)/STC(ANGLE*CA)
BET=0.1*PETA
GO TO 8
6 RANGE=1.0/(X1*X2+(SIN(ANGLE*CA))**2)
IF (PETA,LT,0.0) RET=X1*(SIN(ANGLE*CA)+HRS*(COS(ANGLE*CA)))
7 IF (A,LT,0.0) RET=HRS*(COS(ANGLE*CA)+1.0*(SIN(ANGLE*CA)*X2))
```

IF (ANGLE.LT.0.) ANGLE=ANGLE+PI  
 IF (RANGE.LT.0.0) RANGE=-RANGE  
 BET=BETA/CA  
 PRINT 426, H1+H2+ANGLE+RANGE+BET+VIS  
 CONTINUE  
 SUMA=0.  
 IF (IXY.LE.2) READ 406,V1,V2,DV  
 IF (IXY.LE.2) PRINT 406,V1,V2,DV  
 IF (ITYPE.EQ.1) PRINT 407, H1+RANGE  
 IF (ITYPE.EQ.2) PRINT 408, H1+H2+ANGLE  
 IF (ITYPE.EQ.3) PRINT 409, H1+ANGLE  
 IF (CHDEL.EQ.0) M=7  
 IF (VIS.GT.0.0) PRINT 417+VIS  
 IF (VIS.LT.2.0.AND.VIS.GT.0.0) PRINT 442  
 IF (M.EQ.1) PRINT 410, M  
 IF (M.EQ.2) PRINT 411, M  
 IF (M.EQ.3) PRINT 412, M  
 IF (M.EQ.4) PRINT 413, M  
 IF (M.EQ.5) PRINT 415, M  
 IF (M.EQ.6) PRINT 414, M  
 IF (IAZEF.EQ.0.) PRINT 426  
 IF (HE.EQ.0.AND.IHAZE.GT.0) PRINT 416, IHAZE+HZ(IHAZE)  
 AVW=10000./V1  
 ALAH=10000./V2  
 PRINT 418, V1+V2+DV+ALAH+AVW  
 AVW=0.5E-4\*(V1+V2)  
 AVW=AVW\*AVW  
 CW=77.46+.459\*AVW  
 CH=43.887-0.3473\*AVW  
 IF (IFIND.EQ.1) GO TO 15  
 IF (IFIND.EQ.1) CALL ANGUL (H1,H2,ANGLE+BETA+LEN+ML)  
 IFIND=0  
 IF (JP1.EQ.0) PRINT 427  
 IF (ITYPE.EQ.1) GO TO 10  
 DO 11 K=1,10  
 VHK(K)=0.0  
 CONTINUE  
 BETA=0.0  
 SH=0.1  
 IP=0  
 C\*\*\* NO. 1: FINE CONSTANT PRESSURE PATH QUANTITES EH(1-3)  
 Y=CA+ANGLE  
 SPHI=SPHT(Y)  
 R1=(R0+H1)\*SPHI  
 IF (H1.LT.Z(NL)) GO TO 13  
 GO TO 15  
 X=(FZ(NL))/ (R0+H1)  
 IF (SPHI.LT.X) GO TO 14  
 H1=Z(L)  
 J1=L  
 SPHI=SPHT/X  
 ANGLE=180.0-ASIN(SPHT)/CA  
 R1=(R0+H1)\*SPHI  
 GO TO 10  
 14 HFT=174t  
 PRINT 403, HFT  
 GO TO 10  
 GO TO 17, T=1.74  
 PSE=1.027115  
 TSE=174.15/T(1.1)  
 IF (T1,LT,-1.450,LT,7) T2=273.15/T(1.1)

ORIGINAL PAGE IS  
OF POOR QUALITY

```
X=PS+TS
PT=PS+SQRT(TS)
D=0.1*WH(M+I)
IF(M2.GT.0.AND.M.LT.7) D=0.1*WH(M2+I)
EH(1,I)=D*PT+0.9
EH(2,I)=X*PT+0.75
EH(4,I)=0.8*PT*X
PPW=4.50E-5*D*273.15/TS
EH(5,I)=(PPW+0.005*(PS-PPW))/D
EH(6,I)=X
HAZE=HZ1(I)
IF(M.EQ.7) HAZE=AHAZE(I)
IF(Z(I).GE.5.0) GO TO 150
IF(M.EQ.7.AND.IHAZE.EQ.2) HAZE=HZ2(I)
IF(IHAZE.EQ.2.AND.M.EQ.7) HAZE=AHZ2(I)
IF(VTS.LT.0.0) GO TO 150
IF(M.EQ.7) HAZE= 6.349*((HZ2(I)-HZ1(I))/VIS+HZ1(I)/5.0-HZ2(I)/23.0)
IF(M.NE.7) GO TO 150
HAZE=-.389*((AHZ2(I)-AHAZE(I))/VIS+AHAZE(I)/5.0-AHZ2(I)/23.0)
150 IF(HAZE.LT.0.0) HAZE=0.0
EH(7,I)=3.5336E-4*HAZE
IF(M0FL.EQ.7) EH(7,I)=HAZE/AHAZE(I)
EH(8,I)=46.6667*WH(M+I)
IF(M3.GT.0.AND.M.LT.7) EH(8,I)=46.6667*WH(M3+I)
EH(9,I)=EH(8,I)*PT**0.4
EH(9,I)=1.0
EH(10,I)=1.0E-5*(CD*X*1013.0/273.15-PPW*CW)
IF(I.EQ.NL) GO TO 16
IF(M0FL.EQ.0.AND.I.GE.1) GO TO 26
T2=T(I+1)
W2=WH(M+I+1)
IF(M1.GT.0) T2=T(I+I+1)
IF(M2.GT.0) W2=WH(M2,I+1)
PPW=4.50E-5*W2*T2
EH(9,I)=0.5*EH(10,I)+1.0E-6*(CD*PT(M,I+1)/T2-PPW*CW)
16 IF(I.EQ.NL) EH(9,I)=0.
IF(M1.GE.Z(I)) J1=I
IF(I.EQ.I1.EQ.0.0F.JP.EQ.0) PRINT 434, I+2,I,(EH(K,I)*K=1*10)
EH(9,I)=EH(9,I)+1.0
17 CONTINUE
170 IF(I.EQ.I1.EQ.0) GO TO 9
IP=-1
IK=0
X1=H1
CALL POINT (H1+YH,I,EP1+TX*IP)
J1=N
TX1=TX(N)
DO 18 I=1,N
18 F(K)=TX(I)
IF(I.EQ.YH,EQ.1) GO TO 20
IF(I.EQ.YH,EQ.3) H2=Z(NL)
IF(I.EQ.NL,EQ.1,NL) GO TO 28
19 IF(I.EQ.NL,EQ.3,NL) GO TO 28
J1=J1+1
J2=I
IF(I.EQ.YH,EQ.1) GO TO 20
CALL POINT (H1+YH,I,EP1+TX*IP)
J2=I
IF(I.EQ.NL,EQ.1) GO TO 20
20 DO 21 I=1,N
EH(I,I)=F(I)
IF(I.EQ.YH,EQ.1) GO TO 21
```

```
      EH(K,J2+1)=TX(K)
21  CONTINUE
      IF (J1,EG,J2) TX1=TX1+YN=EH(9+J1)
C*** NOW DEFINE VERTICAL PATH QUANTITIES VH(1-8)
      IF (J2,EG,0) PRINT 420
      DO 25 I=J1+J2
      X1=Z(I)
      X2=Z(I+1)
      IF (I,EG,J1) X1=H1
      IF (I,EG,J2) X2=H2
      DZ=X2-Y1
      IF (I,EG,NL) DZ=Z(I)-Z(I-1)
      DS=DZ
      C*** DRAW TRAJECTORY
      RX=(RE+X1)/(RE+X2)
      THETA=ASIN(SPHI)/CA
      PHI=ASIN(SPHI+RX)/CA
      BET=THETA-PHI
      SALP=DX*SPHI
      IF (SPHI,GT,1.E-10) DS=(RE+X2)*SIN(BET*CA)/SPHI
      RETA=RETA+RET
      PSI=RETA+PHI-ANGLE
      PHI=180.-PHI
      SR=SR+DS
      DO 24 K=1,8
      EV=DS*EH(K+I)
      IF (I,EG,NL) GO TO 22
      IF (EH(K+I),EQ,0.0,0R,0.0,0) GO TO 23
      IF (EH(K+I),EQ,0.0,0R,0.0,0) GO TO 24
      EV=DS*(EH(K+I)-EH(K+I+1))/ALOG(EH(K+I)/EH(K+I+1))
      GO TO 24
22  IF (EH(K+I),EQ,0.0) GO TO 23
      IF (EH(K+I-1),EQ,0.0) GO TO 23
      IF (EH(K+I),EQ,EH(K+I-1)) GO TO 24
      EV=EV/ALOG(EH(K+I-1)/EH(K+I))
      GO TO 24
23  EV=0.
24  VH(K)=VH(K)+EV
      IF (J2,EG,0) PRINT 435, I,X1,(VH(L),L=1,8),PSI,PHI,BETA,THETA,SR
      IF (I,GE,4L) GO TO 25
      IF (I+1,EG,J2) EH(I+1)=YN
      IF (I,EG,J1) EH(9+I)=TX1
      RN=EH(9+I+1)/EH(9+I)
      SPHI=SALP*RX/RN
      IF (SALP,GE,RN) SPHI=SALP
25  CONTINUE
      GO TO 47
C*** HORIZONTAL PATH
26  DO 27 K=1,8
      W(K)=0.0*EH(K+1)
      IF (CH1,EG,0) W(K)=(ANGLE*TX(K))
27  CONTINUE
28  CONTINUE
C*** DRAW HORIZONTAL TRAJECTORY
      K2=0
      IF (CH1,EG,1) J1=J1-1
      J2=J1+1
      YN1=Y
      J=J1+
      IF (CH1,GT,7,(J1+1),12,41,EG,42) GO TO 30
```

```
IF (N>1,EQ.1,AND,H2,GE,Z(J1+1)) GO TO 30
CALL POINT (H2+YN+N+NP2+TX+IP)
DO 29 K=1,8
29  W(K)=TX(K)
TX2=TX(7)
YN2=YN1
IF (H2,LT,H1) H=H2
J2=N
IF (J1,EQ,J2) TX2=TX1+YN2-EH(9-N)
IF (H2,GT,H1) TX1=TX2
IF (J1,EQ,J2,AND,H2,LT,H1) YN1=TX2
30  A0=(RE+H1)*SPH1*YN1
IF (H2,GE,H1) YN2=YN1
DO 31 T=1,J1
HMIN=A0/EH(7-I)-RE
IF (I,EQ,I-1) HMIN=A0/YN1-RE
JMIN=I
IF (H>YN,LE,7(I+1)) GO TO 32
31  CONTINUE
32  X=HMIN
IF (HMIN,LE,0) GO TO 34
CALL POINT (X+YN+N+NP+TX+IP)
JMIN=1
TX3=1(E9)
IF (TX3,LT,0.0) TX3=TX(9)
IF (TX3,LT,0.0) TX3=TX(9)
IF (J1,EQ,N,AND,H2,GE,H1) GO TO 33
HMIN=10/TX3-RE
IF (A8S(X-HMIN),GT,0.0001) GO TO 32
33  IF (J1,EQ,N,AND,H2,GE,H1) YN1=TX3
IF (J2,EQ,N,AND,J1,NE,J2) YN2=TX3
IF (H2,GE,H1) TX2=TX3
IF (H2,GE,H1) J2=N
IF (H2,GE,H1,OR,H2,LT,HMIN) H=HMIN
IF (H2,LT,HMIN) J2=N
IF (H2,LT,T) PRINT 440, HMIN
GO TO 35
34  PRINT 436, HMIN
IF (H2,LT,0) GO TO 35
IF (ITYPE,EQ,3,OR,H2,GE,H1) PRINT 437
ITYPE=2
TX2=E4(9+1)
JMIN=1
J2=1
H2=0.0
H=0.0
C*** NON REFINE VERTICAL PATH QUANTITIES VH(1-8)
35  IF (J2,EQ,0) PRINT 420
DO 40 I=1,NL
J=J+1
REF=E4(2,J)
IF (I,EQ,1) REF=YN1
IF (I,EQ,1,AND,1,LT,2,LT,1) REF=YN2
IF (J,EQ,J2,AND,1,LT,2,LT,0) REF=TX2
IF (I,LT,1) Y1=Z(J+1)
X2=Z(1)
IF (J,LT,J2,AND,1,LT,2,LT,0) A2=H
IF (J,LT,J2+1,LT,2,LT,1) A2=HMIN
HM=(H+1)*SPH1*REF
IF (H>1,T,Z(J),4,NL,HH,01,1,A2) A2=HM
RA=(H+1)/(REF+1)
```

```
DS=X1-X2
ALP=90.0
THET=ASIN(SPHI)/CA
SALP=X*SPHI
IF (ABS(X2-HM).GT.1.0E-5) ALP=ASIN(SALP)/CA
BET=ALP-THET
IF (SPHI.GT.1.0E-10) DS=(NE+X2)*SIN(BET*CA)/SPHI
THETA=180.0-THET
BETA=BETA+BET
PSI=BETA-ALP-ANGLE+180.0
SR=SF+DS
DO 39 K=1,8
AJ=EH(K+J)
BJ=EH(K+J+1)
IF (J,EQ,J1) BJ=E(K)
IF (J,EG,J2,AND,H2,LT,H1,AND,H2,GT,0.0) AJ=H(K)
IF (J,EG,JMIN,AND,H2,GE,H1) AJ=TX(K)
IF (J,EG,JMIN,AND,ABS(H2-HM),LT,1.0E-5) AJ=TX(K)
IF (K2,EG,0) GO TO 36
IF (J,EG,J2) BJ=K(K)
IF (J,EG,JMIN) AJ=TX(K)
36 IF (AJ,EG,0.0,CH,BJ,EG,0.0,U) GU TO 36
IF (AJ,EG,BJ) GU TO 37
EV=DS*(AJ-BJ)/ALOG(AJ/BJ)
GO TO 39
37 EV=DS*AJ
GO TO 39
38 EV=0.
39 VH(K)=VH(K)+EV
IF (J,PE,0.0) PRINT 435, J,X1,(VH(L),L=1,8),PSI,ALP,BETA,THETA,SR
IF (J,EG,J2,AND,H2,GE,H1) GO TO 45
IF (J,EG,JMIN,AND,K2,EG,1) GO TO 43
IF (J,EG,1) PN=REF/ER(9,J-1)
IF (J,EG,J2+1) RN=REF/TX2
IF (J,EG,J2,AND,K2,EG,0) RN=REF/YN2
IF (J,EG,(JMIN+1),AND,K2,EG,1) RN=REF/TX3
IF (SLF,GE,PN) PN=1.0
SPHI=ALP,RN
IF (J,EG,J2,AND,K2,EG,0) GO TO 41
CONTINUE
41 IF (H,TH,LE,0) GO TO 47
IF (LPH,EG,0) PRINT 438
IF (LPH,EG,0) GO TO 47
IF (LPH,EG,1) PRINT 439
K2=1
X1=X2
IF (ABS(X1-HMIN).LE.0.001) GO TU 47
H=HPI
J=J+1
IF (J,EG,1,J=J-1
B=RTT
PH=180.0-ASIN(SPHI)/CA
TS=SF
PS=PSI
DO 42 K=1,8
E(K)=E(K)
GO TU 45
43 BETA=BETA+BET
PSI=PSI+PS
SH=SH+1
44 END OF THE PROGRAM
```

```
PHI=PH
DO 44 V=1,8
44  VH(K)=2.0*VH(K)-E(K)
    GO TO 47
45  DO 46 V=1.10
46  VH(K)=2.0*VH(K)
    BETA=2.0*BETA
    SR=2.0*SP
    IF (H2.EQ.1.0) GO TO 47
    RN=TX1/YN1
    SPHI=SIN(ANGLE*CA)
    IF (SPHI.LT.RN) SPHT=SPHI/RN
    GO TO 19
47  CONTINUE
    PRINT 406, HM
    DO 48 K=1.10
48  K(K)=VH(K)
    COUNT=0
49  WRITE (6,419)
    WRITE (6,421) (K(I),I=1,8)
    I=1
    L=1
    IV1=V1/5.0
    IV2=V2/5.0+.99
    IV1=5*IV1
    IV2=5*IV2
    IF (IV1.LT.350) IV1=350
    IF (IV2.GT.50000) IV2=50000
    IF (DV.LT.5.) DV=5.
    IDV=DV
    IV=IV1-IDV
    ICOUNT=0
C**** BEGINNING OF TRANSMITTANCE CALCULATIONS
50  IV=IV+IDV
    IF (JP.EQ.0) GO TO 52
    IF (ICOUNT.EQ.0) GO TO 51
    IF (ICOUNT.EQ.50) GO TO 51
    GO TO 52
51  ICOUNT=0
    PRINT 422
52  DO 53 K=1.10
53  TX(K)=0.0
    IF (K.LT.4) TX(K)=1.0
    COUNT=0
    ICOUNT=ICOUNT+1
    SUM=0.0
    V=IV
    I=(IV-350)/5+1
    IF (IV.LT.1400) GO TO 61
    IF (IV.LT.2700) GO TO 68
C***** MOLECULAR SCATTERING
    C6=0.57E-20*(V**4.0117)
    TX(6)=C6*W(6)
    SUM=SUM+TX(6)
    IF (IV.LT.9200) GO TO 72
    IF (IV.LT.13000) GO TO 69
C***** UV OZONE
    IF (IV.LT.23400) GO TO 54
    IF (IV.GE.27500) GO TO 55
    GO TO 57
54  XX=200.0
```

```
XI=(V-13000.0)/AX+1.0
L1=1
L2=53
GO TO 56
55  XX=500.0
    XI=(V-27500.0)/XX+57.0
    L1=57
    L2=102
    DO 57 N=L1,L2
    XD=XI-FLDAT(N)
    IF (XD) 59+59+57
57  CONTINUE
58  TX(R)=I(R)*CR(N)
    GO TO 60
59  TX(0)=CR(N)*XD*(CR(N)-CR(N-1))
    TX(3)=I(3)*TX(3)
60  SUM=SUM+TX(R)
    IF (IV.GE.14500) GO TO 87
    GO TO 69
C***** WATER VAPOUR CONTINUUM
61  IF (IV.LE.6700) GO TO 72
    IF (IV.LT.7000) GO TO 66
    XI=(V-700.0)/50.+1.
    DO 63 NH=1,15
    XH=XI-FLDAT(NH)
    IF (XH) 65+64+63
63  CONTINUE
64  TX(5)=C5(NH)
    GO TO 67
65  TX(5)=C5(NH)+XH*(C5(NH)-C5(NH-1))
    GO TO 67
66  TX(5)=(V-670.0)*0.87
67  TX(5)=I(5)*TX(5)
    SUM=SUM+TX(5)
    GO TO 72
C***** NITROGEN CONTINUUM
68  IF (IV.LT.2000) GO TO 72
    K4=I-246
    TX(4)=C4(K4)*W(4)
    SUM=SUM+TX(4)
    GO TO 72
C***** WATER VAPOUR
69  IF (IV.LT.12000.AND.IV.GE.9875) GO TO 70
    IF (IV.LE.14520.AND.IV.GE.13400) GO TO 71
    GO TO 76
70  I=I-125
    GO TO 72
71  I=I-255
72  K1=1
    IF (W(1).LT.1.0E-20) GO TO 76
    WS1=ALGULU(W(1))+C1(I)
    IF (WS1.LT.-2.3468) GO TO 76
    IF (WS1.GT.3.5662) GO TO 75
    IF (WS1.GT.2.0) K1=40
    GO TO 73 K1=1.E7
73  IF (WS1.LE.FW(K)) GO TO 74
    C1(I)=I
74  TX(1)=TX(1)+C1(I)*(K-1)+I*P(K)*(FW(K)-WS1)/(FW(K)-FW(K-1))
    GO TO 76
75  TX(1)=I
76  C1(I)=I
```

```
***** UNIFORMLY MIXED GASES
  IF (IV.LT.8040.AND.TV.GE.500) GO TO 77
  IF (IV.LT.13190.AND.IV.GT.12970) GO TO 76
  GO TO 83
77  J=1-31
  GO TO 79
78  J=(IV-12950)/5+1516
79  IF (n(2).LT.1.0E-20) GO TO 83
  K1=1
  WS2=ALNG10(W(2))+C2(J)
  IF (WS2.LT.-2.3466) GO TO 83
  IF (WS2.GT.3.5682) GO TO 82
  IF (WS2.GT.2.0) K1=40
  DO 80 K=K1+67
  IF (WS2.LE.FW(K)) GO TO 81
80  CONTINUE
81  TX(2)=TR(K)+(TR(K-1)-TR(K))*(FW(K)-WS2)/(FW(K)-FW(K-1))
  GO TO 83
82  TX(2)=0.0
83  CONTINUE

***** OZONE
  IF (IV.LT.575.0K.IV.GT.3270) GO TO 87
  L=1-45
  K1=1
  IF (W(3).LT.1.0E-20) GO TO 87
  WS3=ALNG10(W(3))+C3(L)
  IF (WS3.LT.-1.6778) GO TO 87
  IF (WS3.GT.3.9345) GO TO 86
  IF (WS3.GT.1.5) K1=36
  DO 84 K=K1+67
  IF (WS3.LE.FO(K)) GO TO 85
84  CONTINUE
85  TX(3)=TR(K)+(TR(K)-TR(K-1))*(FO(K)-WS3)/(FO(K)-FO(K-1))
  GO TO 87
86  TX(3)=0.0
87  CONTINUE

***** AEROSOL EXTINCTION
  ALAM=1.0E+4/V
  XX=0.0
  YY=0.0
  IF (IVAZP.FN.0.0) GO TO 90
  DO 88 N=1,40
  XD=ALAM-VX(N)
  IF (XD)P9+88+88
88  CONTINUE
89  XX=((C7(N)-C7(N-1))*XD/(VX(N))-VX(N-1))+C7(N)
  YY=((C7A(N)-C7A(N-1))*XD/(VX(N))-VX(N-1))+C7A(N)
  90  TX(10)=YY*V(7)
  TX(7)=XX*V(7)
  SUM=S(1)+TX(7)
  TX(9)=SUM
  DO 94 N=4,10
  IF (TX(N).FN.0.0) GO TO 92
  IF (TX(N).LE.0.1) GO TO 91
  IF (TX(N).GT.20.0) GO TO 93
  TX(N)=P(-1)*Y(N)
  GO TO 94
91  TX(N)=1.0-TX(N)+0.5*TX(N)+TX(N)
  GO TO 92
92  TX(N)=1.0
  GO TO 94
```

93 TX(K)=0.  
 94 CONTINUE.  
 TX(10)=1.0-TX(10)  
 TX(9)=TX(1)+TX(2)+TX(3)+TX(9)  
 IF (IV,GE,13000) TX(3)=TX(8)  
 IF(JP,EQ,3)TX(9)=TX(7)  
 AB=1.-TX(9)  
 IF(IV,EQ,IV1,DR,IV,EQ,IV2) AR=0.5\*AB  
 SUHA=SUHA+AB\*DY  
 IF(JP,EQ,0) WRITE(6,423) IV,ALAM,TX(9),(TX(K),K=1,7),TX(10),SUHA  
 IF (IV,GE,IV2) GO TO 95  
 GO TO 50  
 95 READ 400, IXY  
 AB=1.0-SUHA/(V2-V1)  
 PRINT 424, IV1,IV2,SUHA,AB  
 PRINT 400,IXY  
 IF(IXY,EQ,0) GO TO 100  
 GO TO (96,2,97,98,100)\*IXY  
 96 READ 406, V1,V2,DY  
 AVW=10000./V1  
 ALAM=10000./V2  
 PRINT 410, V1,V2,DY,ALAM,AVW  
 SUHA=0.0  
 GO TO 49  
 97 IF(MODEL,EQ,0) GO TO 200  
 GO TO 300  
 98 READ 400,MODEL,IAZ,ITYPE,LEN,JP,IM,M1,M2,M3,ML,RO  
 PRINT 400,MODEL,IAZ,ITYPE,LEN,JP,IM,M1,M2,M3,ML,RO  
 GO TO 200  
 100 STOP  
 400 FORMAT(10I3,F10.3)  
 401 FORMAT (8E10.3)  
 402 FORMAT (F6.1\*2(F10.3\*F6.1\*2E10.1))  
 403 FORMAT (4(F6.3\*2F7.4))  
 404 FORMAT (15F5.2)  
 405 FORMAT (8E9.2)  
 406 FORMAT (7F10.3)  
 407 FORMAT (//10X,2H HORIZONTAL PATH, ALTITUDE =,F7.3,11H KM, RANGE =,  
 1F7.3,11H KM)  
 408 FORMAT (//10X,5H SLANT PATH BETWEEN ALTITUDES H1 AND H2 WHERE H1  
 1=,F7.3,8H KM H2 =,F7.3,18H KM,ZENITH ANGLE =,F7.3,8H DEGREES)  
 409 FORMAT (//10X,3H SLANT PATH TO SPACE FROM ALTITUDE H1 =,F7.3,19H  
 1KM, ZENITH ANGLE =,F7.3,8H DEGREES)  
 410 FORMAT (//20X,18H MODEL ATMOSPHERE •11•11H = TROPICAL)  
 411 FORMAT (//20X,18H MODEL ATMOSPHERE •11•21H = MIDLATITUDE SUMMER)  
 412 FORMAT (//20X,18H MODEL ATMOSPHERE •11•21H = MIDLATITUDE WINTER)  
 413 FORMAT (//20X,18H MODEL ATMOSPHERE •11•21H = SUB-ARCTIC SUMMER)  
 414 FORMAT (//20X,18H MODEL ATMOSPHERE •11•21H = 1962 US STANDARD)  
 415 FORMAT (//20X,18H MODEL ATMOSPHERE •11•21H = SUB-ARCTIC WINTER)  
 416 FORMAT (//20X,18H HAZE MODEL •11•3H = •A5•13H VISUAL RANGE)  
 417 FORMAT (//25X"HAZE MODEL =",F5.1," KM VISUAL RANGE AT SEA LEVEL")  
 418 FORMAT (//10X,21H FREQUENCY RANGE V1=,F7.1,13H CM-1 TO V2=,F7.1,1  
 14H CM-1 FOR DY =,F6.1,9H CM-1 ("F6.2," - ",F5.2," MICRONS ))  
 419 FORMAT (//10X,3H EQUIVALENT SEA LEVEL ABSORBER AMOUNTS//21X110HWA1  
 1ER VAPOR, "CO2 ETC. OZONE NITROGEN (CONT) H2O (CONT)  
 2 MOL SCAT AEROSOL O23NECU-V)/24X,7HGM CM-2•10X•2HKM•1  
 30X,6HSTH CM-1•10X•2HKM, 9X,7HGM CM-2•10X•2HKM•13X•2HKM•10X•6HATM CM)  
 420 FORMAT (1H1•// 5X," VERTICAL PROFILES ",6X,"PSI",6X,"PHI",6X,"  
 1BETA",6X,"THETA",6X,"RANGE")  
 421 FORMAT (//10X,8H K(1-8)=0(E14.3))  
 422 FORMAT (1H1•/10X•3H FREQU WAVELENGTH TOTAL H2O•5X4HC02•/5X•6

ORIGINAL PAGE IS  
OF POOR QUALITY

14H0ZONE N2 CONT H2O COUNT MOL SCAT AEROSOL AEROSOL INTEGRATED  
2 /1X,14H CM-1 MICRONS,8(4X5HTRANS),4X,20H AHS ABSORPTION )  
423 FORMAT (10X,T6,10F9.4,F12.2)  
424 FORMAT (" INTEGRATED ASURPTION FROM",15H T0,"15.",, CM-1 ==,F10.2,  
1",,AVERAGE TRANSMITTANCE ==,F6.4)  
425 FORMAT (10X,7F10.3)  
426 FORMAT (/20X,"AEROSOL SCATTERING NOT COMPUTED,IAZEE=0")  
427 FORMAT (1H1.//,10X,2DH HORIZONTAL PROFILES/)  
428 FORMAT (10X," H1==,F7.3, " KM, H2==,F7.3, " KM, ANGLE==,F0.4, " GEOM. RANG  
1E ==,F7.2, " KM, BETA==,F0.5, " VIS==,F6.1)  
429 FORMAT (3F10.3,2F5.1,2F10.3,2F10.3)  
430 FORMAT (10X,"INPUT METEOROLOGICAL DATA",,10X,"Z==,F7.2, " KM, P==,F7  
1.2, " P,T==,F5.1, " C, DEW PT,TEMP==,F5.1, " C, REL HUMIDITY==,F5.1,  
2, " H2O DENSITY==,1PE0.2, " GM, H-3",,10X," OZONE DENSITY==,E9.2, " G  
3H-3, " VISUAL RANGE==,0PF6.1, " KM, RANGE==,F10.3, " KM ")  
431 FORMAT (4(F6.2,2F7.5))  
432 FORMAT (" STARTING PARAMETERS H1 AND ANGLE HAVE BEEN REDEFINED;H1=  
1 ",,F10.3,"ANGLE ==,F10.0)  
433 FORMAT (" TRAJECTORY MTSSES EARTH'S ATMOSPHERE. CLOSEST DISTANCE OF  
1 APPROXIMATELY F10.2,1X,1X," KM OF CALCULATION")  
434 FORMAT (10X,T4,F6.1,1,11(F10.3))  
435 FORMAT (13,FA.1,RE10.3,4F9.4,F7.1)  
436 FORMAT (" HMTN = ",,F10.3)  
437 FORMAT (" PATH INTERSECTS EARTH - PATH CHANGED TO TYPE 2 WITH H2 =  
1 0.0 KM")  
438 FORMAT (" CHOICE OF TWO PATHS FOR THIS CASE - SHORTEST PATH TAKEN.  
1 FOR LONGER PATH SET LEN=1.")  
439 FORMAT (" CHOICE OF TWO PATHS FOR THIS CASE - LONGEST PATH TAKEN.  
1 FOR SHORT PATH SET LEN = 0 ")  
440 FORMAT (" H2 WAS SET LESS THAN HMIN AND HAS BEEN RESET EQUAL TO  
1 HMIN 1.E- H2 = ",,F10.3)  
441 FORMAT (" HODEL AT 10SPHERE NO. 7",,4X,"Z (KM)",,3X,"P (MB)",,4X,  
1 "T (C) DEW PT 6PH H2O(GM,H-3) O3(GM,H-3) NO. DEN.")  
442 FORMAT (" FOR CONDITIONS MAY EXIST AT SEA LEVEL FOR THIS VISUAL R/  
1NGE",,1," TE SO THEN ASSUME THE TRANSMITTANCE DUE TO FOG IS GIVEN  
2BY THE TRANSMITTANCE AT 0.55 MICRONS")  
STOP  
END

```
SUBROUTINE POINT (X,YN,N,NP,TX,IP)
COMMON Z(34),P(7,34),T(7,34),EH(10,34),NH(7,34),M,NL,RE,CH,CO,PI
DIMENSION TX(10)
C*****
C SUBROUTINE POINT COMPUTES THE MEAN REFRACTIVE INDEX ABOVE AND BELOW
C A GIVEN ALTITUDE AND INTERPOLATES EXPONENTIALLY TO DETERMINE THE
C EQUIVALENT ABSORBER AMOUNTS AT THAT ALTITUDE.
C
C***** X IS THE HEIGHT IN QUESTION
C TX(9) AND YN ARE THE MEAN REFRACTIVE INDICES ABOVE AND BELOW X
C N IS THE LEVEL INTEGER CORRESPONDING TO X OR THE LEVEL BELOW X
C NP = 1 IF X COINCIDES WITH MODEL ATMOSPHERE LEVEL .IF NOT NP = 0
C TX(1-N) ARE ABSORBER AMOUNTS PER KM AT HEIGHT X
C*****
N=NL
NP=0
IF (X.LT.0.0) X=0.
IF (X.GT;Z(NL)) GO TO 9
DO 1 J=1,NL
N=J
IF (X-Z(J)) .GT.4.1
1 CONTINUE
J2=N
N=N-1
FAC=(X-Z(N))/(Z(J2)-Z(N))
PX1=P(N,N)*(P(N,J2)/P(N,N))+FAC
TX1=T(M,N)*(T(M,J2)/T(M,N))+FAC
WX1=NH(M,N)*(NH(M,J2)/NH(M,N))+FAC
TX(3)=C0*PX1/(X1-4.56E-6*WX1+TX1*CH)
TX(2)=C0*(X1-J2)/T(M,J2)-4.56E-6*NH(M,J2)*T(M,J2)+CH
TX(1)=C0*(X1-N)/T(M,N)-4.56E-6*NH(M,N)*T(M,N)+CH
JX(3)=0.5E-6*(TX(2)+TX(3))
YN=0.5E-6*(TX(1)+TX(3))
IF (IP.EQ.0) GO TO 9
DO 3 K=1,8
TX(K)=0.0
IF (F4(1,N).EQ.0.0) GO TO 3
IF (F4(1,N).GT.1000.0) GO TO 3
TX(K)=F4(1,N)*(EH(K,J2)/EH(K,N))+FAC
3 CONTINUE
GO TO 9
4 NP=1
IF (IP.EQ.0) GO TO 4
DO 5 K=1,8
5 TX(K)=F4(1,N)
6 TX(9)=F4(1,N)+1.
YN=0.0
C*** CARDS 8-24 AND 51 THROUGH 59 ARE NO LONGER REQUIRED
7 IF (N,0,1) YN=EH(2,N-1)+1.0
9 CONTINUE
IF (IP.EQ.1) PRINT 400, X,N,NP,TX(9),YN,IP,(TX(K)+K=1,8)
TX(9)=TX(9)+1.
YN=YN+1.
RETURN
C
400 FORMAT (/, " FROM POINT: HEIGHT=",F10.4," KM=N=",I3," ,NP=",I2," ,REF
1, INDEX ABOVE X=",F11.4," ,IP=",I3," ,/ ,12X,"E10.3)
12X,"E10.3)
END
```

```
SUBROUTINE ANGL (H1,H2,ANGLE,B1=LEN,HL)
COMMON/2/34,P(7,34),T(7,34),EH(10,34),NH(7,34),N,NL,RE,CH,CD,PI
DIMENSION TX(10)
C*****C*****C*****C*****C*****C*****C*****C*****C*****C*****C*****C
C THIS SUBROUTINE CALCULATES THE INITIAL ZENITH ANGLE (ANGLE)
C TAKING INTO ACCOUNT REFRACTION EFFECTS GIVEN H1+H2+ AND BETA
C (WHERE BETA IS THE EARTH CENTRE ANGLE SUBTENDED BY H1 AND H2).
C ASSUMING THE REFRACTIVE INDEX TO BE CONSTANT IN A GIVEN LAYER,
C FOR GREATER ACCURACY INCREASE THE NUMBER OF LEVELS IN THE MODEL
C ATMOSPHERE.
C
C THIS SUBROUTINE CAN BE REMOVED FROM THE PROGRAM IF NOT REQUIRED.
C*****C*****C*****C*****C*****C*****C*****C*****C*****C*****C*****C
      ASIN(A)=ARSIN(A)
      ACOS(A)=ARCCOS(A)
      IP=99
      CA=PI/180.
      X1=RE+H1
      X2=RE+H2
      LEN=0.
      IT=0
      B1=B1*CA
      IF(B1,FC,0.0) B1=ACOS(X2/X1)
      TANG=Y2*SIN(PI)/(X2+COS(B1)-X1)
      THET=ATAN(TANG)
      IF (T-ET,LT,0.0) THET=THET+PI
      SPHT=SIN(THET)
      ANGT=ET/CA
      PR1LT 404, B1, ANGT, TANG
      TN=THET
      TM=TN-1.5*CA
      ANGLE=THET
      FBT=0.
      BETAF=0.
      BET1=0.
      BET2=0.
      FBT1=0.
      FBT2=0.
      FBT3=0.
      IF(B1,LE,0.0) GO TO 2
      PR1LT 400, IT
      Y=2.**HET
      IF (Y-B1,GT,1.0E-8) GO TO 9
      IF (Y,LE,1.0E-8) GO TO 6
      XM1=1.7*COS(PI)*FF
      IF (X+TM-B1) 0*4*4
      2 HMT=H2
      H2=H1
      H1=HMT
      3 ANGLE=1.5*PI
      THET=ANGLE
      SPHT=1.0
      ANGT=ANGLE/CA
      PR1LT 404, B1, ANGT, SPHT
      IP=10
      CALL PR1LT (H1+TM,1,IP,TX,IP)
      J1=1
      TX1=TX(1)
```

```
5 CALL POINT (H2,YN,N,NP,IX,IP)
J2=N
IF (NP.EQ.1) N=N-1
IF (J1.EQ.J2) TX1=TX1+YN-EH(9,J1)
DO 7 J=J1,J2
X1=RE+7(J)
X2=RE+7(J+1)
IF (J.EQ.J1) X1=RE+H1
IF (J.EQ.J2) X2=RE+H2
SALP=X1*SPHI/X2
ALP=ASIN(SALP)
RN=EH(9,J+1)/EH(9,J)
IF ((J+1).EQ.J2) RN=YN/EH(9,J)
IF (J.EQ.J1) RN=EH(9,J+1)/TX1
IF ((J+1).EQ.J2.AND.J.EQ.J1) RN=YN/TX1
BET=THET-ALP
FB=-TAN(ALP)
IF (J.EQ.J1) FB=FB+TAN(THET)
FBT=FB+FB
BETA=BETA+BET
TH1=THET/CA
BE=BET/CA
C=ALP/CA
PRINT 402, J,Z(J)-THET-ALP+BET,BETA-FBT,FB,TH1-BE,C
IF (X2.EQ.RE+H2) C=PI-ALP
IF (SALP.GE.RN) RN=1.
SPHI=SALP/RN
THET=ASIN(SPHI)
CONTINUE
IF (R1.LE.0.0) GO TO 29
GO TO 29
CONTINUE
TANG=-TANG
ANGLE=PI-ANGLE
TN=ANGLE
ANGLE=ANGLE/CA
PRINT 404, H1,ANGLE,TANG
IF (H1.LE.0.0) GO TO 3
CONTINUE
IP=101
CALL POINT (H1,YN,N,NP1,TX,IP)
TX1=TX(9)
YN1=YN
IF (NP1.EQ.1) N=N-1
J2=NL
IF (H.EQ.7) J2=NL
J1=0
J=J1+1
IF (H2.GE.H1) GO TO 13
CALL POINT (H2,YN,N,NP,IX,IP)
TX2=TX(9)
YN2=YN
J2=N
IF (J1.EQ.J2) TX2=YN1+TX(9)-EH(9,J1)
J=J+1
X1=RE+7(J+1)
X2=RE+7(J)
IF (J.EQ.J1) X1=RE+H1
IF (J.EQ.J2) X2=RE+H2
SALP=X1*SPHI/X2
H11=X1*SPHI-RE
```

ORIGINAL PAGE IS  
OF POOR QUAT

C PRINT 402, J,X1,Z(J),SPHI,SALP,HMIN,RE  
IF (SALP.LE.1.0) GO TO 11  
SALP=SPHI  
IF (HMIN.GT.H2) GO TO 18  
11 ALP=ASIN(SALP)  
THET=ASIN(SPHI)  
BET=ALP-THET  
BET1=RET1+BET  
FB=TAN(ALP)  
IF (J.NE.J1) FB=FB-TAN(THET)  
FBT1=FBT1+FB  
TH1=THET/CA  
BE=BET/CA  
AL=ALP/CA  
C PRINT 402, J,X2,THET,ALP+BET1+RET,RMIN,HMIN+FHT1,TH1,BE,AL  
IF (X2,E0,RE+H2) C=PI-ALP  
REF=EH(9,J)  
IF (J,EG,J1) REF=YN1  
IF (J,EG,J2) REF=TX2  
IF (J,EG,1) GO TO 12  
RN=EH(9,J)/EH(9,J-1)  
IF (J,EG,J1) RN=YN1/EH(9,J-1)  
IF (J,EG,J2+1) RN=REF/TX2  
IF (J,EG,J2) RN=REF/YN2  
IF (SALP.GE.RN) RN=1.  
SPHI=SALP+RN  
IF (Z(J).LE.H2) GO TO 12  
GO TO 10  
12 X1=X2  
IF (ABS(Z(J)-H2).LT.1.0E-10.AND.J.NE.1) GO TO 13  
GO TO 14  
13 J=J-1  
X1=RE+Z(J+1)  
IF (J,EG,J1) X1=RE+H1  
IF (J,EG,J2.AND.J.NE.J1) X1=RE+H2  
14 X2=RE+Z(J)  
HMIN=X1\*SPHI-RE  
IF (HMIN.LE.0.0) GO TO 25  
IF (Z(J).LT.HMIN) GO TO 18  
REF=EH(9,J)  
IF (J,EG,J2) REF=YN  
SALP=X1\*SPHI/X2  
ALP=ASIN(SALP)  
THET=ASIN(SPHI)  
RET1=ALP-THET  
FB=TAN(ALP)-TAN(THET)  
FBT2=FBT2+FB  
BET2=RET2+BET  
RET1=RET1+BET2  
AL=ALP/CA  
TH1=THET/CA  
C PRINT 402, J,X2,THET,ALP+BET2+RET,RMIN,HMIN+FHT2,TH1,BE,AL  
REF=FF/ER(9,J-1)  
IF (SALP.GE.RN) RN=1.0  
SPHI=SALP+RN  
GO TO 13  
17 TX2=Y-1+TX(9)+EH(9,J1)  
YN1=TY3  
IF (ABS(F2-Z(J+1)).LE.1.0E-5) YN1=TX(9)  
IF (ABS(F1-Z(J+1)).LE.1.0E-5) YN1=TX(9)  
RN=1.

ORIGINAL PAGE IS  
OF POOR QUALITY

```
18 GO TO 19
CALL PRINT (HMIN,YN,N,NP,TX,IP)
IP=102
TX3=TX(9)
IF (J,FG,J1,AND,H2,GE,H1) GO TO 17
IF (J,FG,J1,OR,J,FG,J2) TX3=YN2+TX(9)-EH(9+J)
IF (HMIN,GT,H2) TX3=TX(9)
IF (J,FG,J1,AND,HMIN,GT,H2) GO TO 17
RN=REF/TX3
IF (SALP,GE,RN) RN=1.
SPHI=SALP+RN
X=X1+SPHI-RE
DIF=ABS(HMIN-X)
HMIN=X
IF (DIF-1.0E-5) 19,19+18
X2=RE+HMIN
PRINT 403, HMIN,DIF,RN
THET=ASIN(SPHI)
IF(FP,FG,1.0) FBT3=-TAN(THET)
IF (R,GE,1.0) GO TO 20
DNX=(TX3-1.0)*4LOG((TX3-1.0)/(REF-1.0))/(X2-X1)
FBT3=-TAN(THET)*(1.0-1.0/(1.0+TX3/(X2*DNX)))
20 BET=0.5*PI-THET
BET2=FPT1+PBT
BMIN=FPT1+PBT2
IF (H2,GF,H1) GO TO 23
BET=PBT1+2.0*PBT2
DB1=B1+PBT1
DB2=PBT2+B1
DB3=ABS(BMIN-B1)
IF(DB3,GT,DB1,AND,DB2,GT,DB1) GO TO 25
IF(DB2,GT,DB3) GO TO 22
IF(DB2,GT,DB1) GO TO 25
BETA=RE
FBT=FPT1+2.0*(FPT2+FPT3)
LEP=1.
GO TO 26
22 BET=PI-FPT1+PBT2
FBT=FPT1+FPT2+FPT3
C PRINT 401, J,BETA,FBT,FPT1,FPT2,FPT3,TX1,YN1
GO TO 26
23 BETA=2.0*(PBT1+PBT2)
LEP=1.
FBT=2.0*(FPT1+FPT2+FPT3)
PRINT 401, J,BETA,FBT,FPT1,FPT2+FPT3,TX1,YN1
IF (H2,GE,H1) GO TO 26
IP=103
IF (NP1,FG,1) J1=J1+1
SPHI=SPHI(4*PI*6)
IF (Z(J1+1),LE,0) GO TO 24
RN=TX1/YN1
IF (SPHI,GE,RN) RN=1.
SPHIE=SPHI/RN
THET=ASIN(SPHI)
GO TO 5
24 CALL PRINT (H2,YN,.,NP,TX,IP)
TX1=TX1-YN*ER(3*J1)
RN=TX1/YN1
J2=J1
IF (SPHIE,GE,0) F1=1.
SPHIE=SPHIE/1/F1
```

```
25  THET=ASIN(SPHI)
    GO TO 5
    BETAA=BET1
    LEN=0,
    FBT=FBT1
26  THET=ANGLE+(R1-BETAA)/(1.+FBT/TANG)
    DBETAA=BETAA/CA
    B=BET1/CA
    TH1=T-BT/CA
    PRINT 404, B,BETAA,FDT,TH1,TANG
    IF (T-BT.GT.TN.OR.THET.LT.TH) THET=(TN+TH)/2.
    TH1=THET/CA
    PRINT 404, BET1,B,FBT,TH1
    TN1=T-BT/CA
    TM1=TH-BT/CA
    PRINT 405, TH,TM1,TH1,TH1
    SPH1=STN(THET)
    TANG=TAAC(THET)
    IT=IT+1
    DBE=ABS(R1-BETAA)
    DTH=ABS(ANGLE-BT)
    IF (IT.EQ.10) THET=0.5*(ANGLE+THET)
    IF (IT.EQ.10) GO TO 28
    IF (DBE.GT.1.0E-7.AND.DTH.GT.1.0E-7) GO TO 1
28  ANGLE=THET/CA
    PRINT 406, ANGLE+IT
    RETURN
29  H1=H2
    ANGLE=C/CA
    PRINT 406, ANGLE+IT
    RETURN
C
400  FORMAT (//," ITERATION NUMBER ",I3,/)
401  FORMAT (15E16.7,6F13.5)
402  FORMAT (14F10.4,6E13.4*4F10.4/)
403  FORMAT ("  HMIN=",F14.6,"  DIFF=",F14.6,"  PR=",E16.8)
404  FORMAT ("  TOTAL RETA = ",E14.5,F15.6,"  FBT = ",E14.5,"  THET = ",F10
1.6,"  TANG=",F10.6)
405  FORMAT (5F12.6)
406  FORMAT (3A,"/1H",,"2DITH ANGLE =",F7.3," DEGREES : RECOMPUTED
1 FBTH SUBROUTINE ANGL (ITERATION",I3,")"))
    END
```

## APÊNDICE C

### PROGRAMA ATA

PROGRAMA ATA destina-se a:

a) Ler os dados locais

DA - número do dia do ano, em contagem contínua  
GMT - hora média Greenwich  
OG - longitude (grau)  
OM - longitude (minuto)  
AG - latitude (grau)  
AM - latitude (minuto)

b) Ler os níveis de cinzas originais da imagem do LANDSAT

NIV - nível de cinza original

c) Calcular as radiações difusas.

d) Imprimir os níveis de cinzas de 5 linhas, com radiações difusa, intrínseca e total, nível de cinza original e nível de cinza corrigida.

e) Gravar a imagem em fita magnética com níveis de cinzas corrigidas.

FILE 1=MCRJ,UNIT=TAPE,RECORD=86

FILE 5 = AMY

FILE 8=TSU,UNIT=TAPE,RECORD=86

```
      DIMENSION C(512),R(512),R1(512),CI(512),NC(512),NIV(512),PR(4),PA(4),
      *PF1(4),PF2(8),ALFA(8),AL(4)
      DATA PR/.7799,.3928,.9385,.9726/,PA/.6416,.6791,.7123,.7596/,TR/.2
      *675,.2465,.564,.5997/,AL/.1145,.1301,.3373,.3981/
      COSD=10.7668
      ZMA=1.
      READ(5,100) DA,GMT,NG,DM,AG,AM
100 FORMAT(6F5.1)
C**** CONVERSAO DAS COORD. DO SUB-SATEL. EM GRAU
      WL1=AG*5000)+DM/60.
      IF(DM,LT.0.) GO TO 1
      W=WL1
      GO TO 2
1      W=-WL1
2      KDN=K+0.01745
      F11=AG*(AG)+AM/60.
      IF(AG,LT.0.) GO TO 3
      F=F11
      GO TO 4
3      F=-F11
4      F1=F+0.01745
      CALL SOLAR (DA+GMT,WON,FI,AZM,AZO,ZSO,ASD)
C**** SELECOES DE BANDA
      DO 18 TH=1,4
      GO TO (5,6,7,1) TH
      5      CODA=0.55
      GO TO 9
      6      CODA=0.65
      GO TO 9
      7      CODA=0.75
      GO TO 9
      8      CODA=0.95
      9      CALL CASE (ZHO,ZMA,ASD,PF1,PF2,CODA)
      PDR=ALOG(TPA(1))
      PDR=ALOG(TP(1))
      PDAE=ALOG(PA(1))
      TRANS=TS(1)
      ALPE=SL(T)
      ETAE=(.5*PRU+0.45*PA)/ (PRU+PA)
      ENF=1.-ETA
C**** CALC. DOS COEF. DE CORV.
      CALL COEFZHO,ENF,PR,LT,ZMA,PF1,PF2,TRANS,ALFA)
C**** LEITURA DO ATUAL DE CINZA
      DO 17 I=1,512
      READ(1,17),PR,LT,DTA=1,LEN=19, NIV
      10      F0=DTA/512
      DO 16 I=1,512
      IF(LT,LT,171,140,J,LT,171) GO TO 13
      IF(LT,LT,171,140,J,LT,170,86,J,LT,342) GO TO 12
      IF(LT,LT,171,140,J,LT,341) GO TO 11
      IF(LT,LT,171,140,J,LT,342,41,J,LT,171) GO TO 13
      IF(LT,LT,170,86,J,LT,342,41,J,LT,170,40,J,LT,342) GO TO 12
```

ORIGINAL PAGE IS  
OF POOR QUALITY

```
IF(I.GT.170.AND.I.LT.342.AND.J.GT.341) GO TO 11
IF(I.GT.341.AND.J.LT.171) GO TO 13
IF(I.GT.341.AND.J.GT.170.AND.J.LT.342) GO TO 12
IF(I.GT.341.AND.J.GT.341) GO TO 99
11 AS=1.5708
ANFA=ALFA(2)
P1=PF1(2)
P2=PF2(2)
PT=P1+P2
GO TO 14
12 AS=0.
ANFA=ALFA(1)
P1=PF1(1)
P2=PF2(1)
PT=P1+P2
GO TO 14
13 AS=4.7124
ANFA=ALFA(3)
P1=PF1(3)
P2=PF2(3)
PT=P1+P2
*****CALCULO DAS FUNCOES F1 + F2 E G
14 F1=(1.7*(12.5664*(Z10)+ENE*POT)))*(ENE*(PUT-ZMA)*PT+ZMC*P2+ENE*ZMA*P
*PT+TRA*5-ZMC*P2+TRA*5)
F2=((Z10*Z10)/(6.2432*(ZMU+ENE*POT)))*(1.+4.*ZMA*ENE-(1.+4.*ENE*(P
*PT+ZMA))+TRANS)
G=ALBE/(1.+2.*ENE*(1.-ALBE)*POT)
RD=0.5*(F1+F2+G)
C(J)=NIV(J)
R(J)=ANFA+C(J)
RI(J)=(RC(J)-RD)/TRANS
CI(J)=RI(J)/ANFA
IF(CI(J).GT.0.) CI(J)=CI(J)+0.5
NC(J)=IFIX(CI(J))
IF(CI(J).LT.0.) NC(J)=0.
IF(CI(J).GT.255.) NC(J)=255.
IF(CI(J).LT.-16.) NC(J)=-16
IF(CI(J).LT.-133.) GO TO 15
IF(CI(J).LT.-255.) GO TO 15
IF(CI(J).LT.-375.) GO TO 15
IF(CI(J).LT.-502.) GO TO 15
GO TO 19
15 WRITE(6,700) I,J,AS,F1,F2,G,RD,RC(J),RI(J),NIV(J),NC(J)
700 FORMAT(1X,2I8,F7.3,AF9.4,2I5)
16 CONTINUE
WRITET(1,BODY,46
800 FORMAT(12C1)
17 CONTINUE
18 CONTINUE
19 STOP
END
C72: C73:2 TS 16F 16A16F FOR EXCEPTIONAL ACTION ON THE I/O STATEMENT
```

SUBROUTINE SOLAR (DA,GMT,ML,FI,ZHO,AZD,ZSU,ASD)

C\*\*\*\*\*OBJETIVO  
CALCULAR A DECLINACAO DO SOL, O ANGULO ZENITAL  
O ANGULO HORARIO e O ANGULO ZENITAL E ELEVACAO  
PARA DETERMINADA HORA DE GREENWICH

C\*\*\*\*\*DESCRICAO DOS PARAMETROS

C  
DA=NUMERO DO DIA DO ANO (CONTAGEM CONTINUA)  
ML=LONGITUDE DA ESTACAO CONTADA POSITIVAMENTE NA DIRECAO OESTE  
(W-E) EM GRAUS  
FI=LATITUDE DA ESTACAO - POSITIVA NORTE- EM GRAUS  
GMT=HORA MEDIA DE GREENWICH PARA A QUAL SE DESEJA CALCULAR  
( EM HORAS )  
DEC=VARIAVEL QUE GUARDA O VALOR CALCULADO PARA A DEC. (EM GRAUS)  
ZHO=COSENTO DO ANG. ZEN. DO SOL

C\*\*\*\*\*DETERMINACAO DA DECLINACAO DO SOL

DA=DA\*0.9856+GMT\*0.0111-0.9856  
GL=270.9346+ML  
IF(GL>360.) GO TO 10  
RL=GL+0.0175  
SIGMA=GL+0.4067\*SI4(RL)+1.8724\*COS(RL)-0.0182\*SIN(2.\*RL)+0.0083\*C  
\*COS(2.\*RL)  
GO TO 20

10 RL=GL+0.0175-6.2832  
SIGMA=GL-360.+0.4067\*STN(RL)+1.8724\*COS(RL)-0.0182\*SIN(2.\*RL)+0.00  
\*83\*COS(2.\*RL)

20 RSIGN=SIGMA+0.0175  
SD=SIN(RSIGN)\*0.0071  
CD=(1.-SD\*SD)\*\*0.5  
TD=SD/CD  
DEC=(ATAN(TD))+57.2958

C\*\*\*\*\*CALC. DO ANG. HOR. SOLAR H  
RD=0+0.0175  
XM=12.+0.12357\*PI\*SIN(RD)-0.004289\*COS(RD)+0.153809\*SIN(2.\*RD)+0.060  
\*783\*COS(2.\*RD)  
WD=ML+57.2958  
H=15.+(GMT-XM)-a0

C\*\*\*\*\*DETERMINACAO DO ANG. ZEN.

FI=FI  
HR=H+0.0175  
ZHO=STN(FI)\*SD+COS(FI)\*CD\*COS(HR)  
ZSU=ATAN(STN(FI)\*SD+COS(FI)\*CD\*COS(HR))+57.2958

C\*\*\*\*\*DETERMINACAO DA ELEVACAO DO SOL

ELF=STN(FI)\*SD+SIN(FI)\*CD\*COS(RD)\*COS(HR)  
EL=ELF+57.2958

C\*\*\*\*\*DETERMINACAO DO ANG. ZENITAL DO SOL

ASD=ATAN(COS(FI)\*SD+SIN(FI)\*CD\*COS(EL))  
AZD=ASD+57.2958  
WHTF=(+300H+Z+EL)\*EL\*EL\*EL\*ASD+AZD

30 F=PI\*ARCCOS(X,7E16,2)  
RETUR  
END

```
SUBROUTINE CON(ZX0,EEE,PPT,ZXA,E1,E2,T,ITA,COE)
DIMENSION E1(8),E2(8),RAT(2),COE(8),ES(8)
CTE=1.7668
PI=3.1416
DO 3 I=1,3
  COE(K)=0.
  DO 2 J=1,3
    ABUD=0.
    ES(I)=E1(I)+E2(I)
    DO 1 J=I+2
      FF1=(1.0/(12.5664*(ZX0+EEE+PPT)))*(EEE*(PPT-ZXA)*ES(I)+ZX0*E2(I)+EE
      1*ZXA+ES(I)*T*ITA-ZX0*E2(I)*T*ITA)
      FF2=(ZXA*ZX0)/(6.2832*(ZX0+EEE+PPT))+(1.04*ZXA*EEE-(1.04*EEE*(2*PPT+ZXA))*T*ITA)
      GG=ABUD/(1.0+2.0*EEE*(1.0*ABUD)+PPT)
      RAD=CTE*(FF1+FF2*GG)
      A1=(2.0*ZX0)/(ZX0+EEE+PPT)
      A2=2.0*EEE+PPT
      DE=105.3*A1*(1.0*A2*GG)
      RII=ABUD*DE/PI
      RAT(J)=RII*T*ITA+RAD
      ABUD=ABUD+1.
  1  CONTINUE
  COE(I)=(RAT(2)-RAT(1))/255.
  RAT(2)=0.
  RAT(1)=0.
  2  CONTINUE
  WRITE(K,4) COE
  4  FORMAT(1X,BF10.7)
  RETURN
  END
```

ORIGINAL PAGE IS  
OF POOR QUALITY

```
SUBROUTINE FASE (Z00,ZHA,AS0,PF1,PF2,COND)
COMPLEX AMIE(100),BHIE(100),S1,S2,ZETAX(100),DZETAX(100),IC
DIMENSION PSIX(100),VPSIX(100),PSIY(100),DPSIX(100),P(100),TAL(100)
* ,PIL(100),DPSIX(100),PSIY(100),DPSIY(100),WPSIY(100),FFES(2),
* PF1(8),PF2(8)
PI = 3.1416
RMF=0.,01
RMA=5.0
DELX=1.0
RIMD=1.33
ASA=0.
DO 13 KK=1,3
C1=0.
C2=0.
CZ=0.05*(ASA-AS0)
X1=ARCOS(ZHA+ZHO-(((1-ZHA+ZHA)*(1-ZHO+ZHO))**0.5)*CZ)
X2=ARCOS(-ZHA+ZHO-(((1-ZHA+ZHA)*(1-ZHO+ZHO))**0.5)*CZ)
XMC=(2*PI*RMF)/COND
XHA=(2*PI*RMA)/COND
L=(XHA-XMC)/DELX+1
X=X*IE
DO 12 T=1,L
Y=PINI*X
IL = IF(X(1,2*IE))
PSIX(IL+2) = 0
PSIX(IL+1) = 1
PSIX(IL+0) = 0
PSIX(IL-1) = 1
DO 1  N=1,IL
J=IL+1-N
PSIX(J) = (2*N+1)*PSIX(J+1)/X-PSIX(J+2)
PSIX(J) = (2*N+1)*PSIX(J+1)/Y-PSIY(J+2)
FNDRX = SIN(X)/PSIX(1)
FNDRY = SIN(Y)/PSIY(1)
DO 2  JV=1,IL
VPSIX(JV) = FNDRX*PSIX(JV+1)
2  VPSIX(JV) = FNDRY*PSIY(JV+1)
DPSIX(1) = (1,-1,/(X*X))*SIN(X)+COS(X)/X
DPSIX(1) = (1,-1,/(Y*Y))*SIN(Y)+COS(Y)/Y
DOSIX(1) = (1,-1,/(X*X))*COS(X)-SIN(X)/X
OSIX(1) = COS(X)/X+SIN(X)
OSIX(2) = (3,/(X*X)-1.)*COS(X)+3.,*SIN(X)/X
DO 3  N=2,IL
DPSIX(N) = -K*WPSIX(K)/X+VPSIX(N-1)
DPSIX(N) = -K*WPSIX(K)/Y+VPSIX(N-1)
GSTX(N-1) = (2**N+1)*GSTX(K)/X-GSIX(K-1)
3  GSTX(N) = -K*GSTX(K)/Y+GSTX(K-1)
IC = EXP(IX(0,1))
DO 8  K=1,IL
ZETAX(K) = VPSIX(K)+IC*GSIX(K)
4  DZETAX(K) = DPSIX(K)+IC*DPSIX(K)
DO 5  K=1,IL
AMIE(K)=((GSTY(K)+GSTX(K)+/K+1*VPSIX(K)+WPSIX(K))/((DPSIX(K)*ZETAX
* +(K-1)*GSTY(K)+/ZETAX(K)))
5  BHIE(K)=((K-1)*DPSIX(K)+VPSIX(K)-VPSIX(K)+DPSIX(K))/((RIND*DPSIY(K)*
* ZETAX(K)+VPSIX(K)+/ZETAX(K)))
AMIE(0)=0.,01
BHIE(0)=0.,01
PMT(0)=0.,01
PMT(1)=0.,01
```

00 6 J=2,IL  
AM1=C1\*S(4\*TEC(J))  
AMTEC=AMTEC+(2+J+1)\*AM1\*ANI  
BMT=C1\*S(4\*BTEC(J))  
BMTEC=BTEC+(2+J+1)\*BMT\*BMT  
SOMIE=C1\*TEC+RH100  
FAFE=((2./\*(Y+A ))\*SOMIE)  
00 11 K=1\*2  
IF(KX,F1,2) GO TO 3  
TETA=1  
GO TO 5  
7 TETA=2  
8 P(1) = SIN(TETA)  
P(2) = 3\*COS(TETA)\*SIN(TETA)  
TAL(1) = COS(TETA)  
PIL(1)=1  
S1=1.5\*(AMIE(1)+BMIE(1)\*TAL(1))  
S2=1.5\*(RHIC(1)+AHIC(1)\*TAL(1))  
00 9 M=2,IL  
P(M+1)=((2\*M+1)\*TAL(1)\*P(4)/P)+(M+1)\*P(M-1)/P  
TAL(M) = (M\*TAL(1)\*P(M)/P(1))+(M+1)\*P(M-1)/P(1)  
PIL(M)=P(M)/P(1)  
S1=S1+(M+1)\*(AMIE(M)\*PIL(1)+BMIE(M)\*TAL(M))/(M\*M+M)  
S2=S2+(M+1)\*(RHIC(M)\*PIL(1)+AHIC(M)\*TAL(M))/(M\*M+M)  
SI1=0.95(S1)  
SIH1 = SI1\*S11  
SI2=0.95(S2)  
SINT2 = SI2\*SI1  
AMPES=SIH1+SINT2  
FFFS(<X>)=0.  
FFFS(<X>)=(1./\*(2.\*PI\*(X\*X )))\*(AMPES/FAFE)  
IF(KX,EN,2) GO TO 10  
PF1(KK)=0.  
PF1(KK)=C1+FFFS(KX)  
C1=PF1(KK)  
GO TO 11  
10 PF2(KK)=0.  
PF2(KK)=C2+FFFS(KX)  
C2=PF2(KK)  
11 CONTINUE  
12 X=Y+PF1  
WRITE(6,700)CENDA,ZIA,ZHD,ASD,ASA,X1,X2,PF1(KK),PF2(KK)  
700 FORMAT(1X,2F10.4)  
ASA=ASA+1.571  
13 CONTINUE  
RETURN  
END

ORIGINAL PAGE IS  
OF POOR QUALITY